

การหาสัดส่วนที่เหมาะสมของซิลิกา ดินขาวนราธิวาสและพอลิไวนิลแอลกอฮอล์สำหรับสารเคลือบกระดาษพิมพ์
อิงก์เจ็ต โดยใช้วิธีออกแบบส่วนผสมเชิงสถิติ



นายอนันต์ เขมพาศิชย์กุล

สถาบันวิทยบริการ

วิทยานิพนธ์นี้เป็นส่วนหนึ่งของการศึกษาตามหลักสูตรปริญญาวิทยาศาสตรมหาบัณฑิต
สาขาวิชาเทคโนโลยีทางภาพ ภาควิชาวิทยาศาสตร์ทางภาพถ่ายและเทคโนโลยีทางการพิมพ์

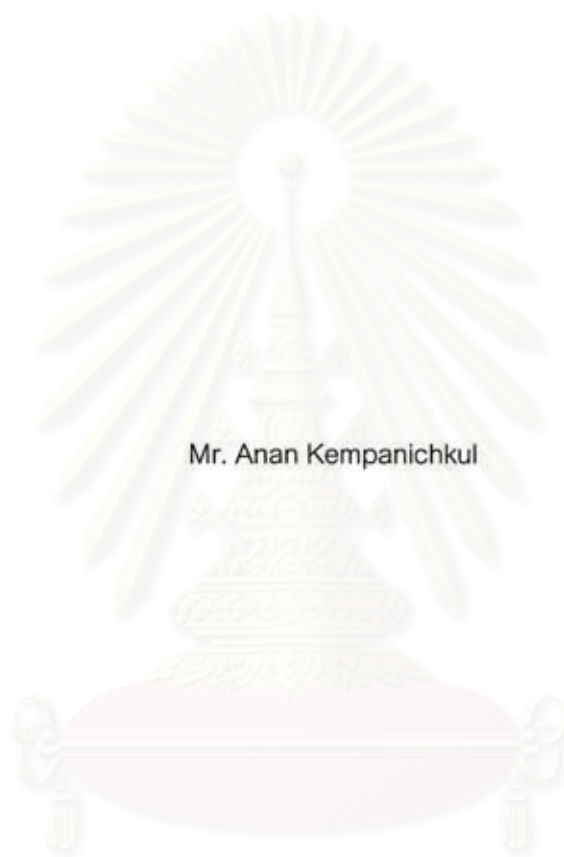
คณะวิทยาศาสตร์ จุฬาลงกรณ์มหาวิทยาลัย

ปีการศึกษา 2548

ISBN 974-17-5165-6

ลิขสิทธิ์ของจุฬาลงกรณ์มหาวิทยาลัย

OPTIMIZATION OF SILICA, NARATIVAS KAOLIN AND PVA RATIO FOR INK JET PAPER COATING
USING STATISTICAL MIXTURE DESIGN METHOD



Mr. Anan Kempanichkul

สถาบันวิทยบริการ

A Thesis Submitted in Partial Fulfillment of the Requirments
for the Degree of Master of Science Program in Imaging Technology
Department of Photographic Science and Printing Technology

Faculty of Science

Chulalongkorn University

Academic Year 2005

ISBN 974-17-5165-6

นายอนันต์ เขมพานิชย์กุล : การหาสัดส่วนที่เหมาะสมของซิลิกา ดินขาวนราธิวาสและพอลิไวนิลอัลกอฮอล์สำหรับสารเคลือบกระดาษพิมพ์อิงค์เจ็ทโดยใช้วิธีออกแบบส่วนผสมเชิงสถิติ (OPTIMIZATION OF SILICA, NARATIVAS KAOLIN AND PVA RATIO FOR INK JET PAPER COATING USING STATISTICAL MIXTURE DESIGN METHOD) อาจารย์ที่ปรึกษา : อาจารย์ ดร. พิชญดา เกตุเมฆ, อาจารย์ที่ปรึกษาร่วม : ดร.สุพิน ต่างวิวัฒน์ 94 หน้า. ISBN 974-17-5165-6.

สารเคลือบผิวกระดาษพิมพ์อิงค์เจ็ทคือ ของผสมที่มีความซับซ้อนที่ประกอบสารสี สารยึด และสารเติมแต่งต่างๆ การเปลี่ยนแปลงของปริมาณสัดส่วนขององค์ประกอบหนึ่งๆ จะส่งผลต่อสมบัติของสารเคลือบที่เปลี่ยนไป เนื่องจากสมบัติเฉพาะตัวขององค์ประกอบต่างๆ สำหรับในงานวิจัยนี้ได้ใช้ซิลิกาที่ได้จากขี้เถ้าแกลบที่มีขนาดอนุภาคเฉลี่ย $6.083 \mu\text{m}$ และมีพื้นที่ผิวจำเพาะ $234.52 \text{ m}^2/\text{g}$ เป็นสารสีหลัก ดินขาวนราธิวาสมีขนาดอนุภาคเฉลี่ย $69.04 \mu\text{m}$ และพื้นที่ผิวจำเพาะ $18.85 \text{ m}^2/\text{g}$ เป็นสารสีร่วม พอลิไวนิลอัลกอฮอล์เป็นสารยึด และใช้วิธีการออกแบบส่วนผสมเชิงสถิติในการวิเคราะห์หาสัดส่วนที่เหมาะสมของสารเคลือบ พบว่าสัดส่วนของซิลิกาต่อดินขาวนราธิวาส 75:25 และ 50:50 ให้สมบัติงานพิมพ์ที่ดีกว่าถึงเทียบเท่ากับการใช้ซิลิกาแต่เพียงอย่างเดียว อย่างไรก็ตามสัดส่วนที่ 50:50 ให้ความขาวลดลงเล็กน้อย เนื่องจากดินขาวนราธิวาสให้สีขาวอมเหลือง นอกจากนี้พบว่าการใช้วิธีออกแบบส่วนผสมแบบซิมเพล็กซ์และแผนภูมิแสดงลักษณะของสมบัติกระดาษและสมบัติงานพิมพ์ เมื่อใช้สารสีในสัดส่วนต่าง ๆ มีประโยชน์ในการหาสัดส่วนที่เหมาะสมของสารเคลือบกระดาษพิมพ์อิงค์เจ็ทที่ให้คุณภาพงานพิมพ์สูงสุด

สถาบันวิทยบริการ จุฬาลงกรณ์มหาวิทยาลัย

ภาควิชาวิทยาศาสตร์ทางภาพถ่ายและเทคโนโลยีทางการพิมพ์ ลายมือชื่อนิสิต
สาขาวิชาเทคโนโลยีทางภาพ ลายมือชื่ออาจารย์ที่ปรึกษา.....
ปีการศึกษา 2548 ลายมือชื่ออาจารย์ที่ปรึกษาร่วม.....

4672550323 : MAJOR TECHNOLOGY

KEY WORD: SILICA / KAOLIN / PVOH / INK JET COATING / PRINT QUALITY

ANAN KEMPANICHKUL : OPTIMIZATION OF SILICA, NARATIVAS KAOLIN AND PVA RATIO FOR INK JET PAPER COATING USING STATISTICAL MIXTURE DESIGN METHOD. THESIS ADVISOR : PICHAYADA KATEMAKE ,Ph.D, THESIS COADVISOR : SUPIN TANGWIWAT,Ph.D, 94 pp. ISBN 974-17-5165-6.

Due to amorphous silica being widely used as a pigment in inkjet coating paper and it can be produced from rice husk ash which is waste after the energy from rice husk is used in industries, we, therefore, investigate its application to inkjet coating. Properties and print quality of the inkjet paper coated by using two types of pigment: the high purity amorphous silica gel, synthesized from the rice husk ash, having the average size of 6.08 μm , porosity volume of $1.085 \times 10^4 \text{ cc}/(\mu\text{m-g})$ and the specific area of $234.25 \text{ m}^2/\text{g}$ and Narativas kaolin having the average size of 69.04 μm , porosity volume of $5.967 \times 10^3 \text{ cc}/(\mu\text{m-g})$ and the specific area of $18.85 \text{ m}^2/\text{g}$, as well as PVOH as a binder were investigated. Mixture design with three components was introduced to optimize the properties and print quality, the response variations. The properties of the coated paper studied were brightness, whiteness and opacity, and the print quality considered was ink density, inter-color bleed as well as text and line quality. Results show that the ratio of silica to Narativas kaolin, 75:25 and 50:50 gave better to equivalent properties and print quality than using the silica alone. However, the whiteness of the coating paper of the latter ratio decreased by a small amount. The application of the simplex lattice mixture design and the response surface contour plots were found very useful in optimizing an inkjet-paper coating formulation for maximum print quality.

Department Photographic Science and Printing Technology
Field of study Imaging technology
Academic year 2005

Student's signature... *Anan K.*
Advisor's signature... *Pichayada K.*
Co-advisor's signature... *Supin T.*

กิตติกรรมประกาศ

ขอขอบคุณ อาจารย์ ดร. พิษญา เกตุเมฆ และ ดร. สุพิน ต่างวิวัฒน์ อาจารย์ที่ปรึกษาที่ให้
ความดูแลในการทำงาน ให้ความรู้และความเอาใจใส่ต่อปัญหาที่เกิดขึ้นในงานวิจัย

ขอบคุณเพื่อน พี่ น้อง ภาควิชาวิทยาศาสตร์ทางภาพถ่ายและเทคโนโลยีทางการพิมพ์ที่เป็น
กำลังใจและแก้ไขปัญหาให้

สุดท้ายขอขอบคุณ คุณพ่อคุณแม่และคนในครอบครัวที่คอยเป็นห่วงและกระตุ้นเตือนอยู่
เสมอให้ทำงานวิจัยให้เสร็จได้ทันเวลา



สถาบันวิทยบริการ
จุฬาลงกรณ์มหาวิทยาลัย

สารบัญ

บทที่	หน้า
บทคัดย่อวิทยานิพนธ์ภาษาไทย.....	ง
บทคัดย่อวิทยานิพนธ์ภาษาอังกฤษ.....	จ
กิตติกรรมประกาศ.....	ฉ
สารบัญ.....	ช
สารบัญรูป.....	ฅ
สารบัญตาราง.....	ค
บทที่ 1 บทนำ.....	1
ความเป็นมาและความสำคัญของปัญหา.....	1
วัตถุประสงค์ของการวิจัย.....	1
ประโยชน์ที่คาดว่าจะได้รับ.....	1
บทที่ 2 เอกสารและงานวิจัยที่เกี่ยวข้อง.....	2
2.1 แนวคิดและทฤษฎี.....	2
2.1.1 ซิลิกาหรือซิลิกอนไดออกไซด์ (SiO ₂).....	2
2.1.1.1 โครงสร้างของซิลิกา.....	2
2.1.1.2 ลักษณะของซิลิกา.....	3
2.1.1.3 รูปแบบของซิลิกา.....	3
2.1.2 ดินขาว.....	7
2.1.2.1 การกำเนิดและการศึกษาเกี่ยวกับแร่.....	7
2.1.2.2 สมบัติทางกายภาพและทางเคมีของดินขาว.....	8
2.1.2.3 ความขาวสว่างของสารเคลือบดินขาว.....	9
2.1.2.4 ขนาดอนุภาค.....	9
2.1.2.5 สมบัติของกระดาษเคลือบผิวที่ถูกส่งผลกระทบต่อโดยดินขาว... ..	10
2.1.3 พอลิไวนิลแอลกอฮอล์ (PVOH).....	11
2.1.3.1 คุณสมบัติทางเคมีและกระบวนการผลิต.....	11
2.1.3.2 ความจำเป็นของงานพิมพ์.....	13
2.1.3.3 เวลาของการแห้งตัว.....	14
2.1.3.4 การใช้พอลิไวนิลแอลกอฮอล์เปรียบเทียบกับลาเทกซ์.....	14
2.1.3.5 ความหนืดและการไหล.....	16
2.1.3.6 กำลังการยึดติดของพอลิไวนิลแอลกอฮอล์.....	16

บทที่	หน้า
2.1.4 คาร์บอกซีเมทิลเซลลูโลส (CMC).....	17
2.1.4.1 สมบัติของซีเอ็มซี	17
2.1.4.1.1 การละลาย.....	17
2.1.4.1.2 ความหนืด.....	17
2.1.4.1.3 เสถียรภาพ (Stability).....	18
2.1.4.1.4 ความสามารถในการเกิดฟิล์ม.....	18
2.1.4.1.5 ความปลอดภัยต่อสิ่งมีชีวิต.....	19
2.1.5 สารเคลือบกระดาษพิมพ์อิงค์เจ็ต (Ink jet coating).....	20
2.1.5.1 สูตรน้ำยาสารเคลือบกระดาษอิงค์เจ็ต.....	20
2.1.5.2 ผลของสูตรน้ำยาสารเคลือบที่มีต่อสมบัติกระดาษเคลือบผิว...21	
2.1.5.2.1 สมบัติเชิงแสงของกระดาษเคลือบผิว.....	21
2.1.5.2.2 สภาพพิมพ์ได้ของกระดาษเคลือบผิว.....	22
2.1.6 การพิมพ์อิงค์เจ็ต (Ink jet printing).....	23
2.1.7 สมบัติทางกายภาพของกระดาษเคลือบผิว.....	25
2.1.7.1 ความขาวสว่าง (Brightness).....	25
2.1.7.2 ความขาว (Whiteness).....	25
2.1.7.3 ความเรียบ (Smoothness).....	25
2.1.8 คุณภาพงานพิมพ์.....	26
2.1.8.1 ความดำของหมึกพิมพ์ (Ink density).....	26
2.1.8.2 การซึมเข้าหากันของหมึกพิมพ์ (Inter-color Bleed)	26
2.1.9 Test target	27
2.1.10 การออกแบบของผสม (Mixture Design).....	29
เอกสารและงานวิจัยที่เกี่ยวข้อง.....	35
บทที่ 3 วิธีดำเนินการวิจัย.....	36
3.1 เครื่องมือที่ใช้ในการวิจัย.....	37
3.1.1 สารเคมี.....	37
3.1.2 อุปกรณ์.....	38
3.2 ขั้นตอนและวิธีดำเนินการวิจัย	39
3.2.1 ขั้นตอนการเตรียมซิลิกาจากแฉะกลบและวิเคราะห์สมบัติของซิลิกา.....	39

บทที่	หน้า
3.2.2 ขั้นตอนการเตรียมดินขาว และศึกษาสมบัติต่างๆ ของดินขาว.....	40
3.2.3 ขั้นตอนการเตรียมสารเคลือบ.....	40
3.2.3.1 การเตรียมสารเคลือบ.....	40
3.2.3.2 ตรวจสอบสมบัติกระดาษอิงก์เจ็ดที่ผลิตได้	41
3.2.4 การวิเคราะห์คุณภาพงานพิมพ์.....	42
3.2.5 การเปรียบเทียบคุณภาพงานพิมพ์.....	42
3.2.6 การออกแบบของผสม (Mixture design).....	42
บทที่ 4 ผลการวิเคราะห์ข้อมูล.....	45
4.1 การเตรียมซิลิกาและวิเคราะห์สมบัติของซิลิกา.....	45
4.1.1 สมบัติของซิลิกาจากขี้เถ้าแกลบ.....	45
4.1.2 สมบัติของดินขาวนราธิวาส	46
4.1.3 การเปรียบเทียบสมบัติของสารสี.....	47
4.2 การเตรียมสารเคลือบ	48
4.3 การตรวจสอบสมบัติทางกายภาพกระดาษอิงก์เจ็ดที่ผลิตได้ และตรวจสอบคุณภาพงานพิมพ์.....	49
4.3.1 ลักษณะผิวหน้าของชั้นสารเคลือบ.....	49
4.3.2 สมบัติของกระดาษอิงก์เจ็ดและคุณภาพงานพิมพ์.....	52
4.3.2.1 ความขาวและความขาวสว่าง.....	54
4.3.2.2 น้ำหนักของชั้นสารเคลือบ	54
4.3.2.3 ความดำของสีดำ.....	55
4.3.2.4 คุณภาพของเส้นและตัวอักษร.....	57
4.3.2.5 การซึมเข้าหากันของสีดำและสีเหลือง.....	61
4.3.3 การวิเคราะห์คุณภาพงานพิมพ์.....	64
4.4 การออกแบบของผสม(Mixture design).....	65
4.4.1 การผลิตสารเคลือบตามการออกแบบของผสมแบบซิมเพิลิกแลททิส.....	65
4.4.1.1 การวิเคราะห์คุณภาพงานพิมพ์.....	68
4.4.2 ผลของการออกแบบของผสม.....	78
4.4.2.1 ความขาวของกระดาษเคลือบผิว.....	79
4.4.2.2 ความดำของสีดำ.....	81

บทที่	หน้า
4.4.2.3 ร้อยละของการซึมเข้าหากันของหมึก.....	83
4.4.2.4 สูตรของสารเคลือบที่ดีที่สุด.....	85
4.4.3 การทดสอบแบบจำลอง.....	86
บทที่ 5 สรุปผลการวิจัย และข้อเสนอแนะ	88
5.1 สรุปผลการวิจัย.....	88
5.2 ข้อเสนอแนะ	88
รายการอ้างอิง.....	89
ภาคผนวก.....	90
ประวัติผู้เขียนวิทยานิพนธ์.....	92



สถาบันวิทยบริการ
จุฬาลงกรณ์มหาวิทยาลัย

สารบัญภาพ

ภาพประกอบ	หน้า
2.1 รูปแบบต่าง ๆของการเชื่อมต่อของ SiO_4 Tetrahedral ในโครงสร้างพื้นฐานของซิลิกาเกิด.....	2
2.2 การเกิดปฏิกิริยาพอลิเมอไรเซชันของซิลิกา ในสารละลายต่าง (B) อนุภาคของโซลมีขนาดเพิ่มขึ้น ในสารละลายกรดหรือเกลือ (A) อนุภาคเกิดการรวมกลุ่มเป็นโครงสร้างตาข่าย 3 มิติเกิดเป็นเจล (2).....	4
2.3 ผลของ pH ของคอลลอยดอลซิลิกาในน้ำ(2).....	5
2.4 โครงสร้างของคาโอลิไนท์ (Kaolinite).....	7
2.5 การกระจายตัวของอนุภาคสำหรับดินขาวที่ใช้เป็นฟิลเลอร์และสารเคลือบ.....	9
2.6 สัดส่วนของซิลิกาที่ใส่สูงสุดก่อนจะเกิดปัญหาผงฝุ่น.....	13
2.7 เวลาในการแห้งตัวของสารเคลือบผิวเมื่อมีซิลิกา 0 และ 100 ส่วน.....	14
2.8 การเกิด wicking สำหรับสารเคลือบที่ใช้สารยึดเป็นพอลิไวนิลแอลกอฮอล์เปรียบเทียบกับ Latex.....	16
2.9 เทคโนโลยีพ่นหมึกด้วยความร้อน.....	23
2.10 การสร้างหยดหมึกของ Thermal Inkjet (a)เครื่องพิมพ์ของ Cannon (b) เครื่องพิมพ์ของHP 24	
2.11 QEA test target สำหรับบววิเคราะห์คุณภาพงานพิมพ์.....	27
2.12 ไตรลิเนียร์โคออร์ดิเนต (Trilinear co-ordinate).....	31
2.13 การออกแบบแบบซิมเพล็กซ์แลททิซสำหรับ $p = 3$ และ $p = 4$ องค์กรประกอบ.....	31
2.14 การออกแบบแบบซิมเพล็กซ์แลททิซ 2 ระดับที่รวมจุดโคออร์ดิเนตตรงศูนย์กลาง (center points) และจุดกึ่งกลางระหว่างจุดศูนย์กลางและจุดมุม (axial points).....	32
2.15 การออกแบบแบบซิมเพล็กซ์เซนทรอยด์ (Simplex centroid design) สำหรับองค์กรประกอบ (a) และ 4 องค์กรประกอบ (b)	34
4.1 ขนาดของอนุภาคซิลิกา.....	45
4.2 ภาพถ่าย SEM ของซิลิกา	45
4.3 การกระจายตัวของขนาดอนุภาคของดินขาว.....	46
4.4 ภาพถ่าย SEM ของดินขาว.....	46
4.5 ภาพ SEM ของกระดาษที่สารเคลือบมีสัดส่วนของซิลิกาต่อดินขาว เท่ากับ 100:0 และ สัดส่วนของสารสีต่อสารยึดต่อสารยึดร่วมเท่ากับ 100:30:2 ร้อยละของของแข็งเท่ากับ 17 กำลังขยาย 500 เท่า.....	49

รูปที่	หน้า
4.16 น้ำหนักของชั้นสารเคลือบ.....	55
4.17 ความค่าของหมึกพิมพ์สีดำบนกระดาษเคลือบผิวต่างชนิด.....	55
4.18 ตัวอักษรขนาด 6 พอยท์ ของกระดาษฐานน้ำหนัก 80 แกรม.....	59
4.19 ตัวอักษรขนาด 6 พอยท์ ของกระดาษที่มีสัดส่วนของซิลิกาต่อดินขาวเป็น 100:0 และมีร้อยละของของแข็ง 17.....	59
4.20 ตัวอักษรขนาด 6 พอยท์ ของกระดาษที่มีสัดส่วนของซิลิกาต่อดินขาวเป็น 90:10 และมีร้อยละของของแข็ง 17	59
4.21 ตัวอักษรขนาด 6 พอยท์ ของกระดาษที่มีสัดส่วนของซิลิกาต่อดินขาวเป็น 90:10 และมีร้อยละของของแข็ง 21	59
4.22 ตัวอักษรขนาด 6 พอยท์ ของกระดาษที่มีสัดส่วนของซิลิกาต่อดินขาวเป็น 75:25 และมีร้อยละของของแข็ง 17.....	59
4.23 ตัวอักษรขนาด 6 พอยท์ ของกระดาษที่มีสัดส่วนของซิลิกาต่อดินขาวเป็น 75:25 และมีร้อยละของของแข็ง 22	60
4.24 ตัวอักษรขนาด 6 พอยท์ ของกระดาษที่มีสัดส่วนของซิลิกาต่อดินขาวเป็น 50:50 และมีร้อยละของของแข็ง 17.....	60
4.25 ตัวอักษรขนาด 6 พอยท์ ของกระดาษที่มีสัดส่วนของซิลิกาต่อดินขาวเป็น 50:50 และมีร้อยละของของแข็ง 22.....	60
4.26 ตัวอักษรขนาด 6 พอยท์ ของกระดาษที่มีสัดส่วนของซิลิกาต่อดินขาวเป็น 0:100 และมีร้อยละของของแข็ง 17.....	60
4.27 ตัวอักษรขนาด 6 พอยท์ ของกระดาษที่มีสัดส่วนของซิลิกาต่อดินขาวเป็น 0:100 และมีร้อยละของของแข็ง 25.....	60
4.28 ตัวอักษรขนาด 6 พอยท์ ของกระดาษที่มีสัดส่วนของซิลิกาต่อดินขาวเป็น 0:100 และมีร้อยละของของแข็ง 30.....	60
4.29 ความกว้างของเส้นสีดำ ที่ซึมเข้าไปในสีเหลือง ของกระดาษที่มีสัดส่วนของซิลิกาต่อดินขาวเป็น 100:0 ที่ร้อยละของแข็ง 17.....	61
4.30 ความกว้างของเส้นสีดำ ที่ซึมเข้าไปในสีเหลือง ของกระดาษที่มีสัดส่วนของซิลิกาต่อดินขาวเป็น 90:10 ที่ร้อยละของแข็ง 17.....	61
4.31 ความกว้างของเส้นสีดำ ที่ซึมเข้าไปในสีเหลือง ของกระดาษที่มีสัดส่วนของซิลิกาต่อดินขาวเป็น 90:0 ที่ร้อยละของแข็ง 21.....	62

รูปที่	หน้า
4.32 ความกว้างของเส้นสีดำ ที่ซึมเข้าไปในสีเหลือง ของกระดาษที่มีสัดส่วนของซิลิกา ต่อดินขาวเป็น 75:25 ที่ร้อยละของแข็ง 17.....	62
4.33 ความกว้างของเส้นสีดำ ที่ซึมเข้าไปในสีเหลือง ของกระดาษที่มีสัดส่วนของซิลิกา ต่อดินขาวเป็น 75:25 ที่ร้อยละของแข็ง 22.....	62
4.34 ความกว้างของเส้นสีดำ ที่ซึมเข้าไปในสีเหลือง ของกระดาษที่มีสัดส่วนของซิลิกา ต่อดินขาวเป็น 50:50 ที่ร้อยละของแข็ง 17.....	62
4.35 ความกว้างของเส้นสีดำ ที่ซึมเข้าไปในสีเหลือง ของกระดาษที่มีสัดส่วนของซิลิกา ต่อดินขาวเป็น 50:50 ที่ร้อยละของแข็ง 22.....	62
4.36 ความกว้างของเส้นสีดำ ที่ซึมเข้าไปในสีเหลือง ของกระดาษที่มีสัดส่วนของซิลิกา ต่อดินขาวเป็น 0:100 ที่ร้อยละของแข็ง 17.....	62
4.37 ความกว้างของเส้นสีดำ ที่ซึมเข้าไปในสีเหลือง ของกระดาษที่มีสัดส่วนของซิลิกา ต่อดินขาวเป็น 0:100 ที่ร้อยละของแข็ง 25.....	63
4.38 ความกว้างของเส้นสีดำ ที่ซึมเข้าไปในสีเหลือง ของกระดาษที่มีสัดส่วนของซิลิกา ต่อดินขาวเป็น 0:100 ที่ร้อยละของแข็ง 30.....	63
4.39 ความกว้างของเส้นสีดำ ที่ซึมเข้าไปในสีเหลืองของกระดาษฐานที่มีน้ำหนัก 80 แกรม	63
4.40 การจัดเรียงตัวของอนุภาคดินขาวในชั้นสารเคลือบ (13).....	64
4.41 ส่วนตัดขวางของชั้นสารเคลือบดินขาว (13).....	64
4.42 กลไกการการดูดซึมหมึกพิมพ์ของซิลิกา(12).....	65
4.43 ตัวอักษรขนาด 6 พอยท์ ของกระดาษของกระดาษที่ผลิตขึ้นจากสูตรที่ 1.....	70
4.44 ตัวอักษรขนาด 6 พอยท์ ของกระดาษของกระดาษที่ผลิตขึ้นจากสูตรที่ 2.....	70
4.45 ตัวอักษรขนาด 6 พอยท์ ของกระดาษของกระดาษที่ผลิตขึ้นจากสูตรที่ 3.....	70
4.46 ตัวอักษรขนาด 6 พอยท์ ของกระดาษของกระดาษที่ผลิตขึ้นจากสูตรที่ 4.....	70
4.47 ตัวอักษรขนาด 6 พอยท์ ของกระดาษของกระดาษที่ผลิตขึ้นจากสูตรที่ 5.....	71
4.48 ตัวอักษรขนาด 6 พอยท์ ของกระดาษของกระดาษที่ผลิตขึ้นจากสูตรที่ 6.....	71
4.49 ตัวอักษรขนาด 6 พอยท์ ของกระดาษของกระดาษที่ผลิตขึ้นจากสูตรที่ 7.....	71
4.50 ตัวอักษรขนาด 6 พอยท์ ของกระดาษของกระดาษที่ผลิตขึ้นจากสูตรที่ 8.....	71
4.51 ตัวอักษรขนาด 6 พอยท์ ของกระดาษของกระดาษที่ผลิตขึ้นจากสูตรที่ 9.....	71
4.52 ตัวอักษรขนาด 6 พอยท์ ของกระดาษของกระดาษที่ผลิตขึ้นจากสูตรที่ 10.....	71
4.53 ตัวอักษรขนาด 6 พอยท์ ของกระดาษของกระดาษที่ผลิตขึ้นจากสูตรที่ 11.....	72

รูปที่	หน้า
4.54 ตัวอักษรขนาด 6 พอยท์ ของกระดาษของกระดาษที่ผลิตขึ้นจากสูตรที่ 12.....	72
4.55 ตัวอักษรขนาด 6 พอยท์ ของกระดาษของกระดาษที่ผลิตขึ้นจากสูตรที่ 13.....	72
4.56 ความกว้างของเส้นสีดำ ที่ซึมเข้าไปในสีเหลืองของกระดาษที่ผลิตขึ้นจากสูตรที่ 1	73
4.57 ความกว้างของเส้นสีดำ ที่ซึมเข้าไปในสีเหลืองของกระดาษที่ผลิตขึ้นจากสูตรที่ 2	73
4.58 ความกว้างของเส้นสีดำ ที่ซึมเข้าไปในสีเหลืองของกระดาษที่ผลิตขึ้นจากสูตรที่ 3	73
4.59 ความกว้างของเส้นสีดำ ที่ซึมเข้าไปในสีเหลืองของกระดาษที่ผลิตขึ้นจากสูตรที่ 4	73
4.60 ความกว้างของเส้นสีดำ ที่ซึมเข้าไปในสีเหลืองของกระดาษที่ผลิตขึ้นจากสูตรที่ 5	74
4.61 ความกว้างของเส้นสีดำ ที่ซึมเข้าไปในสีเหลืองของกระดาษที่ผลิตขึ้นจากสูตรที่ 6	74
4.62 ความกว้างของเส้นสีดำ ที่ซึมเข้าไปในสีเหลืองของกระดาษที่ผลิตขึ้นจากสูตรที่ 7	74
4.63 ความกว้างของเส้นสีดำ ที่ซึมเข้าไปในสีเหลืองของกระดาษที่ผลิตขึ้นจากสูตรที่ 8	74
4.64 ความกว้างของเส้นสีดำ ที่ซึมเข้าไปในสีเหลืองของกระดาษที่ผลิตขึ้นจากสูตรที่ 9	75
4.65 ความกว้างของเส้นสีดำ ที่ซึมเข้าไปในสีเหลืองของกระดาษที่ผลิตขึ้นจากสูตรที่ 10.....	75
4.66 ความกว้างของเส้นสีดำ ที่ซึมเข้าไปในสีเหลืองของกระดาษที่ผลิตขึ้นจากสูตรที่ 11	75
4.67 ความกว้างของเส้นสีดำ ที่ซึมเข้าไปในสีเหลืองของกระดาษที่ผลิตขึ้นจากสูตรที่ 12.....	75
4.68 ความกว้างของเส้นสีดำ ที่ซึมเข้าไปในสีเหลืองของกระดาษที่ผลิตขึ้นจากสูตรที่ 13.....	76
4.69 กลไกการไหลซึมของหมึกพิมพ์ในชั้นสารเคลือบที่มีซิลิกาอยู่มาก.....	77
4.70 กลไกการไหลซึมของหมึกพิมพ์ในชั้นสารเคลือบที่มีซิลิกาและดินขาว.....	77
4.71 กราฟไทรลิเนียร์โคออดิเนตของค่าความขาว.....	79
4.72 กราฟไทรลิเนียร์โคออดิเนตของค่าความดำ.....	81
4.73 กราฟไทรลิเนียร์โคออดิเนตของค่าร้อยละของการล้นเลอะ.....	83
4.74 กราฟไทรลิเนียร์โคออดิเนตแสดงจุดตัดของเส้นกราฟของสมบัติต่างๆ สำหรับ สูตรสารเคลือบที่ดีที่สุด	85
4.75 ตัวอักษรเนกาทีฟ(ซ้าย) และตัวอักษรโพซิทีฟ(ขวา) ขนาด 6 พอยท์.....	86
4.86 ความกว้างของเส้นสีดำ ที่ล้นเลอะเข้าไปในสีเหลือง	87

สารบัญตาราง

ตารางที่	หน้า
2.1 สมบัติทางกายภาพของดินขาวจอร์เจีย	8
2.2 ชนิดของพอลิไวนิลแอลกอฮอล์ที่มีร้อยละการไฮโดรไลซิสต่างกัน.....	12
2.3 ค่าความค้ำของหมึกพิมพ์สีค้ำบนกระดาษเคลือบผิวที่ใช้สารซีดีในสารเคลือบผิว เป็นพอลิไวนิลแอลกอฮอล์และStarch	13
2.4 คุณลักษณะของซีเอ็มซีสำหรับการประยุกต์ในงานต่างๆ (Thai Cellulose Products Ltd.)	19
2.5 คุณลักษณะคุณภาพงานพิมพ์พื้นฐาน.....	28
2.6 สัดส่วนของของผสมการออกแบบแบบซึมเพ็ล็กเลททิส 2 ระดับ 3 องค์ประกอบ	33
3.1 สูตรสารเคลือบที่มีซิลิกาและดินขาวในสัดส่วนต่างๆ.....	39
3.2 สูตรสารเคลือบที่ถูกกำหนดขึ้นตามการออกแบบของผสมแบบซึมเพ็ล็กเลททิส.....	42
4.1 สมบัติทางกายภาพของสารสี	46
4.2 สมบัติของสารเคลือบที่มีซิลิกาและดินขาวในสัดส่วนต่างๆ.....	47
4.3 สมบัติของกระดาษอิงก์เจ็ตที่มีซิลิกาและดินขาวเป็นสารสีในสัดส่วนต่างๆ.....	52
4.4 คุณภาพของเส้นขนาดเล็กที่สุดของกระดาษอิงก์เจ็ตที่ผลิตได้.....	56
4.5 การกำหนดช่วงของน้ำหนักให้กับองค์ประกอบ.....	65
4.6 สัดส่วนขององค์ประกอบต่างๆของสารเคลือบตามการออกแบบแบบซึมเพ็ล็กเลททิส.....	65
4.7 สมบัติของสารเคลือบที่มีซิลิกาและดินขาวในสัดส่วนต่างๆ.....	66
4.8 คุณภาพของเส้นขนาดเล็กที่สุดของกระดาษอิงก์เจ็ตที่ผลิตได้.....	67
4.9 สมบัติของกระดาษอิงก์เจ็ตที่มีซิลิกา ดินขาวและพอลิไวนิลแอลกอฮอล์ในสัดส่วนต่างๆ.....	77
4.10 ตารางเปรียบเทียบค่าสัมประสิทธิ์ กับ ค่าความผิดพลาดมาตรฐานของค่าความขาว.....	79
4.11 ตารางเปรียบเทียบค่าสัมประสิทธิ์ กับ ค่าความผิดพลาดมาตรฐาน ของค่าความขาว.....	81
4.12 ตารางเปรียบเทียบค่าสัมประสิทธิ์ กับ ค่าความผิดพลาดมาตรฐานของค่าความขาว.....	82
4.13 สมบัติของสารเคลือบสำหรับสูตรสารเคลือบที่ดีที่สุด.....	85
4.14 เปรียบเทียบค่าที่ได้จากการคำนวณและค่าที่ได้จากการทดลอง.....	85

บทที่ 1

บทนำ

ความเป็นมาและความสำคัญของปัญหา

ซิลิกาเป็นสารสีที่เหมาะสมสำหรับใช้เป็นองค์ประกอบของสารเคลือบผิว กระจกพิมพ์อิงก์เจ็ต เนื่องจากซิลิกาเป็นอนุภาคที่มีรูพรุนและพื้นที่ผิวสูงทำให้สารเคลือบผิว สามารถรับหมึกพิมพ์ได้ดีเหมาะสำหรับผลิตเป็นกระจกเคลือบผิวชนิดผิวด้าน จากงานวิจัยที่ผ่านมาพบว่ากระจกที่เคลือบด้วยสารเคลือบผิวที่ใช้ซิลิกาเป็นสารสีเพียงชนิดเดียวให้ความดำของงานพิมพ์ไม่สูงเท่ากับกระจกที่เคลือบด้วยสารสีมากกว่าหนึ่งชนิด นอกจากนี้ยังมีงานวิจัยที่เกี่ยวข้องพบว่าการใช้ดินขาวเป็นสารสีร่วมกับซิลิกา จะให้สารเคลือบที่มีปริมาณของแข็งมากขึ้น ซึ่งเป็นผลให้รับหมึกได้ดีและมีความดำของหมึกพิมพ์มากขึ้น มีค่าความหนืดที่ดี ราคาถูกและง่ายต่อการเคลือบด้วยขดลวดเคลือบผิว และเนื่องจากสารเคลือบผิวมีองค์ประกอบหลายชนิด การเปลี่ยนแปลงปริมาณขององค์ประกอบแต่ละชนิดหรือหลายชนิดพร้อมกันในสารเคลือบจะส่งผลกระทบต่อเปลี่ยนแปลงสมบัติต่าง ๆ ของชั้นสารเคลือบได้แตกต่างกัน การประเมินผลกระทบที่เกิดจากการเปลี่ยนแปลงสัดส่วนขององค์ประกอบเหล่านั้น สามารถทำได้อย่างเป็นระบบ ลดเวลาและลดการใช้สารเคมีลงได้โดยการใช้วิธีออกแบบส่วนผสมด้วยวิธีซิมเพล็กซ์ ซึ่งจะได้แบบจำลองแสดงผลกระทบขององค์ประกอบในสารเคลือบต่อสมบัติที่ต้องการศึกษาแต่ละชนิด ในงานวิจัยนี้จะศึกษาผลกระทบของซิลิกาจากถ้ำกลบ (สารสีหลัก) ดินขาวราธิวาส (สารสีร่วม) และพอลิไวนิลแอลกอฮอล์ (สารยึด) ต่อปัจจัยที่มีผลกระทบต่อคุณภาพงานพิมพ์ซึ่งได้แก่ ความทึบแสง ความขาว ความขาวสว่าง ความหนืดของสารเคลือบ ความดำ และการซึมเข้าหากันของหมึกพิมพ์ ซึ่งจะเป็นการพัฒนาและปรับปรุงสูตรของสารเคลือบเพื่อให้คุณภาพงานพิมพ์ที่ยอมรับได้ และสร้างแบบจำลองเพื่อหาสูตรของสารเคลือบที่เหมาะสม

วัตถุประสงค์ของการวิจัย

เพื่อหาสัดส่วนที่เหมาะสมของสารเคลือบผิวกระจกพิมพ์อิงก์เจ็ต ที่ใช้ซิลิกาจากถ้ำกลบ ดินขาวราธิวาสและพอลิไวนิลแอลกอฮอล์ ให้มีคุณภาพงานพิมพ์ที่ยอมรับ

ประโยชน์ที่คาดว่าจะได้รับ

ได้สูตรที่เหมาะสมของสารเคลือบผิวกระจกพิมพ์อิงก์เจ็ตที่มีซิลิกาจากถ้ำกลบ และดินขาวราธิวาสเป็นสารสีและ มีคุณภาพงานพิมพ์ที่ยอมรับ

บทที่ 2

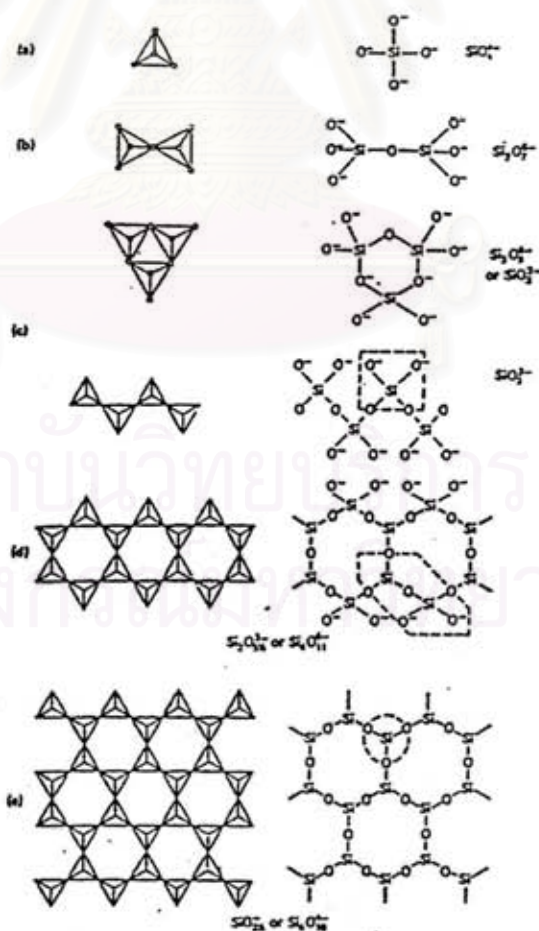
เอกสารและงานวิจัยที่เกี่ยวข้อง

2.1 แนวคิดและทฤษฎี

2.1.1 ซิลิกาหรือซิลิกอนไดออกไซด์ (SiO_2)

2.1.1.1 โครงสร้างของซิลิกา

ซิลิกาหรือซิลิกอนไดออกไซด์ (SiO_2)(1) เป็นสารประกอบที่เกิดจากการรวมตัวระหว่างซิลิกอนและออกซิเจน หน่วยย่อยพื้นฐานทางโครงสร้างของซิลิกาและเกลือซิลิเกตส่วนใหญ่เป็นการจัดเรียงตัวแบบทรงสี่หน้า (Tetrahedral) ของออกซิเจนสี่อะตอมล้อมรอบซิลิกอนซึ่งเป็นอะตอมกลาง โดยโครงสร้างของซิลิกาจะมีลักษณะเป็นโครงสร้างตาข่าย 3 มิติแบบไม่รู้จบ (Infinite three dimensional network) ดังรูปที่ 2.1



รูปที่ 2.1 รูปแบบต่าง ๆ ของการเชื่อมต่อของ SiO_4 Tetrahedral ในโครงสร้างพื้นฐานของซิลิเกต

2.1.1.2 ลักษณะของซิลิกา

ที่อุณหภูมิปกติซิลิกาเป็นสารที่ทนต่อสารเคมีหลายชนิด แต่อย่างไรก็ตามซิลิกาเกิดการเปลี่ยนแปลงทางเคมีได้หลายรูปแบบภายใต้สภาวะที่เหมาะสม โดยเฉพาะอย่างยิ่งที่อุณหภูมิสูง มีหลายสภาวะที่ซิลิกาอสัณฐานมีความว่องไวกว่าซิลิกาชนิดผลึกแต่ความว่องไวของพื้นที่ผิวของซิลิกาชนิดผลึกมีมากกว่าของซิลิกาอสัณฐานเนื่องจากซิลิกาอสัณฐานมีพื้นที่ผิวของหมู่ไฮดรอกซิล (ซิลานอล) ซึ่งครึ่งหนึ่งของหมู่ไฮดรอกซิล จะยังคงอยู่แม้จะให้ความร้อนถึง 400°C

กรดทั่วไปไม่สามารถทำให้ซิลิกาเกิดการเปลี่ยนแปลงได้ ยกเว้นกรดไฮโดรฟลูออริก ซึ่งจะให้เป็นฟลูออโรซิลิเกตไอออน เช่น SiF_6^{2-} อัตราเร็วสำหรับการเปลี่ยนรูปแบบซิลิกาซึ่งละลายอยู่ในสารละลายฟลูออริกจะลดลงเมื่อซิลิกามีความหนาแน่น (ρ) มากขึ้น ลำดับความหนาแน่นเป็นดังนี้

วิเทรียส ซิลิกา (Vitreous silica) ($\rho = 2.2 \text{ g/cm}^3$) < ไตรไดไมท์ (Tridymite) ($\rho = 2.22 \text{ g/cm}^3$) \cong คริสโตบาลไลท์ (Cristobalite) ($\rho = 2.33 \text{ g/cm}^3$) < ควอทซ์ (Quartz) ($\rho = 2.65 \text{ g/cm}^3$) และ โคไซท์ (Coesite) ($\rho = 3.01 \text{ g/cm}^3$)

โคไซท์ไม่ละลายในสารละลายฟลูออริก ส่วนกรดฟอสฟอริกสามารถทำปฏิกิริยากับวิเทรียสซิลิกาได้ที่อุณหภูมิสูงเกิดเป็นผลึกของซิลิโกฟอสเฟต (Silico phosphate) การละลายของซิลิกาจะดีขึ้นในกรดฟอสฟอริกที่เจือจาง ควอทซ์และวิเทรียสซิลิกาเกิดปฏิกิริยาได้เล็กน้อยในสารละลายต่างที่อุณหภูมิห้อง และจะเกิดปฏิกิริยาได้ดีขึ้นเมื่ออุณหภูมิสูงขึ้น

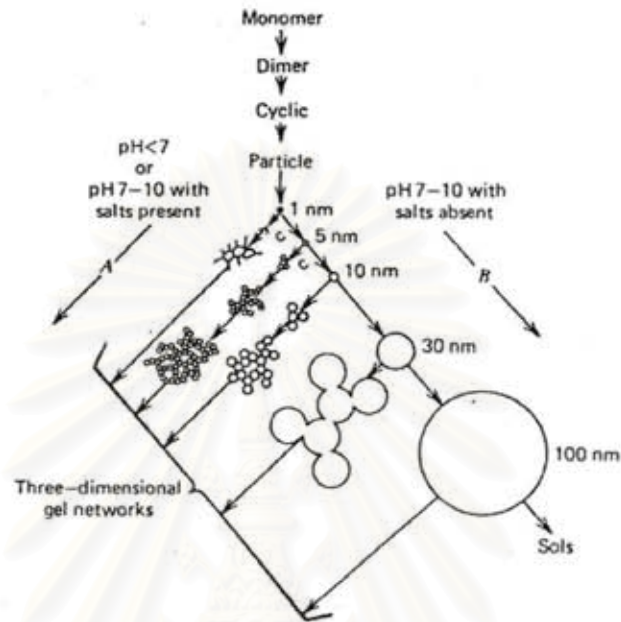
2.1.1.3 รูปแบบของซิลิกา

ซิลิกาอสัณฐาน (2) เป็นรูปแบบหนึ่งของซิลิกาชนิด Noncrystalline silica สามารถตรวจสอบโครงสร้างได้ด้วยวิธี X-ray diffraction

ซิลิกาอสัณฐาน สามารถแบ่งได้เป็น 3 พวกใหญ่ ๆ คือ วิเทรียสซิลิกา เอ็มซิลิกา (Silica M) หรือ ซิลิกาชนิดผลึก (Crystalline silica) และพวกสุดท้ายคือ ซิลิกาอสัณฐานชนิดเล็ก (Microamorphous silica) ซึ่งรวมถึง โซล (Sols) ผงเจล (Gels powder) และ แก้วที่มีความพรุนสูง (Porous glasses) ซึ่งทั้งหมดมีขนาดอนุภาคต่ำกว่า 1 μm และมีพื้นที่ผิวสูง โดยทั่วไปพื้นที่ผิวจะมากกว่า 3 m^2/g

ซิลิกาเป็นสารที่สามารถเกิดปฏิกิริยาพอลิเมอไรเซชันได้ โดยการเกาะเกี่ยวของอนุภาคเชื่อมต่อกันจนเป็น โข่งและ โครงตาข่าย กระบวนการเกิดปฏิกิริยา 3 ขั้นตอนคือ พอ

ลิเมอไรเซชันของมอนอเมอร์เพื่อเกิดอนุภาค ขั้นที่สองคือขนาดของอนุภาคเติบโตขึ้น และขั้นตอนสุดท้ายคือ การเชื่อมต่อกันของอนุภาค เพื่อให้เกิดเป็น โข้และ โครงข่าย ดังรูปที่ 2.2

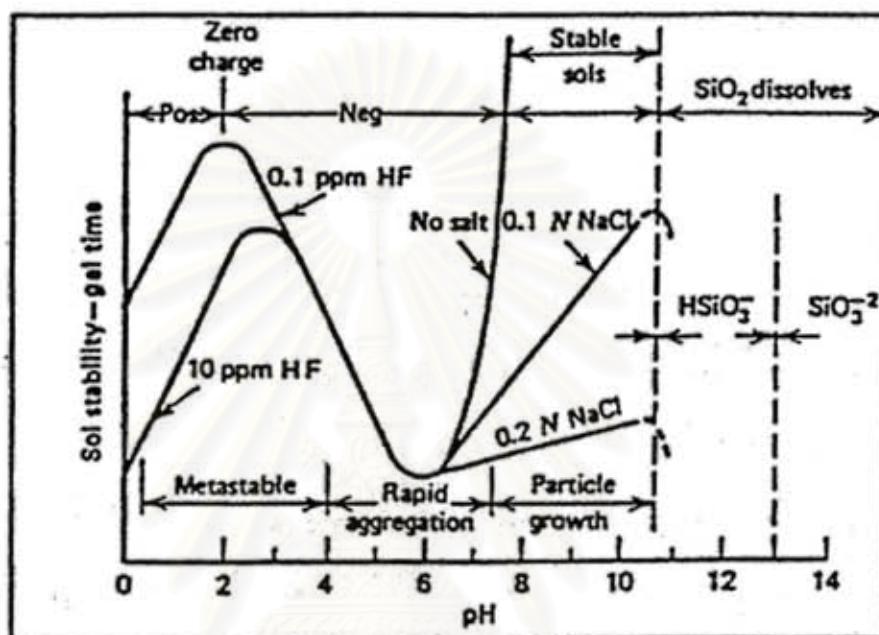


รูปที่ 2.2 การเกิดปฏิกิริยาพอลิเมอไรเซชันของชิติกา ในสารละลายต่าง (B) อนุภาคของโซลมีขนาดเพิ่มขึ้น ในสารละลายกรดหรือเกลือ (A) อนุภาคเกิดการรวมกลุ่มเป็น โครงสร้างตาข่าย 3 มิติเกิดเป็น เจล (2)

หมายเหตุ : ในสารละลายต่าง (B) อนุภาคใน โซลจะ โตขึ้น ดังนั้นจำนวนจึงลดลง ในสารละลาย กรดหรือใน flocculating salts (A) พบว่าอนุภาคจะจับตัวเป็น โครงข่ายสามมิติแล้วจึงเกิดเป็นเจล

1) ชิติกาโซลและกอลลอยคอลลชิติกา ชิติกาโซลที่มีขนาดอนุภาคเป็น คอลลอยด์ของชิติกาอสัณฐาน จะกระจายตัวอย่างสม่ำเสมอในสารละลาย ชิติกาโซลจะไม่เกิดเป็น เจลหรือตกตะกอนแม้ถูกทิ้งไว้เป็นเวลาหลายปี โซลมีชิติกาอยู่มากกว่าร้อยละ 50 ขึ้นไปและอนุภาค มีขนาดถึง 300 nm อย่างไรก็ตามอนุภาคที่มีขนาดใหญ่กว่า 70 nm จะเกิดการตกตะกอนอย่างช้า ๆ สถานภาพของโซลขึ้นอยู่กับปัจจัยหลายปัจจัย (รูปที่ 2.3) pH ของโซลจะต้องมากกว่า 7 จึงจะคง สภาพประจุกับขนาดอนุภาคชิติกาทำให้ไม่กลับมาจับตัวและตกตะกอน ประจุที่ผิวจะถูกทำให้เป็น กลางได้โดยสารละลายเกลือซึ่งจะมีไอออนและทำให้เกิดคัมเบิ้ลเลขอร์รอบผิวของชิติกา ทำให้เกิด การจับตัว ดังนั้นโซลจะเสถียรที่ความเข้มข้นของเกลือต่ำ ในบริเวณที่ pH ต่ำโซลจะอยู่ในสภาพ metastable การเกิดเจลและการจับตัวจึงถูกเร่งให้เกิดได้ง่ายแม้มีฟลูออไรด์เพียงเล็กน้อย ในบริเวณที่

pH ต่ำนี้ ตัวทำละลายอินทรีย์ที่รวมกับน้ำได้ เช่น แอลกอฮอล์จะด้านการเกิดเจล อย่างไรก็ตามการเกิดเจลจะเกิดขึ้นได้อย่างรวดเร็วที่อุณหภูมิสูง ยิ่งปริมาณซิลิกาในโซลสูงการเกิดเจลก็ยิ่งง่าย ส่วนลักษณะผิวของอนุภาคซิลิกาก็เป็นอีกปัจจัยหนึ่งในการควบคุมเสถียรภาพของโซล



รูปที่ 2.3 ผลของ pH ของคอลลอยดอลซิลิกาในน้ำ (2)

2) ซิลิกาเจล แบ่งได้เป็น 3 ชนิด คือ ซิลิกาเจลชนิดความหนาแน่นปกติ ซึ่งเตรียมได้โดยการทำให้อยู่ในสภาพที่เป็นกรด จะได้อนุภาคที่มีขนาดเล็กมากและพื้นที่ผิวสูง (750-800 m²/g) ค่าเฉลี่ยของเส้นผ่านศูนย์กลางเท่ากับ 2.2-2.6 nm และ ปริมาตรรูพรุนประมาณ 0.37-2.40 ml/g Regular-density gel มีน้ำประมาณร้อยละ 6 น้ำจะเกาะอยู่ที่ผิวซึ่งมีหมู่ไฮดรอกซิลอยู่ ดังนั้นจะดูดซับได้มาก ชนิดที่สองคือซิลิกาเจลชนิดความหนาแน่นปานกลาง มีพื้นที่ผิวดำ (300-350 m²/g) แต่มีปริมาตรรูพรุนเท่ากับ 0.9-1.1 ml/g ค่าเฉลี่ยของขนาดรูพรุนประมาณ 12-16 nm ขนาดของอนุภาคใหญ่กว่า ซิลิกาเจลชนิดความหนาแน่นปกติ ด้วยเหตุผลที่ซิลิกาชนิดนี้มีขนาดรูพรุนใหญ่ ดังนั้นจึงดูดซับน้ำได้ดีที่ความชื้นสูง ชนิดสุดท้ายคือ ซิลิกาเจลชนิดความหนาแน่นต่ำ เช่น Aerogel มีพื้นที่ผิวดำ 100-200 m²/g และมีเส้นผ่านศูนย์กลางรูพรุน ประมาณ 18-22 nm และ ปริมาตรรูพรุนประมาณ 1.4-2.0 ml/g

3) ซิลิกาชนิดตกตะกอน (Precipitated silica หรือ particulate silica) เกิดจากการรวมตัวของซิลิกานาขนาดเล็กระดับนาโนเมตรซึ่งยังไม่เชื่อมโยงจนเป็นโครงข่ายขนาดใหญ่ระหว่างกระบวนการเตรียม ซิลิกาชนิดตกตะกอน เกิดได้ทั้งในสภาวะที่เป็นไอ (Vapor phase) และ โดยการตกตะกอนจากสารละลาย

การนำซิลิกาอสัณฐานไปใช้นั้นขึ้นอยู่กับรูปแบบและความบริสุทธิ์ ที่ใช้มากคือเป็นแผ่นกรอง และวัสดุเสริมแรงสำหรับยาง นอกจากนี้ใช้เป็นสารปรับปรุงความสามารถในการอุ้มน้ำ ใช้เป็น สารสีและฟิลเลอร์ (Filler) ในกระดาษ ใช้เป็นสีและสารเคลือบ สำหรับซิลิกาเจลนั้นส่วนมากจะใช้เป็นสารดูดความชื้น

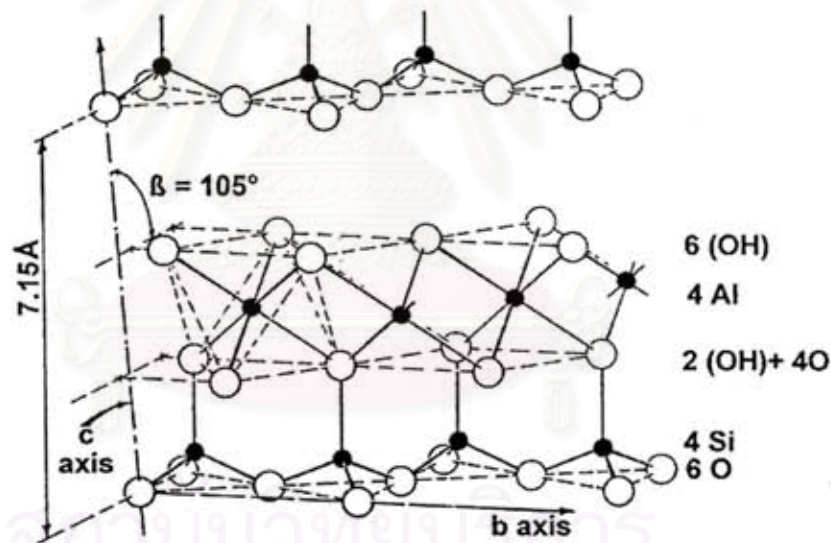


สถาบันวิทยบริการ
จุฬาลงกรณ์มหาวิทยาลัย

2.1.2 ดินขาว

2.1.2.1 การกำเนิดและการศึกษาเกี่ยวกับแร่

ดินขาวหรือคาโอลิน (Kaolin) (3) คือ แร่ดินธรรมชาติที่ประกอบขึ้นด้วยคาโอลิไนท์ (Kaolinite) บริสุทธิ์ ซึ่งตามธรรมชาติจะมีสีขาว โครงสร้างของคาโอลิไนท์ประกอบด้วยชั้นของอะตอม 2 ชั้น คือ ชั้นของอะลูมิเนียมไดออกไซด์ที่มีการจัดเรียงตัวแบบทรงแปดหน้า (Octahedral) โดยมีหมู่ไฮดรอกซิล (OH) แยกอะตอมของอะลูมิเนียมออกจากกัน และชั้นของซิลิกาที่มีการจัดเรียงตัวแบบทรงสี่หน้า (Tetrahedral) โครงสร้างผลึกของอะลูมิเนียมซิลิเกตถูกสร้างขึ้นโดยพันธะไฮโดรเจนระหว่างออกซิเจนในชั้นของซิลิกาและหมู่ไฮดรอกซิลในชั้นของอะลูมิเนียมไดออกไซด์ การจัดเรียงตัวของอะตอมในหนึ่งหน่วยเซลล์สามารถแสดงได้ดังรูปที่ 2.4 สูตรโครงสร้างของคาโอลิไนท์คือ $(\text{OH})_6\text{Si}_4\text{Al}_4\text{O}_{10}$ โดยมี SiO_2 ร้อยละ 46.54 มี Al_2O_3 ร้อยละ 39.50 และมี H_2O ร้อยละ 13.96



รูปที่ 2.4 โครงสร้างของคาโอลิไนท์ (Kaolinite)

2.1.2.2 สมบัติทางกายภาพและทางเคมีของดินขาว

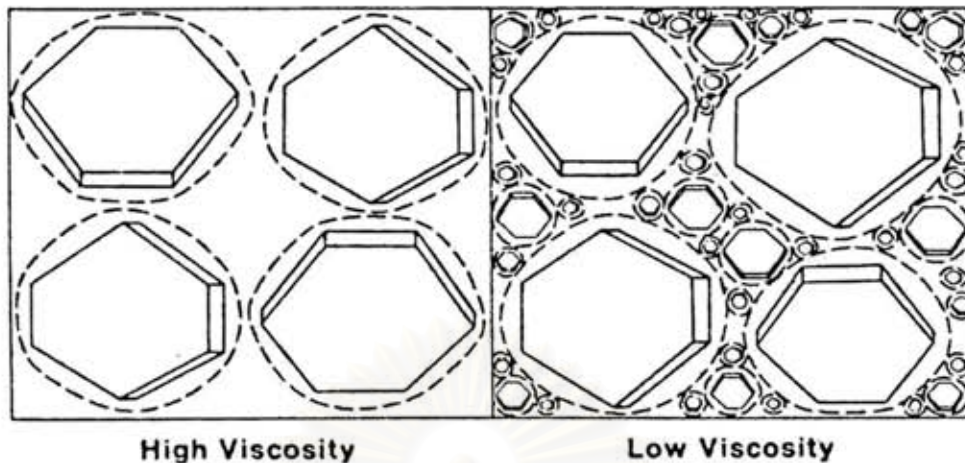
กาโอลินมีสีขาว อนุภาคมีขนาดเล็ก รูปร่างเป็นแผ่นแบน เชื้อต่อปฏิกิริยาเคมี สมบัติทางกายภาพสามารถแสดงได้ดังตารางที่ 2.1

ตารางที่ 2.1 สมบัติทางกายภาพของดินขาวจอร์เจีย

ความถ่วงจำเพาะ	2.62
ดัชนีหักเห	1.57
ความแข็ง (Mohs)	1.5-2
อุณหภูมิหลอมเหลว (°C)	1850
ความขาวสว่าง (ที่ 457 นาโนเมตร)	75-91

ในทางเคมี ดินขาวหรือกาโอลิน คือ ไฮดรอะลูมิเนียมซิลิเกต (hydrated aluminum silicate) ซึ่งการเปลี่ยนแปลงทางเคมีส่วนใหญ่ของดินขาวคือการรับเหล็ก (Iron) และไทเทเนียม (Titanium) เอาไว้ โดยเหล็กและไทเทเนียมจะทำให้สีของดินขาวเปลี่ยนไปในเจดสีเหลืองจนถึงสีน้ำตาลแดง สารละลายเหล็กสามารถถูกสกัดออกได้โดยกรดซัลฟูริก (Sulfuric) หรือโซเดียมไฮโดรซัลไฟท์ (Sodium hydrosulfite) สำหรับไทเทเนียมสามารถถูกสกัดโดยวิธีอัลตราฟลอตเตชัน (Ultraflotation)

ดินขาวมีขนาดอนุภาคเล็ก รูปร่างของอนุภาคเป็นแผ่นแบนเรียบ เชื้อต่อปฏิกิริยาเคมี พื้นที่ผิวของดินขาวอยู่ระหว่าง $7 \text{ m}^2/\text{g}$ ถึง $30 \text{ m}^2/\text{g}$ ขึ้นอยู่กับขนาดอนุภาค การกระจายตัวของขนาดอนุภาค สัดส่วนระหว่างความหนาต่อความกว้างของอนุภาค (aspect ratio) และโครงสร้างของอนุภาค การวัดองค์ประกอบทางกายภาพ คือ ปัจจัยซึ่งมีนัยสำคัญที่มีผลกระทบต่อพฤติกรรมของกาโอลินในสารเคลือบผิว ตัวอย่างของการกระจายตัวของอนุภาคสำหรับดินขาวที่ใช้เป็นฟิลเลอร์ (Filler) และสารเคลือบผิวแสดงดังรูปที่ 2.5 ความแตกต่างระหว่างดินขาวทั้ง 2 ชนิดคือ ร้อยละของความเป็นแผ่นราบ (Platelets) และความเป็นชั้น (Stacks) สำหรับดินขาวที่ใช้เป็นสารเคลือบผิวร้อยละของความเป็นแผ่นราบจะอยู่ระหว่าง ร้อยละ 75 ถึงร้อยละ 90



รูปที่ 2.5 การกระจายตัวของอนุภาคสำหรับดินขาวที่ใช้เป็นฟิลเลอร์และสารเคลือบ

2.1.2.3 ความขาวสว่างของสารเคลือบดินขาว (Brightness of coating clay)

การทดสอบความขาวสว่างของสารเคลือบได้รับการพัฒนาโดย The Institute of Paper Chemistry in cooperation with General Electric (GE) ซึ่งมีการปรับปรุงให้เหมาะสมและนำมาใช้โดย TAPPI ตามมาตรฐานแล้วค่าความขาวสว่าง คือการสะท้อนแสง (Reflectance) ที่ 457 นาโนเมตร

ความขาวสว่างของดินขาวในขณะแห้งจะไม่สัมพันธ์กับความขาวสว่างขณะเป็นสารเคลือบผิวของกระดาษ ความขาวสว่างของดินขาวที่แตกต่างกัน 1 จุด (ตามมาตรฐาน TAPPI (T646-73) อาจจะมีผลเล็กน้อย (ร้อยละ 0.2 หรือน้อยกว่า) ต่อความขาวสว่างของชั้นสารเคลือบ

2.1.2.4 ขนาดอนุภาค (Particle size of coating clay)

การกระจายตัวของขนาดอนุภาคเป็นปัจจัยสำคัญต่อพฤติกรรมของชั้นสารเคลือบ ก็จะส่งผลต่อความหนืด ความขาวสว่าง ความทึบแสง ความมันเงา และการรับหมึกของชั้นสารเคลือบ ดินขาวจะมีรูปร่างของอนุภาคเป็นชั้นคล้ายหนังสือ (booklet)

2.1.2.5 สมบัติของกระดาษเคลือบผิวที่ได้รับผลกระทบโดยดินขาว

ความขาวสว่างของดินขาวมีผลกระทบต่อความขาวสว่างของกระดาษเคลือบผิวเพียงเล็กน้อย คือความขาวสว่างของดินขาวที่แตกต่างกันหนึ่งจุดจะส่งผลเพียง ร้อยละ 0.2 หรือน้อยกว่าในความขาวสว่างของกระดาษเคลือบผิว โครงสร้างของชั้นเคลือบผิวมีผลกระทบอย่างมีนัยสำคัญมากต่อความขาวสว่าง เนื่องจากการกระเจิงแสงขึ้นอยู่กับความแตกต่างของดัชนีหักเหระหว่างองค์ประกอบต่าง ๆ ของสารเคลือบ จึงเป็นความสำคัญที่ต้องมีช่องว่างที่เพียงพอระหว่างอนุภาคดินขาวในชั้นสารเคลือบ และการมีจำนวนของสารยึดเกาะมากเกินไปจะทำให้ความขาวสว่างลดลง

การจัดเรียงตัวและปริมาณช่องว่างของอนุภาคดินขาวมีอิทธิพลสูงต่อความทึบแสงของชั้นสารเคลือบและความขาวสว่าง ขนาดของอนุภาค การกระจายตัวของขนาดอนุภาค และสัดส่วนระหว่างความหนาต่อความกว้างของอนุภาคเป็นสมบัติที่สำคัญซึ่งควบคุมความทึบแสง การเพิ่มขึ้นของปริมาตรรูพรุนเป็นผลดีสำหรับความทึบแสง การที่สารยึดเกาะเข้าไปแทนที่ในพื้นที่ว่างของอนุภาคทำให้ความทึบแสงลดลง

ความมันเงาของกระดาษเคลือบผิว ได้รับการยอมรับโดยทั่วไปแล้วว่ามี ความสัมพันธ์โดยตรงกับขนาดอนุภาคของดินขาว คืออนุภาคที่มีขนาดเล็กกว่าจะมีความมันเงาสูงกว่า ในบางกรณีการพิจารณาถึงความมันเงาก็จะขึ้นอยู่กับขนาดอนุภาคให้ละเอียดหรือการจัดอนุภาค ขนาดใหญ่่ออก การเกาะกลุ่มกันของอนุภาคจะทำให้อนุภาคกระจายตัวได้น้อยส่งผลให้ความมันเงาต่ำลง อนุภาคขนาดเล็กและมีการกระจายตัวที่สมบูรณ์จะให้ค่าความมันเงาสูงที่สุด ระดับของสารยึดที่เพิ่มขึ้นทำให้ความมันเงาต่ำลง

ความสามารถในการรับหมึกแตกต่างกันมากระหว่างสารเคลือบที่ใช้ดินขาวต่างชนิดกัน ความสามารถในการรับหมึกจะสัมพันธ์กับความสามารถในการซึมผ่านได้ของชั้นฟิล์ม ซึ่งจะได้รับอิทธิพลจากปริมาตรรูพรุน อนุภาคดินขาวที่มีเส้นผ่านศูนย์กลางขนาดเล็ก เรียงตัวไม่เป็นระเบียบ (randomly oriented) จะให้การรับหมึกที่ดี การรับหมึกของสารเคลือบจะได้รับอิทธิพลอย่างมากจากปริมาณของสารยึด

2.1.3 พอลิไวนิลแอลกอฮอล์ (PVOH)

กระดาษอิงก์เจ็ดโดยทั่วไปจะเป็นกระดาษเคลือบผิวด้วยสารเคลือบที่ใช้ซิลิกาเป็นสารสีหลัก ซึ่งซิลิกานี้จะมีพื้นที่ผิวอยู่ในช่วง $50 \text{ m}^2/\text{g}$ ถึง $700 \text{ m}^2/\text{g}$ และมีความสามารถในการดูดซับสูง จึงจำเป็นต้องใช้สารยึดในปริมาณที่เพียงพอ สารยึดที่ใช้ในสารเคลือบถ้าไม่มีพลังในการยึดติดเพียงพอและมีปริมาณไม่มากพอจะก่อให้เกิดปัญหาฝุ่นผง ส่งผลให้คุณภาพทางการพิมพ์ที่แย่งลง (4)

2.1.3.1 สมบัติทางเคมีและกระบวนการผลิต

พอลิไวนิลแอลกอฮอล์มีลักษณะเป็นผลึกของแข็งเม็ดเล็ก ๆ สีขาว ซึ่งสามารถละลายได้ในน้ำร้อน พอลิไวนิลแอลกอฮอล์ได้รับการผลิตขึ้นโดยมีพอลิไวนิลอะซิเตทเป็นผลิตภัณฑ์ตั้งต้น จากกระบวนการพอลิเมอไรเซชันผ่านอนุมูลอิสระของไวนิลอะซิเตท พอลิไวนิลอะซิเตทถูกไฮโดรไลซ์เป็นพอลิไวนิลแอลกอฮอล์ผ่านปฏิกิริยา Base-catalyzed saponification น้ำหนักโมเลกุลของพอลิไวนิลแอลกอฮอล์ถูกควบคุมผ่านลำดับขั้นของกระบวนการพอลิเมอไรเซชัน และโดยทั่วไปจะผลิตออกมาในช่วงของความหนืดสารละลายร้อยละ 4 ความหนืดสามารถแบ่งออกได้เป็น ultralow, low, medium และ high ระดับสำหรับไวนิลอะซิเตทที่ถูกเปลี่ยนเป็นไวนิลแอลกอฮอล์จะสัมพันธ์กับร้อยละของการไฮโดรไลซิส และถูกควบคุมผ่านปฏิกิริยา saponification ร้อยละของการไฮโดรไลซิสจะแบ่งออกเป็น Super hydrolyzed (การเปลี่ยนไวนิลอะซิเตทเป็นไวนิลแอลกอฮอล์ร้อยละ 93 ขึ้นไป) Fully hydrolyzed (ร้อยละ 98.0 - 98.8) Intermediate hydrolyzed (ร้อยละ 91.0-96.5) และ Partially hydrolyzed (ร้อยละ 87.0-89.0) (4)

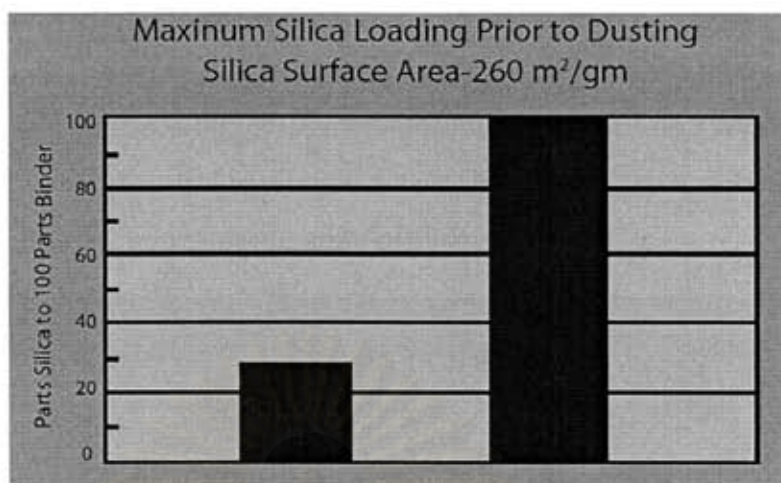
สำหรับสารเคลือบผิวกระดาษอิงก์เจ็ด น้ำหนักโมเลกุลของพอลิไวนิลแอลกอฮอล์จะควบคุมพลังในการยึดติดสำหรับสารสี และควบคุมการไหลของสารเคลือบ ร้อยละของการไฮโดรไลซิสก็มีส่วนในการควบคุมการยึดติดและการไหลแต่ส่งผลน้อยกว่าน้ำหนักโมเลกุลของพอลิไวนิลแอลกอฮอล์ ตารางที่ 2.2 แสดงชนิดของพอลิไวนิลแอลกอฮอล์ที่มีร้อยละการไฮโดรไลซิสต่างกัน

ตารางที่ 2.2 ชนิดของพอลิไวน์แอลกอฮอล์ที่มีร้อยละการไฮโดรไลซิสต่างกัน

Celvol Poyviny Alchol Produc Line			
STANDARD GRADES			
Grade	Hydrolysis, %	Viscosity, cps ¹	pH ²
Super Hydrolyzed			
Celvol 125	99.3+	28 – 32	5.5 – 7.5
Celvol 165	99.3+	62 – 72	5.5 – 7.5
Fully Hydrolyzed			
Celvol 103	98.0 - 98.8	3.5 – 4.5	5.0 – 7.0
Celvol 305	98.0 - 98.8	4.5 – 5.5	5.0 – 7.0
Celvol 107	98.0 - 98.8	5.5 – 6.6	5.0 – 7.0
Celvol 310	98.0 - 98.8	9.0 – 11.0	5.0 – 7.0
Celvol 325	98.0 - 98.8	28.0 – 32.0	5.0 – 7.0
Celvol 350	98.0 - 98.8	62.0 – 72.0	5.0 – 7.0
Intermediate Hydrolyzed			
Celvol 418	91.0 – 93.0	14.5 – 19.5	4.5 – 7.0
Celvol 425	95.5 – 96.5	27.0 – 31.0	4.5 – 6.5
Partially Hydrolyzed			
Celvol 502	87.0 – 89.0	3.0 – 3.7	4.5 – 6.5
Celvol 203	87.0 – 89.0	3.5 – 4.5	4.5 – 6.5
Celvol 205	87.0 – 89.0	5.2 – 6.2	4.5 – 6.5
Celvol 513	87.0 – 89.0	13.0 - 15.0	4.5 – 6.5
Celvol 523	87.0 – 89.0	23.0 – 27.0	4.5 – 6.0
Celvol 504	87.0 – 89.0	45.0 – 55.0	4.5 – 6.0
¹ 4% aqueous solution, 20 °C			
² 4% aqueous solution			

ชนิดของพอลิไวน์แอลกอฮอล์ที่แนะนำสำหรับสารเคลือบผิวออร์กเจตคือ ชนิด Fully hydrolysed ที่น้ำหนักโมเลกุลต่ำและปานกลาง ซึ่งจะให้ความสามารถในการยึดติดที่ดี สำหรับซิลิกา และจะให้ค่าความค้ำที่สูงเมื่อเปรียบเทียบกับการใช้ Starch

พอลิไวน์แอลกอฮอล์เป็นสารยึดที่มีพลังในการยึดติดสูงขึ้นอยู่กับน้ำหนักโมเลกุล การใช้พอลิไวน์แอลกอฮอล์จะลดระดับของการใช้สารยึดในสูตรสารเคลือบลงได้โดยไม่เกิดปัญหาฝุ่นผงที่ผิวหน้า



รูปที่ 2.6 สัดส่วนของซิลิกาที่ใส่สูงสุดก่อนจะเกิดปัญหาฝุ่นผง

2.1.3.2 ความดำของงานพิมพ์

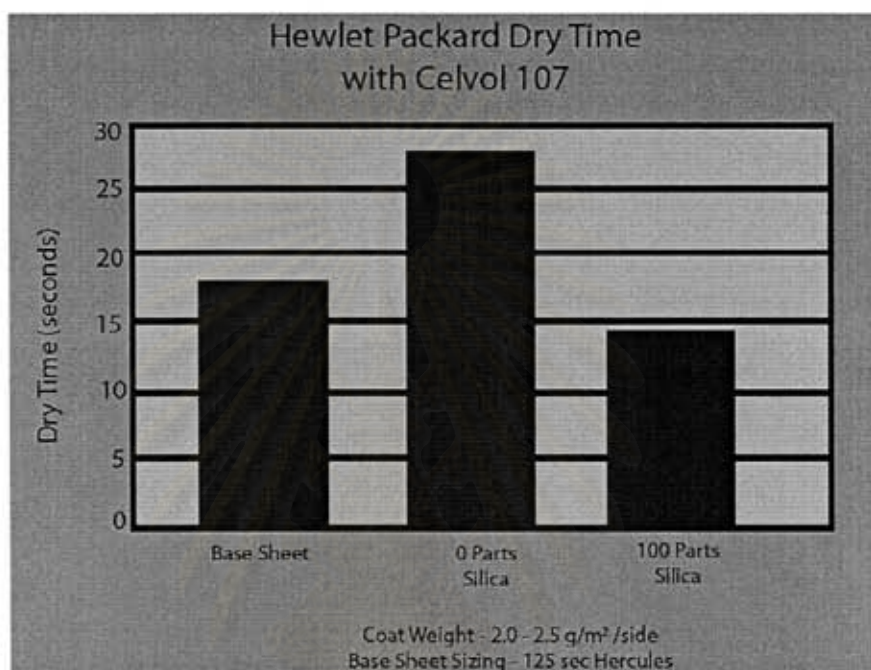
พอลิไวนิลแอลกอฮอล์สามารถให้ค่าความดำของสีดำที่เพิ่มขึ้นเมื่อเทียบกับความดำของงานพิมพ์ที่สารเคลือบใช้ Starch เป็นสารยึด พอลิไวนิลแอลกอฮอล์ชนิด Fully hydrolysed จะให้ค่าความดำที่ดี สำหรับสีดำสีเดียวและสีดำที่เกิดจากการผสม ดังตารางที่ 2.3

ตารางที่ 2.3 ค่าความดำของหมึกพิมพ์สีดำบนกระดาษเคลือบผิวที่ใช้สารยึดในสารเคลือบผิวเป็น พอลิไวนิลแอลกอฮอล์และStarch

Test Results			
Treatment (coat wt. g/m ² /side)	Hercules Sizing	Optical Density	
		Monochrome Balck	Composite Black
Base Sheet	1 second	0.94	0.65
Celvol 107 (1.2)	5.5	1.04	0.81
Celvol 325 (2.7)	57.0	1.30	1.01
Starch (1.9)	2.0	0.98	0.74

2.1.3.3 เวลาของการแห้งตัว

การเคลือบผิวโดยใช้เฉพาะพอลิไวนิลแอลกอฮอล์โดยปราศจากการเติมซิลิกาเป็นสารสีทำให้เวลาในการแห้งตัวสูงขึ้น รูปที่ 2.7 แสดงการใช้ซิลิกา 100 ส่วนทำให้เวลาในการแห้งตัวของพอลิไวนิลแอลกอฮอล์ลดลงเมื่อเคลือบไปบนผิวน้ำกระดาษ



รูปที่ 2.7 เวลาในการแห้งตัวของสารเคลือบผิวเมื่อมีซิลิกา 0 และ 100 ส่วน

2.1.3.4 การใช้พอลิไวนิลแอลกอฮอล์เปรียบเทียบกับลาเท็กซ์

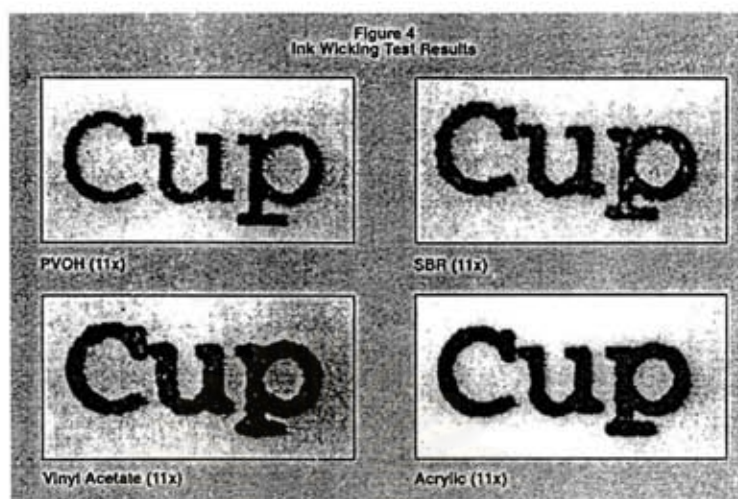
สารเคลือบที่ใช้พอลิไวนิลแอลกอฮอล์เป็นสารยึดจะให้คุณภาพงานพิมพ์ที่ดี เนื่องจากพอลิไวนิลแอลกอฮอล์จะดูดซึมหมึกพิมพ์ฐานน้ำเข้าไปในชั้นสารเคลือบได้อย่างรวดเร็ว การดูดซึมหมึกได้อย่างรวดเร็วนี้ทำให้สามารถลดการเกิดเป็นรอยจ้ำของหมึก (mottle) และ การซึมเข้าหากันของหมึก (bleeding) ซึ่งเป็นปัญหาทางการพิมพ์ลงได้ สูตรของสารเคลือบที่ใช้ลาเท็กซ์เป็นสารยึดและใช้ซิลิกาเป็นสารสีจะให้งานพิมพ์ที่เกิดปัญหารอยจ้ำของหมึก และค่าความดำต่ำ ผลที่ไม่พึงปรารถนานี้มีสาเหตุมาจาก surfactants ที่ใส่ไปเพื่อสร้างเสถียรภาพให้กับอนุภาคของลาเท็กซ์จะไปรบกวนการเปียกผิวของหมึกพิมพ์อิงค์เจ็ต ทำให้หมึกพิมพ์ไม่สามารถถูกดูดซึมไปยังชั้นสารเคลือบได้อย่างรวดเร็ว

ตารางที่ 2.4 แสดงความค่าของหมึกพิมพ์ของสีดำเดี่ยว สีดำที่เกิดจากการผสมและสีฟ้า บนกระดาษเคลือบผิวที่ใช้ลาเท็กซ์เป็นสารยึด 3 ชนิด เปรียบเทียบกับการใช้พอลิไวนิลแอลกอฮอล์เป็นสารยึด จากรูปที่ 2.8 แสดงปัญหาการเกิด wicking สำหรับสารเคลือบที่ใช้สารยึดเป็นพอลิไวนิลแอลกอฮอล์เปรียบเทียบกับลาเท็กซ์

ตารางที่ 2.4 ค่าความค่าของหมึกพิมพ์ของสีดำเดี่ยว สีดำที่เกิดจากการผสมและสีฟ้า บนกระดาษเคลือบผิวที่ใช้ลาเท็กซ์เป็นสารยึด 3 ชนิด เปรียบเทียบกับการใช้พอลิไวนิลแอลกอฮอล์เป็นสารยึด

Ink Jet Analysis of Coated Papers 100 Parts Silica/30 Pars Binder					
		Celvol		Vinyl	
	Base Sheet	523 PVOH	Acrylic	Actetate	SBR
Solution Solids	N/A	11.56	12.85	12.52	17.11
Viscosity (cps)	N/A	112	310	215	267
Coat Weight (g/m ² /side)	N/A	6.64	8.64	7.09	8.01
Monochrome Black O.D.	0.96	1.32	0.88	0.88	0.79
Composite Black O.D.	0.64	0.92	0.62	0.61	0.74
Cyan O.D.	1.07	1.44	1.26	1.25	1.10
Composite Black Dot Area(mm ²)	0.0238	0.0094	0.0150	0.0159	0.0267

สถาบันวิทยบริการ
จุฬาลงกรณ์มหาวิทยาลัย



รูปที่ 2.8 การเกิด wicking สำหรับสารเคลือบที่ใช้สารยึดเป็นพอลิไวนิลแอลกอฮอล์เปรียบเทียบกับลาเท็กซ์

2.1.3.5 ความหนืดและการไหล

ความหนืดของสารเคลือบที่ใช้ซิลิกาเป็นสารสีและใช้พอลิไวนิลแอลกอฮอล์เป็นสารยึดจะเพิ่มขึ้นมากเมื่อเพิ่มปริมาณของซิลิกาเพียงเล็กน้อย โดยความหนืดจะขึ้นอยู่กับพันธะไฮโดรเจนระหว่างหมู่ไฮดรอกซิลของพอลิไวนิลแอลกอฮอล์ และหมู่ซิลิกอนของสารสี ร้อยละของของแข็งสูงสุดอยู่ที่ ร้อยละ 25 ถึงร้อยละ 30 ขึ้นอยู่กับชนิดของพอลิไวนิลแอลกอฮอล์และสัดส่วนของสารสีต่อสารยึด พอลิไวนิลแอลกอฮอล์ชนิดที่มีร้อยละการไฮโดรไลซิสสูง มีแนวโน้มจะให้ความหนืดสูงกว่าที่สัดส่วนของสารสีต่อสารยึดเท่ากัน

2.1.3.6 กำลังการยึดติดของพอลิไวนิลแอลกอฮอล์

แม้ว่าการใช้พอลิไวนิลแอลกอฮอล์ชนิดน้ำหนักโมเลกุลต่ำและเป็น Partially hydrolyzed จะสามารถใช้เตรียมสารเคลือบที่ร้อยละของแข็งสูง ๆ ได้แต่มีความแข็งแรงต่อการยึดติดสารสีซิลิกาต่ำเมื่อเทียบกับพอลิไวนิลแอลกอฮอล์ที่มีน้ำหนักโมเลกุลปานกลาง ด้วยเหตุนี้หากใช้พอลิไวนิลแอลกอฮอล์น้ำหนักโมเลกุลต่ำจำเป็นต้องเพิ่มสัดส่วนของพอลิไวนิลแอลกอฮอล์ให้มากขึ้นเพื่อป้องกันการเกิดฝุ่นของซิลิกาจากพื้นผิวของแผ่นกระดาษ

2.1.4 การบอกรีเมทิลเซลลูโลส (ซีเอ็มซี)

การบอกรีเมทิลเซลลูโลสเป็นสารในกลุ่มเซลลูโลสอีเทอร์ ซึ่งเป็นอนุพันธ์ของเซลลูโลสที่จัดว่าเป็นพอลิเมอร์ละลายน้ำได้ มีการผลิตขึ้นโดยใช้เซลลูโลสเป็นสารตั้งต้น และจำแนกไปตามชนิดของการแทนที่ค่า Degree of substitution (D.S) โครงสร้างทางกายภาพ ความหนืด และพฤติกรรมการละลาย เซลลูโลสอีเทอร์ที่มีการผลิตและจัดจำหน่ายอยู่ทั่วไปมีหลายชนิดที่สำคัญมากตัวหนึ่งคือ ซีเอ็มซี(5) โดยขั้นตอนการผลิตจะถูกแบ่งออกเป็น 2 เกรด คือ เกรดบริสุทธิ์กับเกรดทางเทคนิค ซีเอ็มซีสามารถสังเคราะห์ขึ้นได้จากการทำปฏิกิริยาระหว่างเยื่อเซลลูโลสที่มีอัลฟาเซลลูโลสอยู่ในปริมาณสูงกับ etherifying agent ในภาวะที่มีด่าง

2.1.4.1 สมบัติของซีเอ็มซี

2.1.4.1.1 การละลาย

ซีเอ็มซีสามารถละลายได้ทั้งในน้ำร้อนและน้ำเย็น ไม่ละลายในตัวทำละลายอินทรีย์แต่จะละลายในตัวทำละลายผสมระหว่างน้ำกับตัวทำละลายอินทรีย์ที่เข้ากับน้ำได้เช่น เอทานอล อะซีโตน ปิ๊จยที่มีผลต่อความสามารถของซีเอ็มซีได้แก่

- 1) ขนาดของอนุภาค ถ้าอนุภาคมีขนาดใหญ่จะทำให้ละลายได้ช้า การกระจายตัวในน้ำจะมีลักษณะเป็นเม็ดเล็กๆ อนุภาคที่มีขนาดเล็กหรือมีความละเอียดมากขึ้นจะช่วยประหยัดเวลาในการเตรียมสารละลาย
- 2) โครงสร้างทางเคมี ถ้ามีค่า D.S. สูงจะสามารถละลายได้เร็วและถ้าน้ำหนักโมเลกุลต่ำ อัตราการละลายจะเร็วกว่า

2.1.4.1.2 ความหนืด

สารละลายซีเอ็มซีมีลักษณะใสและหนืด โดยมีพฤติกรรมการไหลเป็นแบบนอน-นิวโตเนียน คือค่าความหนืดจะเปลี่ยนไปเมื่อเปลี่ยนอัตราเฉือน (Shear rate) ซึ่งค่าความหนืดของสารละลายที่วัดได้นั้น จะขึ้นอยู่กับอิทธิพลปิ๊จยต่อไปนี้

- 1) ค่า D.P. (Degree of polymerization) ของเซลลูโลสโดยปกติมีค่าประมาณ 5,000 ยิ่งเซลลูโลสมีค่า D.P. สูง ความหนืดของซีเอ็มซีจะยิ่งสูง

สูงขึ้น

- 2) ความเข้มข้น เมื่อสารละลายมีความเข้มข้นมากขึ้นค่าความหนืดจะสูงขึ้น
- 3) อุณหภูมิ ที่อุณหภูมิสูงขึ้นความหนืดของสารละลายจะมีแนวโน้มลดลง ทั้งนี้การเพิ่มหรือลดอุณหภูมิจะไม่มีผลอย่างถาวรต่อลักษณะของสารละลาย แต่การให้ความร้อนที่อุณหภูมิสูงแก่สารละลายเป็นเวลานานอาจทำลายโครงสร้างของซีเอ็มซี และทำให้ความหนืดของสารละลายลดลงได้
- 4) ความเป็นกรด-เบส สารละลายซีเอ็มซีจะมีเสถียรภาพและมีความหนืดสูงที่สุดที่ pH ระหว่าง 7-9 ถ้า pH ต่ำกว่า 4 ซีเอ็มซีที่อยู่ในรูปของกรโคอิสระซึ่งละลายน้ำได้น้อยจะมากขึ้นและทำให้ค่าความหนืดสูงขึ้น แต่ที่ pH มากกว่า 10 พบว่าค่าความหนืดจะลดลงเล็กน้อย
- 5) การใช้ตัวทำละลายผสม เมื่อใช้ตัวทำละลายผสม เช่น กลีเซอรอล-น้ำ สำหรับการเตรียมสารละลายซีเอ็มซีที่มีค่า D.S. สูงพบว่าความหนืดของตัวทำละลายจะมีผลต่อความหนืดของสารละลายด้วย เช่น สารละลายซีเอ็มซีที่ใช้ตัวทำละลายผสมกลีเซอรอล-น้ำ ในอัตราส่วน 60:40 จะมีความหนืดเป็น 10 เท่าของสารละลายซีเอ็มซีในน้ำ

2.1.4.1.3 เสถียรภาพ (Stability)

แม้ว่าสารละลายซีเอ็มซีจะมีเสถียรภาพดีกว่ากาวชนิดอื่นๆ ที่ละลายน้ำได้ แต่สมบัติโดยเฉพาะอย่างยิ่งความหนืดก็อาจถูกทำลายได้ เนื่องจากการย่อยสลายด้วยเอนไซม์ เซลลูเลสจากจุลินทรีย์ อุณหภูมิ ความเป็นกรด-เบส ออกซิเจน เป็นต้น

2.1.4.1.4 ความสามารถในการเกิดฟิล์ม

ซีเอ็มซีสามารถเกิดเป็นฟิล์มแข็งแรง และมีความทนทานต่อน้ำมัน โดยฟิล์มซีเอ็มซีจะไม่ทำปฏิกิริยากับน้ำมัน ไขมัน และตัวทำละลายอินทรีย์

2.1.4.1.5 ความปลอดภัยต่อสิ่งมีชีวิต

จากการศึกษาทางด้านพิษวิทยา ไม่พบว่าซีเอ็มซีเป็นพิษต่อร่างกายมนุษย์และสัตว์รวมทั้งมีผลกระทบต่อระบบนิเวศน้อยที่สุด

ตัวอย่างคุณลักษณะของซีเอ็มซีที่มีการผลิตขึ้นเพื่อจำหน่ายสู่อุตสาหกรรมได้แสดงไว้ในตารางที่ 2.5

ตารางที่ 2.5 คุณลักษณะของซีเอ็มซีสำหรับการประยุกต์ในงานต่างๆ (Thai Cellulose Products Ltd.)

Character Type	ร้อยละ ความบริสุทธิ์	D.S.	ช่วงความหนืด (mPa.s)	ความเป็นกรด-เบส	ความชื้น (% ,max)
D	50-72	0.45-0.70	10-50	7-10	8
W	60-98	0.14-1.40	10-500	9-11	8
T	80-98	0.14-1.40	10-3000	6-8	8
F	99.5	0.45-1.40	10-4500	6-8	8
P	99.5	0.45-1.40	10-4500	6-8	8

หมายเหตุ D สำหรับอุตสาหกรรม ชักกรีต สารชักฟอก
 W สำหรับอุตสาหกรรม การขูดเจาะน้ำมัน
 T สำหรับอุตสาหกรรม สิ่งทอ สี เซรามิก กาว
 F สำหรับอุตสาหกรรม อาหาร เครื่องดื่ม ไอศกรีม และผลิตภัณฑ์ขนม
 P สำหรับอุตสาหกรรม ยา และเครื่องสำอาง

สถาบันวิทยบริการ
 จุฬาลงกรณ์มหาวิทยาลัย

2.1.5 สารเคลือบกระดาษพิมพ์อิงค์เจ็ต (Ink jet coating)

2.1.5.1 สูตรนำยาสารเคลือบกระดาษอิงค์เจ็ต

ในสูตรนำยาสารเคลือบประกอบด้วยส่วนประกอบหลักสำคัญ 3 ส่วน (6) คือ

1) สารสี (Pigment) เป็นองค์ประกอบหลักของนำยาเคลือบผิวกระดาษ มีสมบัติในการเพิ่มพื้นที่ผิวการพิมพ์ให้ดีขึ้น ทำให้กระดาษเรียบและรับหมึกได้ดี ทำให้เกิดความมันวาวและทำให้กระดาษขาว สารสีมีหลายชนิด ตัวอย่างเช่น แคลเซียมคาร์บอเนต ดินขาว ไทเทเนียมไดออกไซด์ (TiO_2) ผงสีที่นิยมใช้ในสูตรของนำยาสารเคลือบอิงค์เจ็ต เป็นผงสีประเภท จิลิกอาตัมฐาน

2) สารยึด (Binder) ทำหน้าที่ช่วยให้เกิดการยึดเกาะระหว่างสารสีกับสารสี และสารสีกับฐานกระดาษ เพื่อป้องกันปัญหาเรื่องฝุ่นบนกระดาษ (Dusting) นอกจากนี้สารยึดยังมีส่วนช่วยในด้านการดูดซึมสารละลายของหมึกพิมพ์ ซึ่งส่วนใหญ่เป็นระบบฐานน้ำ ทำให้คุณภาพของงานพิมพ์ดีขึ้น เช่น พอลิไวนิลอัลกอฮอล์ คาร์บอกซีเมทิลเซลลูโลส ปกติแล้วสารตัวนี้จะถูกใช้เป็นสารยึดร่วม (Co-binder) เพื่อเพิ่มการยึดติดได้ดีขึ้น

3) สารเติมแต่ง (Additive) เป็นสารเติมแต่งที่ช่วยให้สารเคลือบผิวมีสมบัติดีขึ้น เหมาะสำหรับการเคลือบผิวกระดาษมากยิ่งขึ้น

3.1) สารช่วยกระจาย (Dispersant) ช่วยให้สารสีกระจายตัวไม่จับกันเป็นก้อนเป็นสารจำพวก โซเดียมพอลิอะคริเลต เดคระโซเดียมพอลิฟอสเฟสเฟด เป็นต้น

3.2) สารปรับความหนืด (Viscosity modifier) สารปรับความหนืด ทำหน้าที่ชะลอหรือเพิ่มความหนืดของสารเคลือบผิว โดยพิจารณาจากความเร็วของเครื่องเคลือบผิว

3.3) สารหล่อลื่น (Lubricant) ใช้เพื่อปรับสมบัติการไหลของสารเคลือบ และควบคุมอุณหภูมิในระหว่างการกวน ช่วยในเรื่องของความเรียบและป้องกันการแตกหักของชั้นเคลือบผิวเมื่อแห้งอ รวมทั้งช่วยให้สภาพการเดินกระดาษคล่องตัวขึ้น ส่วนใหญ่เป็นสารพวก แคลเซียมสเตียเรต พอลิเอทิลีนอิมัลชัน เป็นต้น

3.4) สารกั้นน้ำ (Crosslinker or insolubilizer) ที่ใช้กันอย่างแพร่หลาย ได้แก่สารจำพวก ยูเรียฟอมาลดีไฮด์เรซิน แอม โมเนียมเซอร์โคเนียมคาร์บอเนต เป็นต้น

3.5) สารช่วยป้องกันเชื้อแบคทีเรียหรือเชื้อรา (Biocide or biostat) เช่น อัลดีไฮด์ เป็นต้น

3.6) สารควบคุมค่าความเป็นกรด-เบส (pH control)

3.7) สารเพิ่มความขาวสว่าง (Optical brighteners) ช่วยดูดซับแสงยูวีและเพิ่มความขาวสว่างของสารเคลือบผิว

3.8) สีย้อม (Dye) ใช้เพื่อให้สังเกตด้านเคลือบผิวได้ชัดเจน

3.9) สารลดฟอง (Defoamer) ใช้เพื่อยับยั้งหรือป้องกันไม่ให้เกิดฟองในสารเคลือบในขณะกวน

2.1.5.2 ผลของสูตรน้ำยาสารเคลือบที่มีต่อสมบัติกระดาษเคลือบผิว

สมบัติของกระดาษที่เคลือบผิวด้วยสารสี ขึ้นกับสารเคลือบโดยตรงซึ่งสารเคลือบที่มีสารสีเป็นส่วนประกอบนี้จะช่วยปรับปรุงสมบัติเชิงแสง ช่วยในกระบวนการสุดท้ายในการในการปรับแต่งกระดาษเคลือบผิว และสภาพพิมพ์ได้ สมบัติเชิงแสง เช่น ความขาวสว่างและความทึบแสง ขณะที่การเคลือบเงาช่วยปรับปรุงค่าความมันวาวและความเรียบ และสภาพพิมพ์ได้เกี่ยวข้องกับ การต้านทานการถลอกผิว ความสามารถในการรับหมึก และการอุ้มน้ำ ส่วนความสามารถในการหยุดตัวของกระดาษและความพรุนของอนุภาคสารสี ขึ้นกับวัตถุดิบที่เตรียมได้ (Raw stock) มากกว่าสมบัติของสารเคลือบ(3)

2.1.5.2.1 สมบัติเชิงแสงของกระดาษเคลือบผิว

ความขาวสว่างและความทึบแสง ขึ้นกับสมบัติของสารสีและสารยึดและสภาวะในการเตรียมสารเคลือบ สมบัติของสารสีได้แก่ ความขาวสว่าง ครรชนีหักเห รูปร่างของอนุภาคและการกระจายตัวของขนาดอนุภาค ความถ่วงจำเพาะและการทำปฏิกิริยาที่ผิวสารสี

ความทึบแสงสัมพันธ์กับค่าครรชนีหักเหที่แตกต่างกันระหว่างสารสีและสารยึดที่สารสีกระจายตัวอยู่ สารสีที่มีค่าครรชนีหักเหสูงจะให้ค่าความทึบแสงสูง

รูปร่างอนุภาค ขนาดอนุภาคและการกระจายตัวของขนาดอนุภาคของสารสี มีอิทธิพลต่อการจัดเรียงตัวของอนุภาคและความเข้มข้น โดยปริมาตรของสารสีในชั้นสารเคลือบผิว การจัดเรียงตัวของสารสีกับปริมาตรและขนาดของช่องว่างระหว่างอนุภาคเป็นปัจจัย

กำหนดค่าสัมประสิทธิ์การกระเจิงแสง (Scattering coefficient) และความทึบแสงของสารสี การจัดเรียงตัวและช่องว่างของอนุภาคที่เหมาะสมนั้นเกิดขึ้นได้ยาก การกระจายตัวของสารสีที่เหมาะสมทำได้โดยการใช้สารยึดยีน้อยลง ใช้ปริมาณของแข็งสูงและให้มีการเคลื่อนที่ของสารเคลือบอย่างช้า ๆ สิ่งเหล่านี้เป็นปัจจัยที่มีอิทธิพลอย่างมากต่อการจัดเรียงตัวของอนุภาคในชั้นสารเคลือบ การทำปฏิกิริยาที่ผิวสารสีเป็นตัวกำหนดความแข็งแรงและความหนาของ Double layer รอบอนุภาคสารสีและมีผลต่อช่องว่างอนุภาค โดยสารเคลือบที่มีช่องว่างระหว่างอนุภาคใหญ่ จะให้ความทึบแสงและสภาพพิมพ์ได้ดี

การใช้สารสีหลายชนิดร่วมกันทำให้เกิดการปรับการกระจายตัวของขนาดอนุภาค เช่นเดียวกับสมบัติทางเคมีและรูปร่างของอนุภาค

2.1.5.2.2 สภาพพิมพ์ได้ของกระดาษเคลือบผิว

สารสีในสารเคลือบเป็นปัจจัยสำคัญในการควบคุมสภาพพิมพ์ได้ สารสีต้องเปียกผิวโดยหมึกพิมพ์ได้ง่าย และชั้นของสารสีต้องมีรูพรุนเพียงพอในการดูดซึมหมึกพิมพ์ได้รวดเร็ว การเซ็ดตัวของหมึกพิมพ์อย่างรวดเร็วนั้นชั้นของสารเคลือบต้องไม่ดูดซึมหมึกมากเกินไป เพราะจะทำให้ความมันวาวของชั้นหมึกพิมพ์ลดลงแก้ไขโดยการใช้ปริมาณหมึกพิมพ์ให้มากขึ้น แต่อาจเกิดการซึมทะลุของหมึกพิมพ์ไปอีกด้านของกระดาษได้ ปัญหานี้แก้ไขได้โดยใช้สารสีที่เป็นดินขาว การเพิ่มความสามารถในการรับหมึก ทำได้โดยการใส่แคลเซียมคาร์บอเนตหรือไทเทเนียมไดออกไซด์ ลงไปในสารเคลือบทำให้เกิดโครงสร้างรูพรุนมากขึ้น การเลือกสารสีและสารยึดยีนที่เหมาะสมก็จะสามารถผลิตสารเคลือบที่เหมาะสมกับการพิมพ์ทุกระบบได้

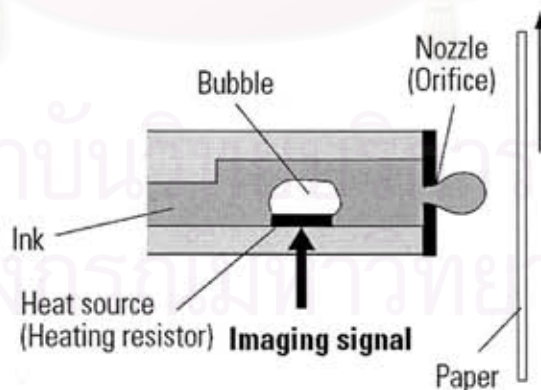
สถาบันวิทยบริการ
จุฬาลงกรณ์มหาวิทยาลัย

2.1.6 การพิมพ์อิงค์เจ็ท (Ink jet printing)

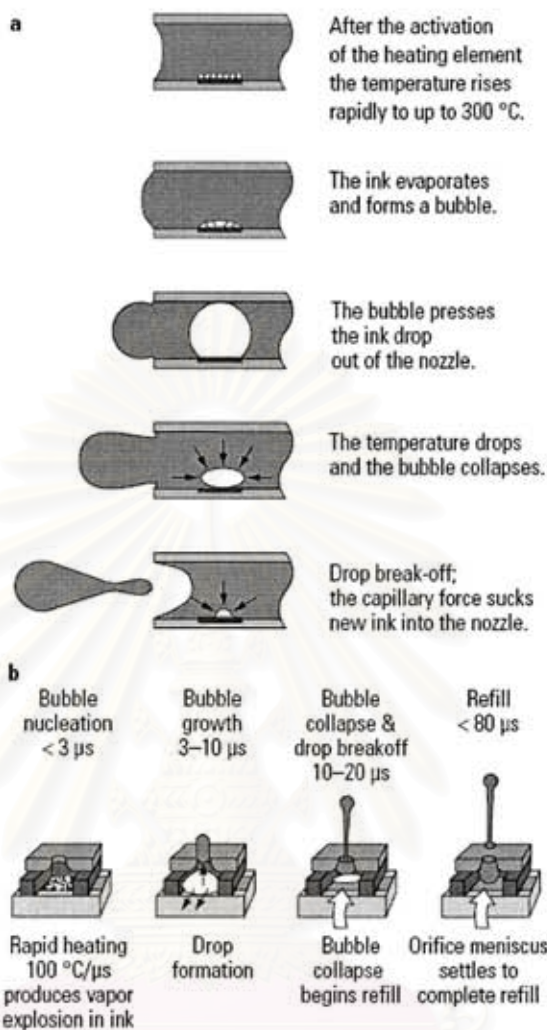
การพิมพ์อิงค์เจ็ทเป็นการพิมพ์ดิจิทัลระบบไร้สัมผัส (Non-impact printing) ซึ่งหมึกพิมพ์จะถูกพ่นออกจากหัวฉีด(Nozzle) อย่างต่อเนื่องและรวดเร็วลงบนวัสดุพิมพ์ที่ควบคุมโดยคอมพิวเตอร์(7)

เครื่องพิมพ์อิงค์เจ็ทสร้างภาพโดยการแทนที่หยดหมึกไปบนกระดาษ หยดหมึกเหล่านี้มีขนาดเล็กมาก โดยเส้นผ่านศูนย์กลางของหยดหมึกมีขนาดเล็กกว่าเส้นผมของมนุษย์ จำนวนหยดหมึกเป็นตัวกำหนดความละเอียดและคุณภาพของภาพ จำนวนหยดหมึกต่อนิ้ว (dpi) ที่ดีย่อมส่งผลต่อความละเอียดและคุณภาพของภาพพิมพ์ที่สูงด้วย ตัวอย่างเช่น ความละเอียด 720x720 dpi ควรสร้างด้วยเม็ดสกรีนของหมึก 518,400 เม็ด บนพื้นที่ 1 ตารางนิ้วบนกระดาษ

เครื่องพิมพ์ของ Cannon และ HP ในรูปที่ 2.9 ใช้เทคโนโลยีพ่นหมึกด้วยความร้อน(Thermal Inkjet) มีการทำงานโดยให้ความร้อนในท่อของหัวพิมพ์จนกระทั่งหมึกเกิดเป็นฟองอากาศเมื่อฟองอากาศขยายขนาดขึ้น หมึกจะถูกแทนที่และมีแรงมากพอที่หมึกจะถูกพ่นผ่านหัวฉีดขนาดเล็กไปสู่กระดาษ จากนั้นอุณหภูมิจะลดลงทำให้ฟองอากาศหดตัวลงเป็นผลให้หมึกใหม่เข้ามาแทนที่และเมื่อร้อนขึ้นก็จะเข้าสู่กระบวนการเดิมทำให้มีหยดหมึกไหลออกมาได้อย่างต่อเนื่อง ดังแสดงในรูปที่ 2.10 หัวพิมพ์ระบบพ่นหมึกด้วยความร้อนสามารถมีหัวพิมพ์ได้มากถึง 600 หัว



รูปที่ 2.9 เทคโนโลยีพ่นหมึกด้วยความร้อน



รูปที่ 2.10 การสร้างหยดหมึกของ Thermal Inkjet (a) เครื่องพิมพ์ของ Canon (b) เครื่องพิมพ์ของ HP

สถาบันวิทยบริการ
จุฬาลงกรณ์มหาวิทยาลัย

2.1.7 สมบัติทางกายภาพของกระดาษเคลือบผิว

2.1.7.1 ความขาวสว่าง (Brightness)

สารสีที่อยู่ในสารเคลือบมีผลต่อความขาวสว่างเพราะอนุภาคสารสีจะไปทำให้เกิดการกระเจิงของแสง การกระเจิงแสงที่เกิดขึ้นนี้ เป็นผลที่เกิดจากการสะท้อนและการหักเหของแสงที่ตกกระทบสารเคลือบ เส้นใยเซลลูโลสและสารเติมแต่ง ความขาวสว่างของกระดาษวัดได้จากค่าการสะท้อนแสงโดยรวม (Total reflectance of light) ที่ตกลงบนกระดาษ ในอุตสาหกรรมทำกระดาษจะวัดความขาวสว่างที่มุมแสงตกกระทบ 45° และมุมรับแสงสะท้อนที่ 0° ทำมุมกับเส้นตั้งฉาก และค่าความขาวสว่างคือค่าการสะท้อนที่ความยาวคลื่น 457 นาโนเมตรตามมาตรฐาน Tappi (T452 : Tappi Brightness)

2.1.7.2 ความขาว (Whiteness)

ความขาว (Whiteness) แตกต่างจากความขาวสว่าง (Brightness) คือค่าความขาวเป็นการรวมเข้าไว้ทั้งหมดของค่าการสะท้อนแสงตลอดช่วงความยาวคลื่นที่มองเห็นทั้งหมด คือ 400-700 นาโนเมตร การใช้ค่าความขาวเพียงค่าเดียว เช่นดัชนีความขาว ในการเปรียบเทียบความขาวของวัตถุ จะมีความสะดวกกว่า การใช้ค่าการสะท้อนแสงตลอด 400 700 นาโนเมตร แต่วัตถุที่นำมาเปรียบเทียบโดยใช้ค่าดัชนีความขาวนั้น ควรมีความมันวาว ลักษณะของผิวหน้าและสมบัติทางกายภาพอื่นๆ ที่ใกล้เคียงกัน และมีสีใกล้เคียงกับค่าความขาวเพราะการนำวัตถุที่มีสีอื่นมาแทนค่าดัชนีความขาวนั้นจะไม่มีมีความหมายใด ๆ ดัชนีความขาวที่ใช้กับกระดาษได้แก่ ดัชนีความขาวที่กำหนดโดย ASTM (E313-73) ที่ใช้แหล่งกำเนิดแสงชนิด C มุมผู้สังเกตมาตรฐานที่ 2 องศา ซึ่งมีสมการดังนี้

$$WI E313 = 4Z - 3Y$$

โดยที่ Z และ Y คือ ค่า ไตรสติมูลัส ($C/2^{\circ}$ มี $X_n = 0.3101$ และ $Y_n = 0.3162$)

2.1.7.3 ความเรียบ (Smoothness)

สมบัติเชิงฟิสิกส์อื่นที่มีผลต่องานพิมพ์ก็คือความเรียบ ซึ่งเป็นลักษณะที่สัมพันธ์กับความสม่ำเสมอของเนื้อกระดาษ กระดาษที่มีความเรียบมากจะส่งผลต่อความละเอียดของงานพิมพ์ที่สูงขึ้นดังนั้นกระดาษชนิดความมันวาวสูงจะมีความเรียบสูง แต่กระดาษที่มีความเรียบสูงไม่จำเป็นจะต้องมีความมันวาวสูง

2.1.8 คุณภาพงานพิมพ์

การทดสอบสมบัติกระดาษก่อนพิมพ์และคุณภาพงานพิมพ์เป็นปัจจัยสำคัญต่อการควบคุมคุณภาพงานพิมพ์และทำให้ทราบสาเหตุของงานพิมพ์ที่ไม่ได้คุณภาพอันเนื่องมาจากสมบัติของสารเคลือบบนกระดาษและสามารถแก้ไขได้อย่างถูกต้อง

2.1.8.1 ความดำของหมึกพิมพ์ (Ink density)

ค่าความดำของหมึกพิมพ์เป็นผลมาจากปรากฏการณ์เชิงแสง คือ การสะท้อน การดูดกลืนและการหักเหของแสง การวัดค่าความดำคือ การวัดปริมาณของแสงที่สะท้อนจากงานพิมพ์ แล้วเปลี่ยนเป็นค่าความดำ ซึ่งปริมาณแสงที่สะท้อนดังกล่าวจะมากหรือน้อยขึ้นอยู่กับ การดูดกลืนแสงของชั้นหมึกพิมพ์ ถ้าปริมาณแสงสะท้อนน้อยจะวัดได้ค่าความดำมาก

2.1.8.2 การซึมเข้าหากันของหมึกพิมพ์ (Inter-color Bleed)

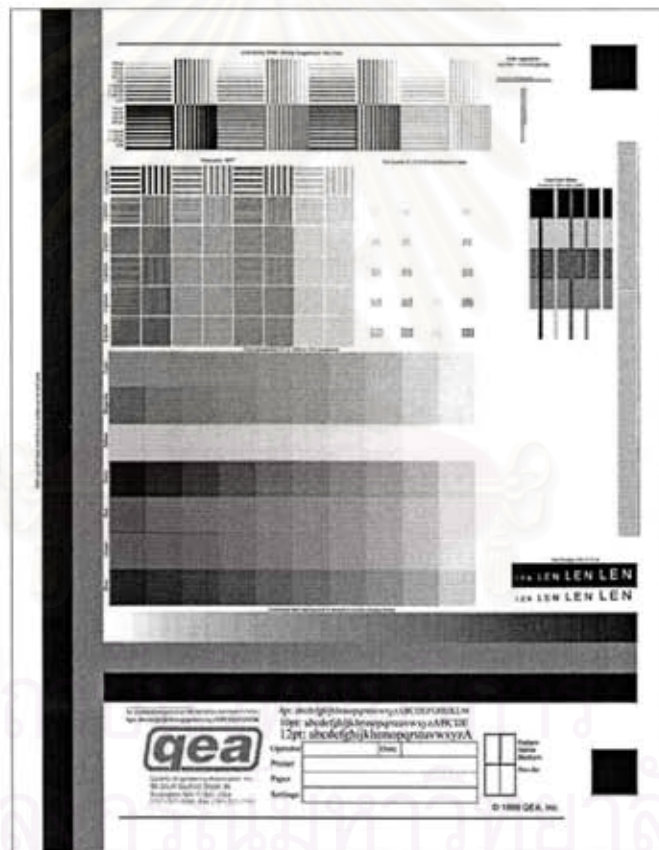
คือการซึมเข้าหากันของสี เป็นปัญหาที่สำคัญที่สุดปัญหาหนึ่งของการพิมพ์ระบบอิงค์เจ็ทที่มีต่อคุณภาพงานพิมพ์ พบมากในหมึกอิงค์เจ็ทระบบความร้อนฐานน้ำที่มีความหนืด 1-5 เซนติพอยส์ บริเวณที่สามารถสังเกตเห็นได้ชัดที่สุดคือบริเวณสีดำบนพื้นสีเหลือง หรือบริเวณที่พิมพ์สีดำติดกับสีเหลือง ปรากฏการณ์นี้ขึ้นอยู่กับกระดาษที่ใช้พิมพ์มากที่สุด และสามารถแก้ไขหรือลดปัญหาลงได้โดยใช้กระดาษที่มีการเคลือบผิวพิเศษ หรือโดยใช้การพิมพ์ที่มีการทำให้หมึกแห้งตัวก่อนพิมพ์สีถัดไป หรืออาจใช้หมึกพิมพ์ที่แห้งตัวเร็วภายใน 1 วินาทีหรือน้อยกว่านั้น ก่อนที่หมึกจะซึมเข้ามาสวมกัน การวัดการซึมเข้าหากันของหมึกพิมพ์จะทำการวัดเส้นสีดำบนพื้นเหลือง หากความกว้างของเส้นที่พิมพ์มากกว่าความกว้างของเส้นดันทันฉบับมาก ร้อยละของการซึมเข้าหากันของสีจะมีค่าสูง

$$\% \text{ การซึมเข้าหากันของหมึก} = \frac{\text{ขนาดของเส้นที่ผลิตได้} - \text{ขนาดของเส้นดันทันฉบับ}}{\text{ขนาดของเส้นดันทันฉบับ}} \times 100$$

จุฬาลงกรณ์มหาวิทยาลัย

2.1.9 Test target

การตัดสินใจของผู้บริโภค ในการซื้อเครื่องพิมพ์ หมึกพิมพ์ โทเนอร์หรือวัสดุพิมพ์ มักพิจารณาจากความพอใจ แต่เกณฑ์ที่ขึ้นอยู่กับตัวบุคคลมีความไม่แน่นอน จึงไม่เพียงพอต่อการนำมาใช้เป็นเครื่องมือในการประเมินคุณภาพ ดังนั้นจึงมีผู้ผลิตเครื่องมือที่เรียกว่า “Test target” ดังแสดงในรูปที่ 2.14 ขึ้นมาสำหรับการวิเคราะห์คุณภาพงานพิมพ์ ซึ่งให้ความคงที่ น่าเชื่อถือ มีประสิทธิภาพ เครื่องมือสำหรับใช้วัดคุณภาพงานพิมพ์ประกอบด้วย บริเวณสำหรับพิมพ์เม็ดสกรีน บริเวณพื้นตาย บริเวณความละเอียดของเส้น บริเวณขนาดเม็ดสกรีน บริเวณ Inter-color bleeding บริเวณการผลิตน้ำหมึกสีเทา และบริเวณความคมชัดของตัวอักษร ลักษณะคุณภาพงานพิมพ์พื้นฐานที่สามารถวัดหรือสังเกตได้จาก Test target สามารถแสดงได้ดังตารางที่ 2.6



รูปที่ 2.11 QEA test target สำหรับวิเคราะห์คุณภาพงานพิมพ์

ตารางที่ 2.6 ลักษณะคุณภาพงานพิมพ์พื้นฐาน

ส่วนประกอบของภาพ	ลักษณะของภาพ
เม็ดสกรีน	<ul style="list-style-type: none"> - ตำแหน่งของเม็ดสกรีน (Dot location) - เม็ดสกรีนบวม (Dot gain) - รูปร่างเม็ดสกรีน (Dot shape) - รอยหยักบริเวณขอบ (Edge raggedness) - การเกิดเม็ดสกรีนรูปร่างคล้ายดาวหาง (Satellite)
เส้น	<ul style="list-style-type: none"> - ความกว้างของเส้น (Line wide) - ความคมชัดบริเวณขอบ (Edge sharpness) - รอยหยักบริเวณขอบ (Edge raggedness) - ความละเอียด (Resolution)(ค่ากำลังแยก MTF)
บริเวณพื้นด้าย	<ul style="list-style-type: none"> - ค่าความดำเชิงแสง (Optical density) (การผลิตน้ำหมึกสีของภาพ) - สี (ความอิ่มตัวสีส้น) - สัญญาณรบกวน (Noise) - ความหยาบละเอียด (Graininess) - รอยกระดำกระด่าง (Mottle) - เงาเหลือมหลัง (Ghosting) - ความมันวาวของหมึกพิมพ์ (Ink gloss)

2.1.10 การออกแบบของผสม (Mixture Design)

สารเคลือบผิวคือของผสมที่มีความซับซ้อน ประกอบด้วย สารสี สารยึด ตัวทำละลายและสารเติมแต่ง การเปลี่ยนแปลงขององค์ประกอบใดในส่วนผสมจะส่งผลต่อการเปลี่ยนแปลงสมบัติของสารเคลือบ หากจะทำการประเมินผลกระทบขององค์ประกอบในสารเคลือบหรือของผสมต่อสมบัติต่างๆ นั้น จำเป็นต้องใช้เวลานานและใช้ตัวอย่างจำนวนมาก

การออกแบบของผสม (Mixture design) คือการรวมเทคนิคทางคณิตศาสตร์และสถิติมาใช้ในการสร้างแบบจำลองและวิเคราะห์ผลที่เกิดจากองค์ประกอบที่หลากหลาย และนอกจากนี้การออกแบบส่วนผสมยังใช้เพื่อหาสูตรที่เหมาะสม ที่ให้สมบัติที่ดีที่สุดสำหรับการผสมองค์ประกอบต่างๆ เหล่านั้น

การออกแบบของผสม (Mixture design) เป็นการใช้อย่างจำลองทางคณิตศาสตร์ ในการหาความสัมพันธ์ระหว่าง ตัวแปรตอบสนอง (Y) และตัวแปรอิสระ (X) อีกทั้งหาผิวหน้ากราฟแสดงความสัมพันธ์ระหว่าง Y และ X สำหรับในการทดลองนี้จะหมายถึง ค่าความค้ำของสีค่า หรือค่าความขาว หรือร้อยละการซึมเข้าหากันของหมึกพิมพ์สีค่าในสีเหลือง และกลุ่มของตัวแปรอิสระ (X) สำหรับในการทดลองนี้จะหมายถึงสัดส่วนขององค์ประกอบสำคัญในสารเคลือบ ได้แก่ จิลิกา ดินขาวนราธิวาส และ พอลิไวนิลแอลกอฮอล์ ซึ่งแบบจำลองทางคณิตศาสตร์ในการออกแบบการทดลองมีด้วยกันอยู่หลายรูป ได้แก่ ลิเนียร์ (Linear)(สมการ2.1), ควอดราติก (Quadratic)(สมการ2.2), ฟูลคิวบิก (Full Cubic)(สมการ2.3) และ สเปนเชียล คิวบิก (Special Cubic)(สมการ2.4)

$$E(y) = \sum_{i=1}^p \beta_i x_i \quad (2.1)$$

$$E(y) = \sum_{i=1}^p \beta_i x_i + \sum_{i < j} \beta_{ij} x_i x_j \quad (2.2)$$

$$E(y) = \sum_{i=1}^p \beta_i x_i + \sum_{i < j} \beta_{ij} x_i x_j \quad (2.3)$$

$$+ \sum_{i < j} \delta_{ij} x_i x_j (x_i - x_j)$$

$$+ \sum_{i < j < k} \beta_{ijk} x_i x_j x_k$$

$$E(y) = \sum_{i=1}^p \beta_i x_i + \sum_{i < j} \beta_{ij} x_i x_j \quad (2.4)$$

$$+ \sum_{i < j < k} \beta_{ijk} x_i x_j x_k$$

สำหรับแบบจำลองที่ใช้ในงานวิจัยนี้จะเป็นสมการควอดราติก (Quadratic)
สำหรับของผสม 3 องค์ประกอบ รูปแบบของสมการจะเป็น

$$Y = \beta_1 X_1 + \beta_2 X_2 + \beta_3 X_3 + \beta_{12} X_1 X_2 + \beta_{13} X_1 X_3 + \beta_{23} X_2 X_3 \quad \text{สมการที่(2.5)}$$

โดยสัมประสิทธิ์ร่วมสามารถคำนวณได้จาก

$$\begin{aligned} \beta_1 &= Y_1 \\ \beta_2 &= Y_2 \\ \beta_3 &= Y_3 \\ \beta_{12} &= 4Y_{12} - 2(Y_1 + Y_2) \\ \beta_{13} &= 4Y_{13} - 2(Y_1 + Y_3) \\ \beta_{23} &= 4Y_{23} - 2(Y_2 + Y_3) \end{aligned}$$

การออกแบบของผสม เป็นการ ใช้หลักสถิติในการวิเคราะห์ผลกระทบที่เกิดขึ้น
จากการเปลี่ยนแปลงสัดส่วนขององค์ประกอบในของผสม นั้น ตัวอย่างเช่น X_1, X_2, \dots, X_p เป็น
สัดส่วนต่าง ๆ ของ p องค์ประกอบในของผสม

โดยที่

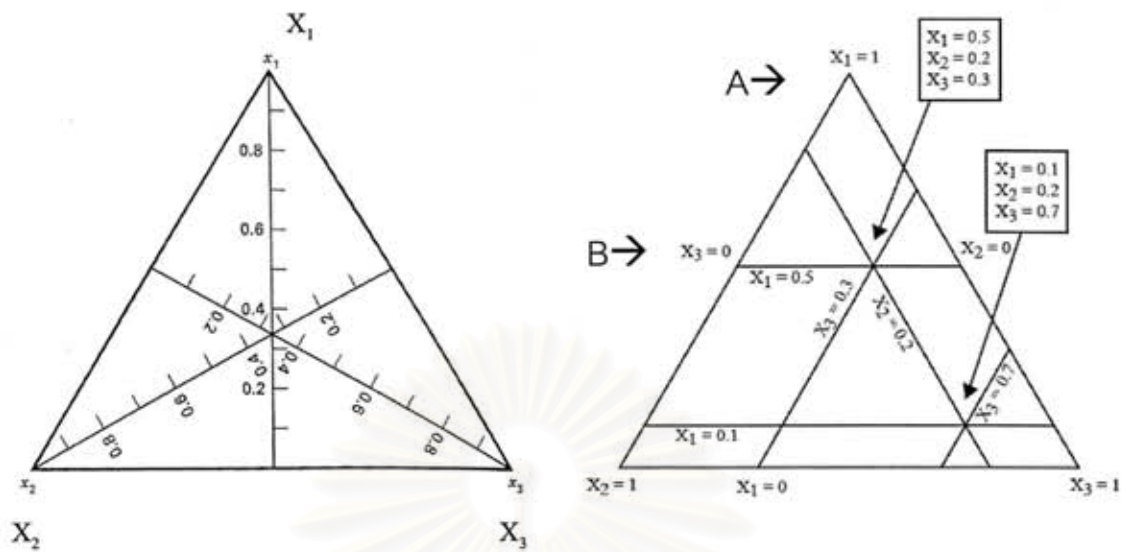
$$0 \leq X_i \leq 1 \quad i = 1, 2, \dots, p$$

และ

$$X_1 + X_2 + \dots + X_p = 1 \quad (\text{ร้อยละ 100})$$

สำหรับของผสมที่มี 3 องค์ประกอบสามารถแสดงได้ในรูปของไตรลิเนียร์
โคออร์ดิเนต (Trilinear co-ordinate) ดังแสดงในรูปที่ 2.15 X_1 คือองค์ประกอบที่ 1 X_2 คือ
องค์ประกอบที่ 2 X_3 คือองค์ประกอบที่ 3 ที่ตำแหน่งมุมแหลมของสามเหลี่ยมแทน องค์ประกอบ
หนึ่งที่ใช้ในของผสมนั้น และเป็นจุดที่มีองค์ประกอบนั้นในสัดส่วนเท่ากับ 1 และองค์ประกอบที่
เหลือเท่ากับ 0 เช่นที่จุด A มีสัดส่วนขององค์ประกอบ X_1, X_2 และ X_3 เป็น 1:0:0 ที่จุด B มีสัดส่วน
องค์ประกอบ X_1, X_2 และ X_3 เป็น 0.5 : 0.5 : 0 เป็นต้น

การออกแบบของผสมแบบซิมเพล็กซ์ (Simplex design) ได้นำมาใช้ในการศึกษาผล
ขององค์ประกอบในของผสมต่อสมบัติของของผสม

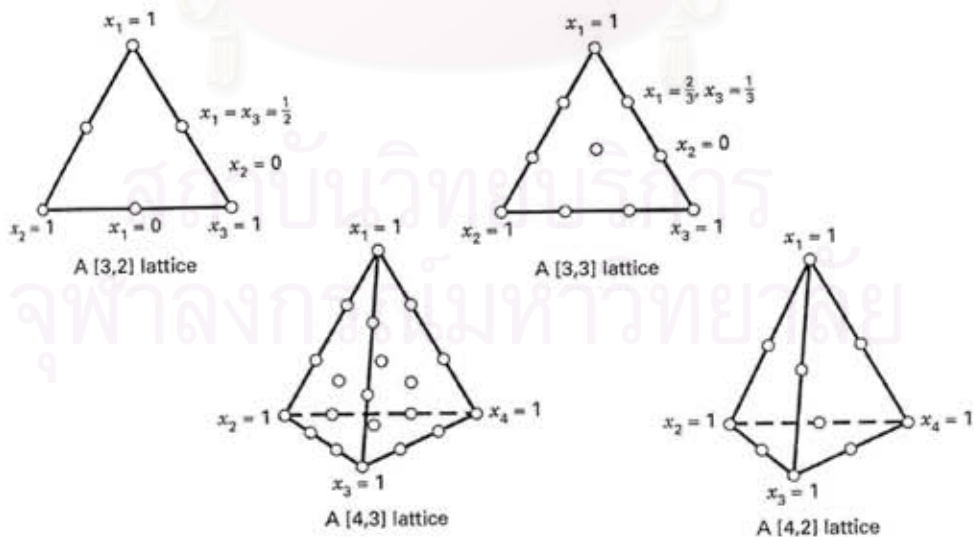


รูปที่ 2.12 ไตรลิเนียร์ โคออร์ดิเนต (Trilinear co-ordinate)

ในการออกแบบของผสมแบบซิมเพล็กซ์ สามารถแบ่งวิธีการออกแบบได้เป็น 2 ชนิด ได้แก่ การออกแบบแบบซิมเพล็กซ์แลตทิส (Simplex lattice design) และการออกแบบแบบซิมเพล็กซ์เซ็นทรอยด์ (Simplex centroid design)

การออกแบบแบบซิมเพล็กซ์แลตทิส (Simplex lattice design) มีรูปแบบของจุดโคออร์ดิเนตสำหรับ p องค์ประกอบและ m ระดับ, $\{p,m\}$ ดังแสดงในรูป 2.16

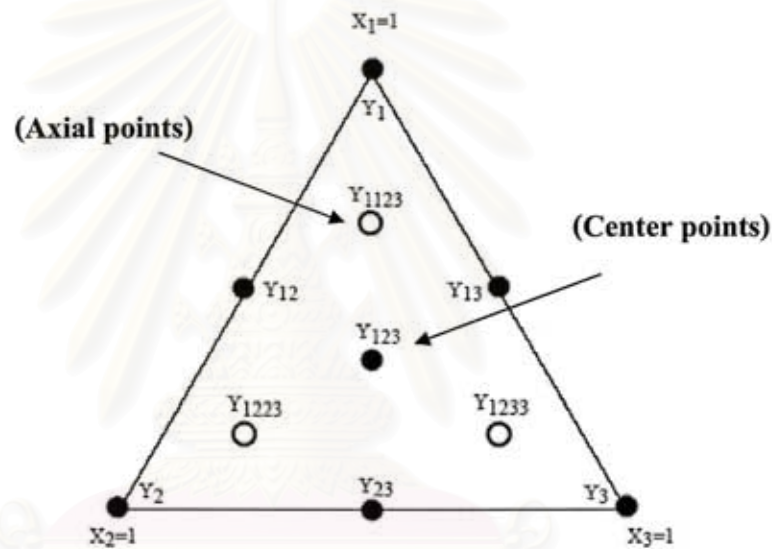
$$X_i = 0, 1/m, 2/m, \dots, 1 \quad i = 1, 2, \dots, p$$



รูปที่ 2.13 การออกแบบแบบซิมเพล็กซ์แลตทิสสำหรับ $p = 3$ และ $p = 4$ องค์ประกอบ

ตัวอย่างเช่น 3 องค์ประกอบ สองระดับแลตทิส ($A [3, 2]$ lattice) คือ การออกแบบแบบซิมเพิลิกแลตทิส ที่มีของผสม 3 องค์ประกอบมีการแบ่งช่วงของแต่ละองค์ประกอบออกเป็น 2 ระดับ ซึ่งจะประกอบด้วยของผสม 6 จุด ได้แก่ $(X_1, X_2, X_3) = (1, 0, 0), (0, 1, 0), (0, 0, 1), (1/2, 1/2, 0), (1/2, 0, 1/2)$ และ $(0, 1/2, 1/2)$

สำหรับงานวิจัยนี้ จะนำการออกแบบแบบซิมเพิลิกแลตทิส 2 ระดับที่รวมจุดโคออร์ดิเนตตรงศูนย์กลาง (center points) และจุดกึ่งกลางระหว่างจุดที่มุมและจุดตรงกลาง (axial points) ไว้ด้วย เพื่อให้การทำนายสมบัติสารเคลือบได้สมบูรณ์ขึ้น โดยจุด axial ซึ่งสามารถแสดงได้ดังรูปที่ 2.17 ซึ่งสัดส่วนของของผสมได้แสดงดังตารางที่ 2.7



รูปที่ 2.14 การออกแบบแบบซิมเพิลิกแลตทิส 2 ระดับที่รวมจุดโคออร์ดิเนตตรงศูนย์กลาง (center points) และจุดกึ่งกลางระหว่างจุดศูนย์กลางและจุดมุม (axial points)

สถาบันวิทยบริการ
จุฬาลงกรณ์มหาวิทยาลัย

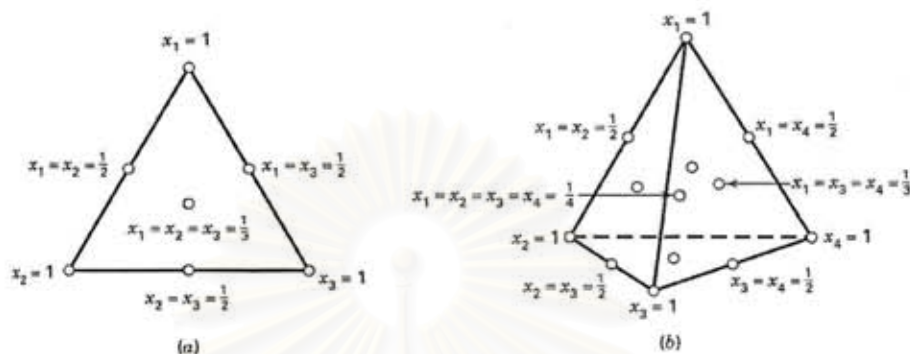
ตารางที่ 2.7 สัดส่วนของของผสมการออกแบบแบบซิมเพล็กซ์แลททิซ 2 ระดับ 3 องค์ประกอบ

ชุดของของผสม	X_1	X_2	X_3	ตัวแปรตอบสนอง
1	1	0	0	Y_1
2	0	1	0	Y_2
3	0	0	1	Y_3
4	1/2	1/2	0	Y_{12}
5	1/2	0	1/2	Y_{13}
6	0	1/2	1/2	Y_{23}
7	1/3	1/3	1/3	Y_{123}
8	2/3	1/6	1/6	Y_{1123}
9	1/6	2/3	1/6	Y_{1223}
10	1/6	1/6	2/3	Y_{1233}

โดยทั่วไปหากใช้การผสมตามสูตรในตารางที่ 2.4 อาจจะทำการทดลองสูตร 1 ถึง 7 ก่อนแล้ว หลังจากได้วัดค่าตัวแปรตอบสนองที่ได้จากแต่ละสูตรแล้วจะได้แบบจำลองแสดงความสัมพันธ์ระหว่างตัวแปรตอบสนองและตัวแปรอิสระตามสมการที่ 2.5 (ถ้าใช้สมการควอดราติก) และเพื่อตรวจสอบความผิดพลาดจึงทำการตรวจสอบแบบจำลองโดยทำการทดลองโดยใช้สูตร 7, 8 และ 9 (axial points) ว่าค่าตัวแปรตอบสนองที่ได้จากการทดลองสอดคล้องกับค่าที่คำนวณได้จากสมการหรือไม่

สถาบันวิทยบริการ
จุฬาลงกรณ์มหาวิทยาลัย

สำหรับ p องค์ประกอบของการออกแบบแบบซิมเพล็กซ์เซนทรอยด์ (Simplex centroid design) จะมีจำนวนจุดในแบบจำลองเป็น 2^p-1 จุด ซึ่งระดับของการแบ่งจุดจะเท่ากับ $1, 1/2, 1/3, \dots, 1/p$ ดังแสดงในรูป 2.18



รูปที่ 2.15 การออกแบบแบบซิมเพล็กซ์เซนทรอยด์ (Simplex centroid design) สำหรับ 3 องค์ประกอบ (a) และ 4 องค์ประกอบ (b)

ในการทดลองหาสูตรที่เหมาะสม หากสมบัติที่สนใจมีมากกว่า 1 ชนิด จำเป็นต้องหาสูตรที่เหมาะสมที่ให้สมบัติที่สนใจเหล่านั้นมีค่ายอมรับได้ ในการคำนวณหาค่าตัวแปรอิสระ (X_i) จากแบบจำลอง 3 สมการซึ่งในงานวิจัยนี้ได้นำแบบจำลองของ ค่าความดำของหมึกพิมพ์สีดำ (Density) ค่าร้อยละการซึมเข้าหากันของหมึกสีดำในสีเหลือง (Inter-color bleeding) และค่าความขาวของกระดาษ (Whiteness) มาใช้สำหรับคำนวณหาสูตรที่ดีที่สุด

$$\text{Density } (Y_1) = \beta_1 X_1 + \beta_2 X_2 + \beta_3 X_3 + \beta_{12} X_1 X_2 + \beta_{13} X_1 X_3 + \beta_{23} X_2 X_3$$

$$\text{Inter-color Bleeding } (Y_2) = \beta_1 X_1 + \beta_2 X_2 + \beta_3 X_3 + \beta_{12} X_1 X_2 + \beta_{13} X_1 X_3 + \beta_{23} X_2 X_3$$

$$\text{Whiteness } (Y_3) = \beta_1 X_1 + \beta_2 X_2 + \beta_3 X_3 + \beta_{12} X_1 X_2 + \beta_{13} X_1 X_3 + \beta_{23} X_2 X_3$$

จากทั้ง 3 แบบจำลองสามารถเขียนรูปแบบของสมการเป็นเมทริกได้คือ $A = [Y_1, Y_2, Y_3]^T$, $B = [\beta_1, \beta_2, \beta_3, \beta_{12}, \beta_{13}, \beta_{23}]$ และ $C = [X_1, X_2, X_3, X_1 X_2, X_1 X_3, X_2 X_3]^T$ ซึ่งสามารถแก้สมการหาค่าตัวแปรอิสระได้จากสูตร $C = A \cdot B^T [B \cdot B^T]^{-1}$

เอกสารและงานวิจัยที่เกี่ยวข้อง

อุทุมพร (8) ได้ทำการศึกษาซิลิกาที่ได้จากซีเถ้าแกลบซึ่งนำมาผลิตเป็นสารเคลือบผิวกระดาษพิมพ์อิงค์เจ็ทพบว่า กระดาษพิมพ์อิงค์เจ็ทที่ผลิตขึ้นให้คุณภาพงานพิมพ์เทียบเท่ากระดาษทางการค้าเพียงแต่ ค่าความค่าของหมึกพิมพ์ ยังมีค่าต่ำกว่ากระดาษทางการค้า และเมื่อทำการส่องขยายด้วยรูปผิวน้ำกระดาษเคลือบผิว ด้วยกล้องกำลังขยายสูงพบว่า กระดาษทางการค้ามีอนุภาคของสารสีที่มีขนาดและรูปร่างต่างกันอยู่จึงได้ให้ข้อเสนอแนะไว้ว่า อาจใช้สารสีอื่นใส่ลงไปควบคู่กับซิลิกาที่ได้จากซีเถ้าแกลบ โดยเฉพาะสารสีที่มีอนุภาคแบนและมีขนาดใหญ่ โดยสารสีนั้นต้องไม่มีรูพรุนภายในและมีผิวเรียบเพื่อป้องกันการซึมของหมึกมากเกินไป เช่น แคลเซียมคาร์บอเนตหรือไทเทเนียมไดออกไซด์ จะทำให้เกิด โครงสร้างรูพรุนมากขึ้น

Chapman (9) ทำการศึกษาสมบัติของซิลิกาสังเคราะห์อสัณฐาน พบว่าซิลิกามีระบบรูพรุน 2 แบบคือ รูพรุนระหว่างอนุภาค และรูพรุนภายในอนุภาค แบบหลังนี้ทำให้ซิลิกามีความสามารถในการรับหมึกสูง ขณะที่รูพรุนระหว่างอนุภาคของซิลิกาทำหน้าที่ยอมให้ของเหลวไหลผ่านจากพื้นผิวสารเคลือบอย่างรวดเร็วและมีความสามารถในการรับหมึกได้ สูตรสารเคลือบโดยทั่วไปจะมีซิลิกาเจลที่มีปริมาตรรูพรุนสูงจะใช้เวลาในการแห้งตัวสั้น สมบัติของซิลิกาสังเคราะห์อสัณฐานอีกประการหนึ่งคือ การแพร่ของหยดหมึกบนสารเคลือบ พบว่าขึ้นกับธรรมชาติทางเคมีของพื้นผิว (พลังงานผิว) ซึ่งสัมพันธ์กับแรงดึงผิวของหมึกพิมพ์และขึ้นกับปัจจัยอื่นที่สำคัญเช่น ความหยาบและรูพรุนของสารเคลือบ นอกจากนี้การกระจายตัวของขนาดอนุภาคซิลิกาก็เป็นปัจจัยที่ส่งผลต่อความหยาบของพื้นผิวด้วยสำหรับสารเคลือบที่มีรูพรุนสูง จะทำให้หมึกพิมพ์ดูดซึมได้รวดเร็วเป็นผลให้สารสีของหมึกพิมพ์คงอยู่ในบริเวณผิวของสารเคลือบ การดูดซับตัวทำละลายของหมึกพิมพ์ ทำให้สารสีในหมึกพิมพ์ถูกแยกอยู่ในบริเวณใกล้ผิวสารเคลือบ สุดท้ายขนาดอนุภาคของซิลิกายังมีผลต่อการปรากฏสีพื้นผิวและความความหยาบของพื้นผิวที่มีผลต่อความมันวาวภาพพิมพ์

Prakash, Malla และ Siva (10) ทำการทดลองโดยใช้ดินขาวที่มีอนุภาคเล็กขนาด 0.3 ไมโครเมตร เป็นสารสีร่วมกับซิลิกาในการผลิตกระดาษอิงค์เจ็ทชนิดด้าน พบว่าดินขาวสามารถกระจายตัวได้ง่ายกับสารช่วยกระจายตัวทั้งประจุบวกและประจุลบที่ร้อยละของของแข็งสูง (ประมาณร้อยละ 60) ด้วยค่าความหนืดที่ดี เมื่อผสมดินขาวเข้ากับซิลิกาจะทำให้ผลิตสารเคลือบได้ที่ร้อยละของของแข็งสูงขึ้น และลดปริมาณสารยึดให้ต่ำลงซึ่งจะทำให้ความพรุนของชั้นสารเคลือบสูงและหมึกพิมพ์แห้งตัวได้รวดเร็ว นอกจากนี้การใช้ดินขาวเป็นสารสีร่วมยังเป็นการลดปริมาณการใช้ซิลิกาลง ทำให้ต้นทุนในการผลิตกระดาษเคลือบผิวอิงค์เจ็ทลดลง เนื่องจากซิลิกามีราคาแพง

งานวิจัยของ Karathanasis (11) ใช้ซิลิกาชนิดใหม่ที่มีรูพรุนขนาดกลางและมีรูพรุนขนาดใหญ่ (Mesoporous และ Macroporous silica) แทนที่สารซีชนิดซิลิกาเจล ส่งผลให้โครงสร้างรูพรุนของชั้นสารเคลือบมีระเบียบมากกว่ากระดาษอิงก์เจ็ดทางการค้าที่มีซิลิกาเจลชนิดเดียว ทำให้สามารถกักสารสีในหมึกพิมพ์ไว้บนพื้นผิวได้มากขึ้นเป็นผลให้มีภาพความคมชัดและมีค่าความค่าของหมึกพิมพ์สูงขึ้น

จากข้อมูลของบริษัท Celanese chemical (4) ซึ่งเป็นบริษัทผลิตพอลิไวนิลแอลกอฮอล์ ได้รายงานไว้ว่า ส่วนประกอบของสารเคลือบที่สำคัญอีกประเภทหนึ่งคือ สารยึด เช่น แป้ง กาว แต่สารยึดดังกล่าวมีความแข็งแรงในการยึดติดต่ำเป็นเหตุให้เกิดปัญหาของฝุ่นจากสารสีในสารเคลือบหรือส่งผลกระทบต่อการใช้หมึกพิมพ์ ส่งผลให้คุณภาพงานพิมพ์ไม่ดี จึงมีการนำพอลิไวนิลแอลกอฮอล์ มาใช้เป็นสารยึดเนื่องจากมีความแข็งแรงต่อการยึดติดสูง เข้ากันได้ดีกับน้ำ เพิ่มความสว่างของกระดาษและให้ค่าความค่าของหมึกพิมพ์ดีกว่าแป้งพอลิไวนิลแอลกอฮอล์ ควรเป็นชนิด Fully Hydrolyzed (98.0-98.8% hydrolysis) มีน้ำหนักโมเลกุลต่ำและปานกลาง เพราะน้ำหนักโมเลกุลของพอลิไวนิลแอลกอฮอล์ เป็นตัวควบคุมกำลังในการยึดติดสารสีในสารเคลือบ (Binding power) และกำหนดการไหลของสารเคลือบ การที่น้ำหนักโมเลกุลต่ำทำให้สามารถเพิ่มซิลิกาได้มากขึ้นและการที่ร้อยละไฮโดรไลซิสของพอลิไวนิลแอลกอฮอล์สูงขึ้นส่งผลให้ความหนืดมีแนวโน้มเพิ่มขึ้นเมื่อสัดส่วนของสารสีต่อสารยึดคงที่ โดยทั่วไปพอลิไวนิลแอลกอฮอล์ มีน้ำหนักโมเลกุลปานกลางจะให้ความหนืดดีกว่าน้ำหนักโมเลกุลต่ำ บริษัท Celanese chemicals พบว่าสูตรสารเคลือบที่เหมาะสมสำหรับการเคลือบด้วยใบมีดหรือแท่งโลหะเคลือบผิวควรมีร้อยละของของแข็ง 15-30 มีความหนืดอยู่ในช่วง 200-600 cP ใช้ซิลิกา 100 ส่วนต่อพอลิไวนิลแอลกอฮอล์ 30-50 ส่วน

สถาบันวิทยบริการ
จุฬาลงกรณ์มหาวิทยาลัย

บทที่ 3

วิธีดำเนินการวิจัย

3.1 เครื่องมือที่ใช้ในการวิจัย

3.1.1 สารเคมี

1. สารละลายโซเดียมไฮดรอกไซด์ (NaOH)
2. สารละลายกรดซัลฟิวริก (H_2SO_4) ความเข้มข้น 5N
3. แอมโมเนียมไฮดรอกไซด์เข้มข้น (NH_4OH)
4. ซีดีแกลบ
5. คาร์บอนซีเมทิลเซลลูโลส, ชื่อทางการค้า NIKLACELL CH5F บริษัท SUNOLIN
 - a. สีขาวเม็ดเล็กละเอียด
 - b. ปริมาณของแข็งร้อยละ 92-95
 - c. ค่ากรด-เบส เมื่อเป็นสารละลายเข้มข้นร้อยละ 1 คือ 9.5-10.5
 - d. ความหนืดเมื่อเป็นสารละลายเข้มข้นร้อยละ 10 คือ 200-1500 mPa.s วัดด้วย Brookfield เข็มเบอร์ 4 ความเร็ว 20 RPM อุณหภูมิ 25 องศาเซลเซียส
6. ซิลิกาจากซีดีแกลบ
7. พอลิไวนิลแอลกอฮอล์บริษัท J.T. Baker
 - a. ร้อยละไฮโดรไลซิส 99-99.8
 - b. น้ำหนักโมเลกุล 77,000-79,000 g/mol

3.1.2 อุปกรณ์

1. ชุดรีฟลักซ์
2. เครื่องบดชนิดพ่น
3. เครื่องคนและให้ความร้อน
4. Buchner funnel พร้อมชุดกรอง
5. แท่งขดลวดเคลือบผิว (Wire bar) ที่ให้ความหนาขณะเปียก 100 ไมครอน
6. เครื่องอัลตราโซนิก รุ่น Transsonic 460 บริษัท Elma
7. กระดาษสำหรับทำกระดาษอิงก์เจ็ต น้ำหนัก 80 g/m²
8. เครื่องวัด Basis weight ที่มีทศนิยม 4 ตำแหน่ง
9. เครื่องพิมพ์เอปสัน : Epson Stylus Photo 2100
 - a. ความละเอียด 2,880 x 1,440 dpi
 - b. เครื่องพิมพ์ 7 สี
 - c. หมึกพิมพ์อิงก์เจ็ต
10. เครื่องวัดความหนืด Brookfield : DV III programmable Rheometer, USA
11. เครื่องวัดความดำของหมึกพิมพ์ (Spectrophotodensitometer) ของบริษัท X-Rite รุ่น 530, USA

3.2 ขั้นตอนและวิธีดำเนินการวิจัย

ขั้นตอนและวิธีดำเนินการวิจัยแบ่งออกเป็น 5 ขั้นตอนหลัก ได้แก่

1. ขั้นตอนการเตรียมซลีกาจากถั่วแกลบและวิเคราะห์สมบัติของซลีกา
2. ขั้นตอนการเตรียมดินขาว และศึกษาสมบัติของดินขาว
3. ขั้นตอนการเตรียมสารเคลือบโดยมีซลีกา ดินขาวนราธิวาส พอลิไวนิลอัลกอฮอล์และซีเอ็มซีในสัดส่วนต่างๆ
4. ขั้นตอนการวิเคราะห์คุณภาพงานพิมพ์
5. ขั้นตอนการออกแบบการทดลอง (Mixture design) ซึ่งจะต้องผสมองค์ประกอบหลักของสารเคลือบขึ้นตามจำนวนที่วิธีการออกแบบแบบซิมเพล็กซ์ได้กำหนด

3.2.1 ขั้นตอนการเตรียมซลีกาจากถั่วแกลบและวิเคราะห์สมบัติของซลีกา

1. นำซีถั่วแกลบ 125 กรัม รีฟลักซ์กับสารละลายโซเดียมไฮดรอกไซด์ความเข้มข้นร้อยละ 10 โดยน้ำหนัก ปริมาตร 1000 มิลลิลิตร เป็นเวลา 3 ชั่วโมง
2. กรองเพื่อแยกตะกอนออกจากสารละลายโซเดียมซลีเกต นำตะกอนไปล้างด้วยน้ำร้อนปริมาตร 250 มิลลิลิตร แล้วนำน้ำล้างตะกอนไปรวมกับสารละลายโซเดียมซลีเกต
3. เติม 5 N H_2SO_4 ปรับให้ pH เท่ากับ 10 ทิ้งไว้จนเกิดเจล เติม 5 N H_2SO_4 ลงในเจลจน pH เป็น 2
4. เติมโซเดียมไฮดรอกไซด์เข้มข้นให้ pH เป็น 8.5 ตั้งทิ้งไว้ 3.5 ชั่วโมงแล้วกรอง
5. อบซลีกาเจลข้ามคืนที่อุณหภูมิ 150 องศาเซลเซียส
6. บดซลีกาเจลที่แห้งแล้ว ด้วยครกบดสารเคมี แล้วล้างด้วยน้ำกรองปริมาตร 500 มิลลิลิตร น้ำกลั่นปริมาตร 500 มิลลิลิตร
7. นำซลีกาเจลไปอบที่อุณหภูมิ 200 องศาเซลเซียส เป็นเวลา 3 ชั่วโมง
8. บดซลีกาให้ละเอียดด้วยเครื่องบด
9. วัดสมบัติต่อไปนี้ของซลีกา
 - พื้นที่ผิวจำเพาะ
 - ปริมาตรรูพรุน
 - เส้นผ่านศูนย์กลางรูพรุน
 - การดูดซึมน้ำมัน (Oil absorption)

3.2.2 ขั้นตอนการเตรียมดินขาว และศึกษาสมบัติต่างๆ ของดินขาว

1. นำดินขาวอบเป็นเวลา 2 คืนที่อุณหภูมิ 150 องศาเซลเซียส
2. บดดินขาวที่แห้งแล้ว ด้วยครกบดสารเคมี และบดดินขาวให้ละเอียดด้วยเครื่องบด
3. วัดสมบัติต่อไปนี้ของดินขาว
 - พื้นที่ผิวจำเพาะ
 - ปริมาตรรูพรุน
 - เส้นผ่านศูนย์กลางรูพรุน
 - การดูดซึมน้ำมัน (Oil absorption)

3.2.3 ขั้นตอนการเตรียมสารเคลือบ

3.2.3.1 การเตรียมสารเคลือบ

1. เตรียมสารเคลือบที่มีร้อยละของแข็งเท่ากับ 17, 22 และ 30 ที่มีสัดส่วนของซิลิกาและดินขาวเป็น 100 : 0, 90 : 10, 75 : 25, 50 : 50, 0 : 100 จากนั้นผสมสารสีกับสารยึดและสารยึดร่วม ตามตารางที่ 3.1 โดยมีสัดส่วนของสารสีต่อสารยึดและสารยึดร่วมเป็น 100 : 30 : 2 วัดค่าความหนืดของสารเคลือบที่ผลิตได้

ตารางที่ 3.1 สูตรสารเคลือบที่มีซิลิกาและดินขาวในสัดส่วนต่างๆ

ซิลิกา: ดินขาว	ร้อยละของแข็ง	ร้อยละโดยน้ำหนัก				
		ซิลิกา	ดินขาว	พอลิไวนิลอัลกอฮอล์	ซีเอ็มซี	น้ำ
100:0	17	12.878	0	3.864	0.257	83
90:10	17	11.591	1.288	3.864	0.257	83
90:10	21	14.318	1.590	4.772	0.318	79
75:25	17	9.659	3.219	3.864	0.257	83
75:25	22	12.500	4.167	5.000	0.333	78
50:50	17	6.439	6.439	3.864	0.257	83
50:50	22	8.333	8.333	5.000	0.333	78
0:100	17	0	12.878	3.864	0.257	83
0:100	25	0	18.929	5.681	0.379	75
0:100	30	0	22.727	6.818	0.455	70

2. ชั่งพอลิไวนิลแอลกอฮอล์ตามสัดส่วนในตารางที่ 3.1 ลงในน้ำกลั่นที่อุณหภูมิห้องจากนั้นกวนที่อุณหภูมิ 85 °C เป็นเวลา 30 นาที หรือจนกว่าพอลิไวนิลแอลกอฮอล์จะละลายหมดแล้วทิ้งให้เย็นที่อุณหภูมิ 25 °C

3. ละลายซีเอ็มซีในน้ำกลั่น ผสมสารสีกับน้ำให้เป็น Pigment slurry และใส่ลงไปในซีเอ็มซีที่ละลายแล้ว

4. นำสารละลายพอลิไวนิลแอลกอฮอล์ผสมกับ Pigment slurry กวนเป็นเวลา 20 นาที หากสารเคลือบเกิดฟอง ให้นำไปไล่ฟองในอ่างอัลตราโซนิก

5. วัดค่าความหนืด

6. นำไปเคลือบบนกระดาษสำหรับทำฐานกระดาษอิงก์เจ็ต น้ำหนัก 80 g/m² โดยใช้แท่งโลหะเคลือบผิว ที่มีชั้นฟิล์มขณะเปียก 100 ไมโครเมตร

7. รอให้แห้ง นำไปขัดผิวผ่านเครื่องอบแห้ง 3 รอบ ที่อุณหภูมิ 60 °C

3.2.3.2 ตรวจสอบสมบัติกระดาษอิงก์เจ็ตที่ผลิตได้

1. นำหนักสารเคลือบ โดยตัดกระดาษให้มีขนาด 10x10 cm² แล้วนำไปชั่ง 3 ครั้งบันทึกค่าเฉลี่ยที่ได้

2. ความขาวสว่าง (Brightness) วัดด้วยเครื่องวัดสมบัติเชิงแสงของกระดาษ Technidyne ที่ความยาวคลื่น 457 nm ทำการสุ่มตำแหน่งวัด 3 ครั้ง

3. ความขาว ใช้เครื่องวัดสมบัติเชิงแสงของกระดาษ Technidyne ทำการสุ่มตำแหน่งวัด 3 ครั้ง

4. ความสม่ำเสมอของสารเคลือบบนกระดาษ ด้วยวิธี SEM ทำการบันทึกภาพของพื้นผิวไว้

3.2.4 การวิเคราะห์คุณภาพงานพิมพ์

1. พิมพ์ QEA test target ลงบนกระดาษอิงก์เจ็ตที่เตรียมได้สูตรละ 2 แผ่น
2. วิเคราะห์คุณภาพงานพิมพ์ โดยการหาค่าเฉลี่ยจากกระดาษอิงก์เจ็ตทั้ง 2 แผ่นที่มีสูตรสารเคลือบเหมือนกัน

- ค่าความดำหมึกพิมพ์ (Ink density) ของ CMYK บนพื้นตาย
- คุณภาพของเส้น (Line quality)
- คุณภาพของตัวอักษร (Text quality)
- ร้อยละของการซึมเข้าหากันของหมึกพิมพ์ (Inter-color bleed) ซึ่งสามารถ

คำนวณได้จาก

$$\% \text{Bleed} = \frac{\text{ขนาดของเส้นที่ผลิตได้} - \text{ขนาดของเส้นต้นฉบับ}}{\text{ขนาดเส้นต้นฉบับ}} \times 100 \quad (3.1)$$

3.2.5 การเปรียบเทียบคุณภาพงานพิมพ์

พิจารณางานพิมพ์ที่มีคุณภาพดีที่สุดจากกระดาษอิงก์เจ็ต โดยพิจารณาตามหัวข้อ

3.2.4 ที่ผลิตจากสารเคลือบสูตรต่าง ๆ เพื่อนำมาสร้างแบบจำลองโดยวิธีออกแบบของผสม (Mixture design) ซึ่งสัดส่วนขององค์ประกอบที่ให้คุณภาพงานพิมพ์ที่ดี ในขั้นตอนนี้จะเป็ นแนวทางสำหรับขั้นตอนการออกแบบของผสม

3.2.6 การออกแบบของผสม (Mixture design)

1. ทำการผลิตสารเคลือบขึ้นมาตามการออกแบบของผสมแบบซิมเพล็กซ์ 2 ระดับ กำหนดดังตารางที่ 3.2 ซึ่งจะ ได้ทั้งหมด 10 สูตรและมีการทำซ้ำ(replicate) โดยเลือกทำซ้ำที่จุดมุมทั้ง 3 จุด คือสูตรที่ 1-3 ซึ่งเป็นการทำเพื่อรวมเอาความผิดพลาดที่อาจเกิดขึ้นจากการทดลองมาไว้ในแบบจำลองด้วย สำหรับองค์ประกอบหลักที่สำคัญในสารเคลือบกระดาษอิงก์เจ็ตในงานวิจัยนี้ ได้แก่ ซิลิกา ดินขาวราธิวาส และ พอลิไวนิลอัลกอฮอล์ ซึ่งสัดส่วนที่ใช้จะสามารถกำหนดช่วงให้ แคลลงได้จากการพิจารณาผลใน 3.2.5 โดยจะต้องกำหนดค่ามากที่สุด (ให้มีสัดส่วนเท่ากับ 1) และ ค่าน้อยที่สุด (ให้มีสัดส่วนเท่ากับ 0) ให้กับองค์ประกอบทั้ง 3 องค์ประกอบ และคำนวณสัดส่วน

อื่นๆ ตามตารางที่ 3.2 สำหรับน้ำหนักของซีเอ็มซี และน้ำ จะถูกคงที่ไว้ตามน้ำหนักของสูตรสารเคลือบที่เลือกมาใช้

ตารางที่ 3.2 สูตรสารเคลือบที่ถูกกำหนดขึ้นตามการออกแบบของผสมแบบจิมเพล็กแลททิส

สูตรสารเคลือบ	ซิลิกา (SiO ₂)	ดินขาวราธิวาส (Kaolin)	พอลิไวนิลแอลกอฮอล์ (PVOH)
สูตรที่ 1	1	0	0
สูตรที่ 2	0	1	0
สูตรที่ 3	0	0	1
สูตรที่ 4	1/2	1/2	0
สูตรที่ 5	1/2	0	1/2
สูตรที่ 6	0	1/2	1/2
สูตรที่ 7*	1/3	1/3	1/3
สูตรที่ 8**	2/3	1/6	1/6
สูตรที่ 9**	1/6	2/3	1/6
สูตรที่ 10**	1/6	1/6	2/3
สูตรที่ 11***	1	0	0
สูตรที่ 12***	0	1	0
สูตรที่ 13***	0	0	1

* จุด โคออร์ดิเนตตรงศูนย์กลาง (Center points)

** จุดกึ่งกลางระหว่างจุดศูนย์กลางกับจุดมุม (Axial points)

***การตรวจสอบโดยการทำซ้ำในจุดมุม (Vertex)

- ผลิตสารเคลือบตามน้ำหนักที่ได้คำนวณขึ้น ตามขั้นตอนในข้อ 3.2.3.1
- ตรวจสอบกระดาษอิงก์เจ็ตที่ผลิตได้ ตามขั้นตอนในข้อที่ 3.2.3.2
- วัดสมบัติของกระดาษและคุณภาพงานพิมพ์ ซึ่งจะเป็นตัวแปรตอบสนองที่สำคัญ

5. นำค่าของสมบัติกระดาษและคุณภาพงานพิมพ์ที่ต้องการศึกษาได้แก่ ค่าความต้านทานของหมึกพิมพ์สีดำ ค่าร้อยละการซึมเข้าหากันของหมึกพิมพ์สีดำในสีเหลือง และค่าความขาวของกระดาษ ใส่ในโปรแกรมคอมพิวเตอร์ MINITAB ที่ได้ทำการการออกแบบการทดลอง (Design of Experimental) เอาไว้ก่อนหน้านี้ดังแสดงในตารางที่ 3.2 แล้ว ซึ่งเป็นการหาความสัมพันธ์ ค่าความต้านทานของหมึกพิมพ์สีดำ ค่าร้อยละการสั่นและของหมึกสีดำในสีเหลือง และค่าความขาวของกระดาษ กับ น้ำหนักของซิลิกา ดินขาวและพอลิไวนิลอัลกอฮอล์ โดยสมการควอดรติก 6 เทอมตามสมการที่ 2.5 ซึ่งโปรแกรมคอมพิวเตอร์จะคำนวณค่าสัมประสิทธิ์ร่วม (Coefficients) และสร้างแบบจำลองทางคณิตศาสตร์เพื่อช่วยในการทำนายค่าของ ค่าความต้านทานของหมึกพิมพ์สีดำ ค่าร้อยละการซึมเข้าหากันของหมึกพิมพ์สีดำในสีเหลือง และค่าความขาวของกระดาษ ซึ่งสามารถแสดงเป็นกราฟไดรลิเนียร์โคออร์ดิเนตและ จำนวนสูตรที่ดีที่สุดจากแบบจำลองของ ค่าความต้านทานของหมึกพิมพ์สีดำ ค่าร้อยละการซึมเข้าหากันของหมึกสีดำในสีเหลือง และค่าความขาวของกระดาษ

6. การทดสอบความถูกต้องของแบบจำลองโดยทำการผลิตสารเคลือบจากสูตรที่โปรแกรมคอมพิวเตอร์ได้คำนวณขึ้น



สถาบันวิทยบริการ
จุฬาลงกรณ์มหาวิทยาลัย

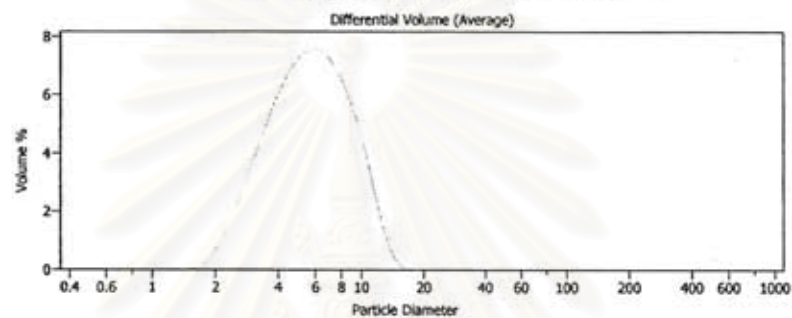
บทที่ 4

ผลการทดลองและการวิเคราะห์ข้อมูล

4.1 การเตรียมซลิกาและวิเคราะห์สมบัติของซลิกา

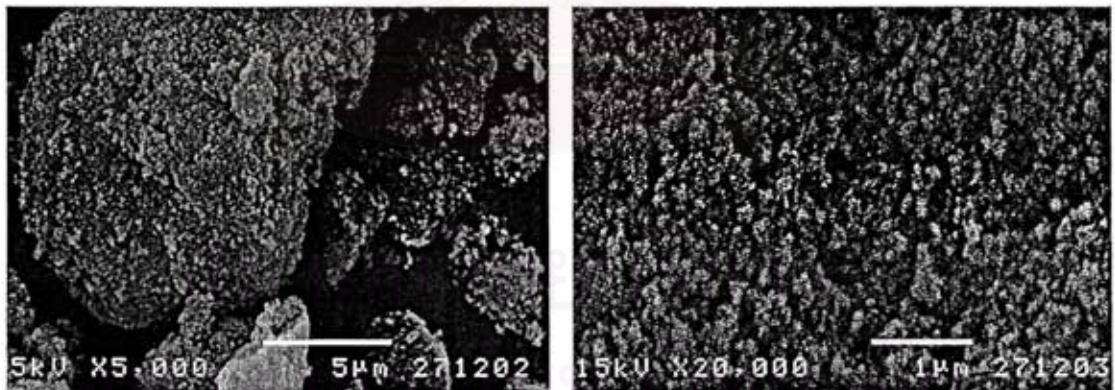
4.1.1 สมบัติของซลิกาจากซีเถ้าแกลบ

- การกระจายตัวของขนาดอนุภาคซลิกา



รูปที่ 4.1 ขนาดของอนุภาคซลิกา

ผลจากการวัดการกระจายตัวของขนาดอนุภาคของซลิกาที่ผลิตได้จากซีเถ้าแกลบอยู่ในช่วงระหว่าง 3.044-9.819 μm และมีขนาดอนุภาคเฉลี่ย 6.083 μm ดังแสดงในรูปที่ 4.1

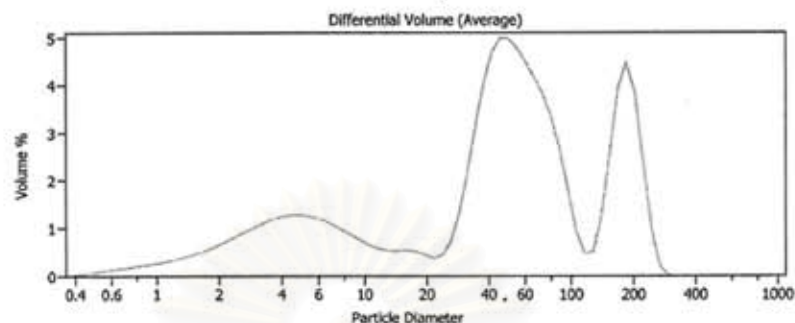


รูปที่ 4.2 ภาพถ่าย SEM ของซลิกา

รูปที่ 4.2 เป็นภาพถ่าย SEM ของซลิกา พบว่ารูปร่างของซลิกามีลักษณะกลมและบริเวณผิวมีความขรุขระ และมีพื้นที่ผิวจำเพาะเฉลี่ย 234.52 m^2/g เส้นผ่านศูนย์กลางรูพรุนเฉลี่ย 0.294 (μm) ปริมาตรรูพรุนเฉลี่ย 1.805×10^4 ($\text{cc}/\mu\text{m-g}$) การดูดซับน้ำมัน 294.7 ± 2.08 ($\text{ml}/100\text{g}$)

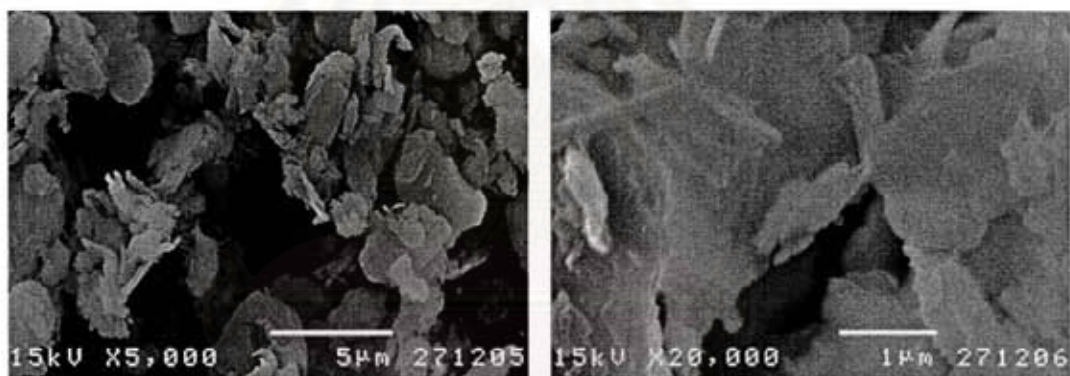
4.1.2 สมบัติของดินขวานราธิวาส

- การกระจายตัวของขนาดอนุภาคดินขวานราธิวาส



รูปที่ 4.3 การกระจายตัวของขนาดอนุภาคของดินขาว

ผลจากการวัดการกระจายตัวของขนาดอนุภาคของดินขวานราธิวาสที่ผลิตได้จากซีเมนต์เคลือบอยู่ในช่วงระหว่าง 3.533-184.3 μm และมีขนาดอนุภาคเฉลี่ย 2.64 μm ดังแสดงในรูปที่ 4.3



รูปที่ 4.4 ภาพถ่าย SEM ของดินขาว

รูปที่ 4.4 เป็นภาพถ่าย SEM ของดินขวานราธิวาสพบว่ารูปร่างของดินขวานราธิวาสมีลักษณะแบนราบและบริเวณผิวมีความเรียบ และมีพื้นที่ผิวจำเพาะ 18.85 m^2/g เส้นผ่านศูนย์กลางรูพรุนเฉลี่ย 0.561 (μm) ปริมาตรรูพรุนเฉลี่ย 5.967×10^3 ($\text{cc}/\mu\text{m-g}$) การดูดซับน้ำมัน 88.7 ± 3.51 ($\text{ml}/100\text{g}$)

4.1.3 การเปรียบเทียบสมบัติของสารสี

ตารางที่ 4.1 สมบัติทางกายภาพของสารสี

สารสี	รูปร่างลักษณะ ของอนุภาค	ขนาด อนุภาค เฉลี่ย (μm)	พื้นที่ผิว จำเพาะ (m^2/g)	เส้นผ่าน ศูนย์กลาง รูพรุน (μm)	ปริมาตร รูพรุน ($\text{cc}/\mu\text{m-g}$)	การดูดซับ น้ำมัน ($\text{ml}/100\text{g}$)
SiO_2	กลม ผิวขรุขระ	6.083	234.52	0.294	1.805×10^4	294.7 ± 2.08
Kaolin	แบน ผิวเรียบ	69.04	18.85	0.561	5.967×10^3	88.7 ± 3.51

ตารางที่ 4.1 แสดงการเปรียบเทียบสมบัติทางกายภาพของซิลิกาและดินขาว
นราธิวาส พบว่าดินขาวนราธิวาสมีพื้นที่ผิวจำเพาะต่ำกว่าซิลิกา ซิลิกามีเส้นผ่านศูนย์กลางรูพรุน
เฉลี่ยสูงกว่าซิลิกาแต่มีปริมาตรรูพรุนเฉลี่ยและความสามารถในการดูดซับน้ำมันต่ำกว่าซิลิกามาก
นั้นแสดงว่าขนาดรูพรุนของซิลิกามีขนาดเล็กเป็นจำนวนมาก เมื่อเปรียบเทียบกับดินขาว ทำให้ซิลิ
กาสามารถดูดซับน้ำมัน ได้มากกว่า ซึ่งสอดคล้องกับที่เห็นจากภาพที่ 4.2 และ 4.4

4.2 การเตรียมสารเคลือบ

จากการทดลองทำการเตรียมสารเคลือบที่มีสัดส่วนของสารสีซิลิกาต่อดินขาวนราธิวาสเป็น 100:0 90:10 75:25 50:50 0:100 มีสัดส่วนของสารสีต่อสารยึดต่อสารยึดร่วมเป็น 100:30:2 ซึ่งแต่ละสูตรจะผลิตสารเคลือบที่ร้อยละของแข็งสูงสุดที่ให้ความหนืดที่สามารถผลิตสารเคลือบสำหรับการเคลือบด้วยขดลวดเคลือบผิว (wire bar) ได้ ดังแสดงในตารางที่ 4.2

ตารางที่ 4.2 สมบัติของสารเคลือบที่มีซิลิกาและดินขาวในสัดส่วนต่างๆ

ซิลิกา : ดินขาว (สัดส่วนโดยน้ำหนักของ)	ร้อยละของแข็ง	ความหนืด (mPas)*
100:0	17	27174
90:10	17	357
90:10	21	4055
75:25	17	354
75:25	22	447
50:50	17	336
50:50	22	591
0:100	17	63
0:100	25	540
0:100	30	2588

หมายเหตุ *วัดด้วยเครื่องวัดความหนืดBrookfieldเข็มเบอร์31 ความเร็วรอบ20RPM

อุณหภูมิ25(°C)

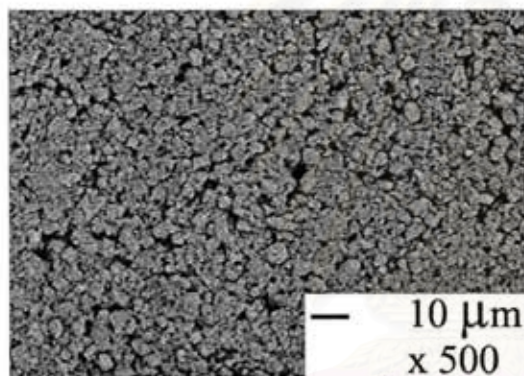
จากการวัดความหนืดของสารเคลือบที่ผลิตตามตารางที่ 4.2 พบว่าสารเคลือบที่มีซิลิกาเป็นสารสีร้อยละ 100 ที่ร้อยละของแข็งเท่ากับ 17 จะให้ค่าความหนืดสูงสุดคือ 27,174 mPas ส่วนสารเคลือบที่มีดินขาวเป็นสารสีร้อยละ 100 ที่ร้อยละของแข็งเท่ากับ 17 จะให้ค่าความหนืดต่ำที่สุดคือ 63 mPas ซึ่งจากตารางที่ 4.1 ซิลิกาเป็นอนุภาคที่มีพื้นที่ผิวจำเพาะและปริมาตรรูพรุนสูงเมื่อนำมาทำสารเคลือบจะให้ค่าความหนืดที่สูงแม้มีร้อยละของแข็งต่ำทำให้ยากต่อการเคลือบผิวด้วยขดลวดเคลือบผิว ส่วนดินขาวนราธิวาสจะมีพื้นที่ผิวจำเพาะและปริมาตรรูพรุนต่ำทำให้สามารถผลิตสารเคลือบที่มีร้อยละของแข็งสูงได้ จากการทดลองสามารถเพิ่มร้อยละของแข็งได้ถึงร้อยละ 30

สำหรับสารเคลือบที่มีซิลิกาและดินขาวเป็นสารสีในสัดส่วนต่าง ๆ พบว่าการผสมดินขาวเข้ากับซิลิกาจะทำให้สามารถผลิตสารเคลือบที่มีปริมาณของแข็งได้สูงขึ้น

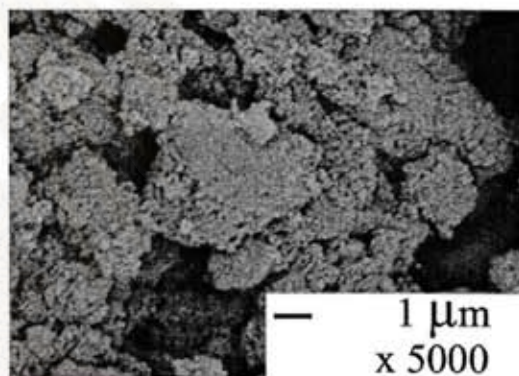
4.3 การตรวจสอบสมบัติทางกายภาพของกระดาษอิงก์เจ็ตที่ผลิตได้และตรวจสอบคุณภาพงานพิมพ์

4.3.1 ลักษณะผิวหน้าของชั้นสารเคลือบ

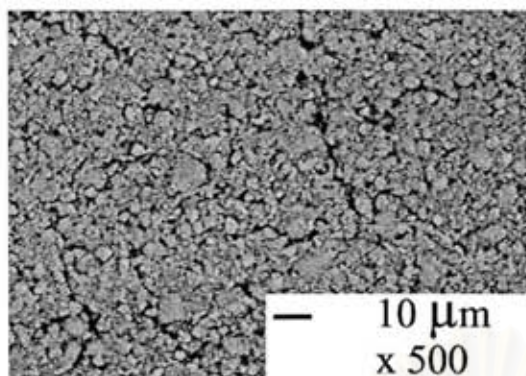
หลังจากผลิตสารเคลือบตามสัดส่วนในตารางที่ 4.2 แล้วนำมาเคลือบบนกระดาษฐานด้วยขวดหลอดเคลือบผิว ได้นำกระดาษเคลือบผิวไปตรวจสอบ ลักษณะผิวหน้าของชั้นสารเคลือบ ด้วยเครื่อง Scanning Electron Micrograph (SEM) ยี่ห้อ CamScan i6jo Maxim 2000 โดยใช้การกระเจิงแสงด้านหลัง(BEI) ที่กำลังขยาย 500 และ 5000 เท่าได้ผลดังแสดงในรูปที่ 4.5-4.14



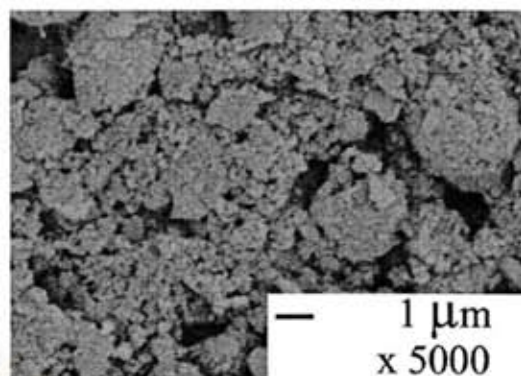
รูปที่ 4.5 ภาพ SEM ของกระดาษที่สารเคลือบ มีสัดส่วนของซิลิกาต่อดินขาว เท่ากับ 100:0 และสัดส่วนของสารสีต่อสารยึดต่อสารยึด ร่วมเท่ากับ 100:30:2 ร้อยละของของแข็ง เท่ากับ 17 กำลังขยาย 500 เท่า



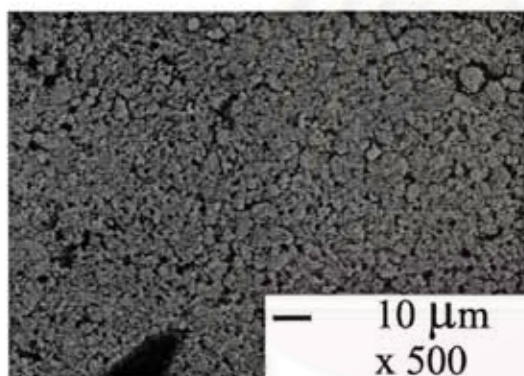
รูปที่ 4.6 ภาพ SEM ของกระดาษที่สารเคลือบ มีสัดส่วนของซิลิกาต่อดินขาว เท่ากับ 100:0 และสัดส่วนของสารสีต่อสารยึดต่อสารยึด ร่วมเท่ากับ 100:30:2 ร้อยละของของแข็ง เท่ากับ 17 กำลังขยาย 5000 เท่า



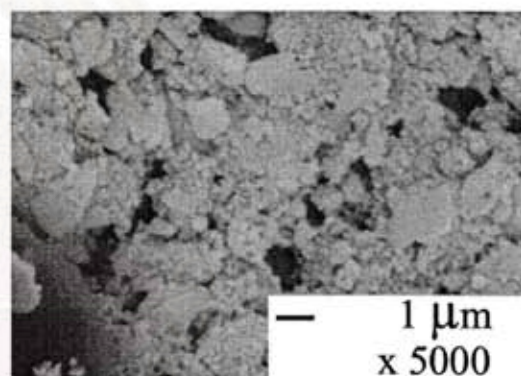
รูปที่ 4.7 ภาพ SEM ของกระดาษที่สารเคลือบ มีสัดส่วนของซิลิกาต่อดินขาว เท่ากับ 90:10 และสัดส่วนของสารสีต่อสารยึดต่อสารยึด รวมเท่ากับ 100:30:2 ร้อยละของของแข็ง เท่ากับ 21 กำลังขยาย 500 เท่า



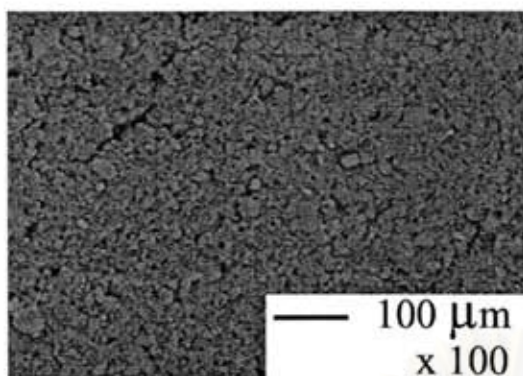
รูปที่ 4.8 ภาพ SEM ของกระดาษที่สารเคลือบ มีสัดส่วนของซิลิกาต่อดินขาว เท่ากับ 90:10 และสัดส่วนของสารสีต่อสารยึดต่อสารยึด รวมเท่ากับ 100:30:2 ร้อยละของของแข็ง เท่ากับ 21 กำลังขยาย 5000 เท่า



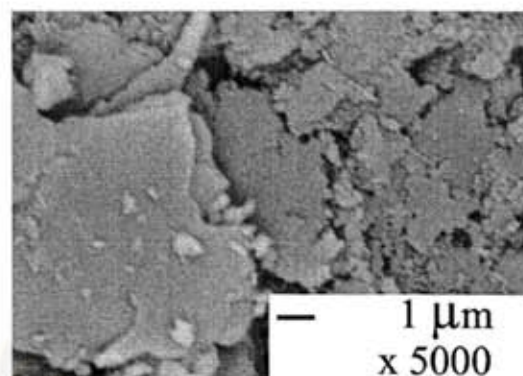
รูปที่ 4.9 ภาพ SEM ของกระดาษที่สารเคลือบ มีสัดส่วนของซิลิกาต่อดินขาว เท่ากับ 75:25 และสัดส่วนของสารสีต่อสารยึดต่อสารยึด รวมเท่ากับ 100:30:2 ร้อยละของของแข็ง เท่ากับ 22 กำลังขยาย 500 เท่า



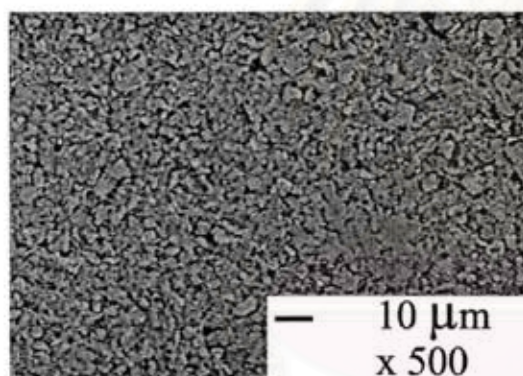
รูปที่ 4.10 ภาพ SEM ของกระดาษที่สารเคลือบ มีสัดส่วนของซิลิกาต่อดินขาว เท่ากับ 75:25 และสัดส่วนของสารสีต่อสารยึดต่อสารยึด รวมเท่ากับ 100:30:2 ร้อยละของของแข็ง เท่ากับ 22 กำลังขยาย 5000 เท่า



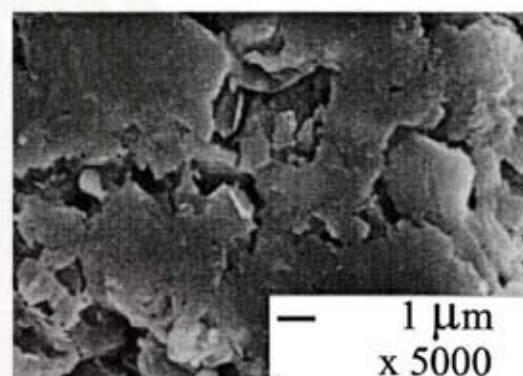
รูปที่ 4.11 ภาพ SEM ของกระดาศที่สารเคลือบมีสัดส่วนของซิลิกาต่อดินขาว เท่ากับ 50:50 และสัดส่วนของสารสีต่อสารยึดต่อสารยึดร่วมเท่ากับ 100:30:2 ร้อยละของของแข็ง เท่ากับ 22 กำลังขยาย 500 เท่า



รูปที่ 4.12 ภาพ SEM ของกระดาศที่สารเคลือบมีสัดส่วนของซิลิกาต่อดินขาว เท่ากับ 50:50 และสัดส่วนของสารสีต่อสารยึดต่อสารยึดร่วมเท่ากับ 100:30:2 ร้อยละของของแข็ง เท่ากับ 22 กำลังขยาย 5000 เท่า



รูปที่ 4.13 ภาพ SEM ของกระดาศที่สารเคลือบมีสัดส่วนของซิลิกาต่อดินขาว เท่ากับ 0:100 และสัดส่วนของสารสีต่อสารยึดต่อสารยึดร่วมเท่ากับ 100:30:2 ร้อยละของของแข็ง เท่ากับ 30 กำลังขยาย 500 เท่า



รูปที่ 4.14 ภาพ SEM ของกระดาศที่สารเคลือบมีสัดส่วนของซิลิกาต่อดินขาว เท่ากับ 0:100 และสัดส่วนของสารสีต่อสารยึดต่อสารยึดร่วมเท่ากับ 100:30:2 ร้อยละของของแข็ง เท่ากับ 30 กำลังขยาย 5000 เท่า

จากการตรวจสอบลักษณะของผิวหนังด้วยภาพถ่าย SEM เมื่อเปรียบเทียบภาพถ่ายทั้งหมดพบว่าผิวหนังของอนุภาคส่วนใหญ่ในชั้นสารเคลือบในรูปที่ 4.6 ซึ่งเป็นสูตรที่มีสัดส่วนของซิลิกาต่อดินขาวเป็น 100:0 ผิวหนังจะมีลักษณะขรุขระไม่สม่ำเสมอ มองเห็นรูพรุนบนพื้นผิวของซิลิกาได้ชัดเจน มีรูพรุนขนาดใหญ่ระหว่างอนุภาคของซิลิกา เมื่อเปรียบเทียบกับภาพถ่าย SEM ในรูปที่ 4.14 ซึ่งเป็นภาพของผิวหนังสารเคลือบที่มีสัดส่วนของซิลิกาต่อดินขาวเป็น 0:100 ผิวหนังของอนุภาคส่วนใหญ่ในชั้นสารเคลือบมีลักษณะแบนเรียบ รูพรุนระหว่างอนุภาคในชั้นสารเคลือบจะมีขนาดเล็กและแคบ อนุภาคของดินขาวจะราบเรียบ มองไม่เห็นรูพรุนของพื้นผิว

สำหรับการผสมดินขาวเข้ากับซิลิกาในสัดส่วนต่างๆในรูปที่ 4.7-4.10 ซึ่งอนุภาคของดินขาวจะมีปริมาณเพิ่มมากขึ้นในรูปที่ 4.8 4.10 และ 4.12 ตามลำดับ จะเห็นว่าช่องว่างระหว่างอนุภาคในชั้นสารเคลือบลดลงเมื่อเปรียบเทียบกับผิวหนังของชั้นสารเคลือบที่ใช้ซิลิกาเป็นสารสีเพียงชนิดเดียว

4.3.2 สมบัติของกระดาษอิงก์เจ็ตและคุณภาพงานพิมพ์

กระดาษอิงก์เจ็ตที่ผลิตได้ จะนำมาวัดสมบัติทางกายภาพของกระดาษได้แก่ วัดค่าความขาวสว่าง ความขาว น้ำหนักสารเคลือบแล้วนำไปพิมพ์ โดยใช้ต้นฉบับเป็น QEA Test target ด้วยเครื่องพิมพ์ Epson Stylus. Photo 2100 เพื่อจะได้วัดค่า ความดำของหมึกพิมพ์ และการซึมของหมึก ในแต่ละสัดส่วนจะผสมให้ได้ร้อยละของของแข็งสูงสุดที่ยังสามารถเคลือบด้วยขดลวดเคลือบผิวได้ เช่น การใช้ซิลิกาเป็นสารสีร้อยละ 100 สามารถผสมให้มีของแข็งสูงสุดได้ที่ 17 แต่เมื่อผสมดินขาวลงไป ทำให้สามารถผสมให้มีร้อยละของของแข็งเพิ่มขึ้นเป็น 21 เป็นต้นแต่ยังคงผลิตสารเคลือบให้มีร้อยละของของแข็งที่ 17 ไว้ทุกสูตรเพื่อง่ายต่อการเปรียบเทียบ ซึ่งสามารถแสดงค่าได้ดังตารางที่ 4.3

สถาบันวิทยบริการ
จุฬาลงกรณ์มหาวิทยาลัย

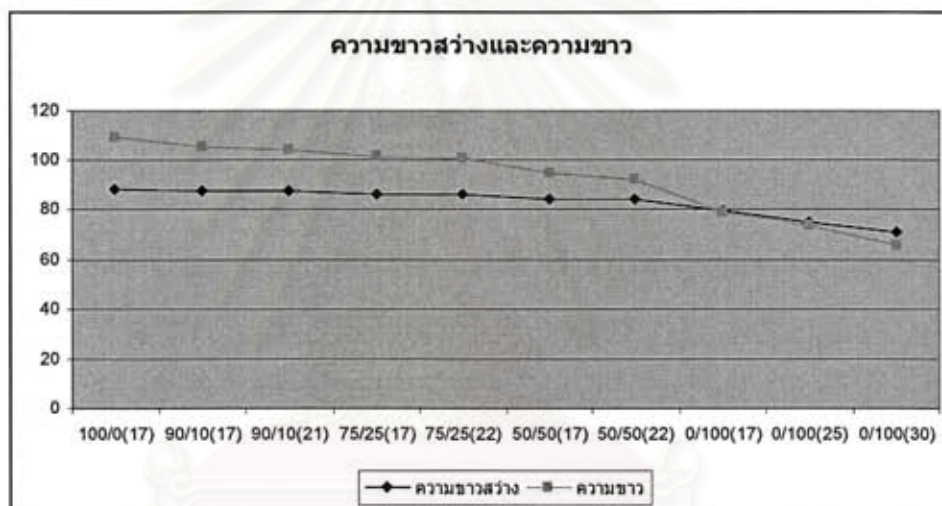
ตารางที่ 4.3 สมบัติของกระดาษอิงก์เจ็ตที่มีซิลิกาและดินขาวเป็นสารสีในสัดส่วนต่างๆ

SiO ₂ :Kaolin	ร้อยละของแข็ง	ความขาวสว่าง	ความขาว	น้ำหนักสารเคลือบ (g/m ²)	ร้อยละการซึมหมึก (%)	ความดำของหมึกพิมพ์			
						C	M	Y	K
100:0	17	88.18	109.30	17.50	3	0.9200	1.2775	0.7530	1.4300
90:10	17	87.26	105.65	18.17	6	0.9070	1.2300	0.7380	1.3300
90:10	21	87.53	104.39	20.89	6	0.9400	1.2985	0.7520	1.4170
75:25	17	86.03	101.75	15.80	5	0.9520	1.2775	0.7270	1.4525
75:25	22	86.32	100.84	18.00	6	1.0240	1.3700	0.7360	1.5460
50:50	17	84.23	95.12	15.70	2	0.8695	1.1960	0.7340	1.2460
50:50	22	84.23	92.42	21.90	3	0.9290	1.2930	0.7425	1.4060
0:100	17	79.33	78.64	17.27	45	0.8730	1.3570	0.7670	1.5600
0:100	25	74.80	73.60	23.60	40	0.8280	1.3930	0.7725	1.6040
0:100	30	71.13	65.31	27.15	65	0.7625	1.3300	0.7575	1.7040
กระดาษฐาน	-	87.27	123.39	-	7	0.9520	1.0370	0.8100	1.1180

สถาบันวิทยบริการ
จุฬาลงกรณ์มหาวิทยาลัย

4.3.2.1 ความขาวและความขาวสว่าง

ความขาวสว่างและความขาวของชั้นสารเคลือบผิวจะมีค่ามากที่สุดสำหรับกระดาษอิงก์เจ็ตในสูตรที่มีสัดส่วนของซิลิกาต่อดินขาวเป็น 100:0 และจะมีค่าลดลงเมื่อมีปริมาณของดินขาวเพิ่มมากขึ้น เนื่องจากอนุภาคของดินขาวที่นำมาใช้จะมีขาวอมเหลือง การใส่ดินขาวในปริมาณมากจะทำให้ผิวหน้าของกระดาษมีสีอมเหลืองมากขึ้น ความขาวและความขาวสว่างก็จะลดลง ดังแสดงในรูปที่ 4.15 ความขาวของกระดาษที่เคลือบด้วยสารเคลือบที่มีซิลิกาอยู่ร้อยละ 100 ให้ความขาวเฉลี่ยเท่ากับ 109.30 ขณะที่สารเคลือบที่เคลือบด้วยสารเคลือบที่มีดินขาวอยู่ร้อยละ 100 ให้ความขาวเฉลี่ยอยู่ที่ 78.64 ที่ร้อยละของแข็งเท่ากันเมื่อสังเกตด้วยตาก็จะสามารถเห็นความแตกต่างได้ชัดเจน



รูปที่ 4.15 ความขาวและความขาวสว่างของกระดาษเคลือบผิวเมื่อใช้ ซิลิกา:ดินขาว ในสัดส่วนต่างๆกัน

4.3.2.2 น้ำหนักของชั้นสารเคลือบ

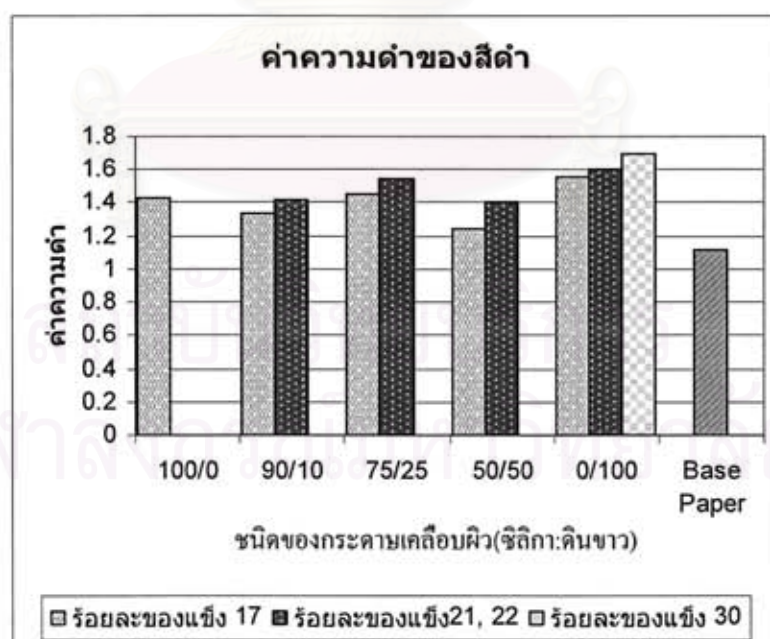
น้ำหนักของชั้นสารเคลือบจะเพิ่มมากขึ้นตามปริมาณของแข็งในสารเคลือบที่เพิ่มขึ้น ดังแสดงในรูปที่ 4.16 สารเคลือบที่มีร้อยละของของแข็งเป็น 17 จะมีน้ำหนักของสารเคลือบอยู่ในช่วง 15.7 -18.7 g/m² เมื่อเคลือบด้วยขดลวดเคลือบผิวที่ให้ความหนาของแผ่นฟิล์มขณะเป็ยก 100 ไมโครเมตร



รูปที่ 4.16 น้ำหนักของชั้นสารเคลือบ

4.3.2.3 ความดำของสีดำ

นำกระดาษอิงก์เจ็ตที่ผลิตได้พิมพ์แผ่นทดสอบมาตรฐาน QEA test target ด้วยเครื่องพิมพ์สีห่อ Epson รุ่น Stylus Photo 2100 แล้วนำไปวัดความดำของหมึกพิมพ์สีไซแอน สีมาเจนตา สีเหลืองและสีดำ ในที่นี้จะแสดงเฉพาะสีดำดังแสดงในรูปที่ 4.17



รูปที่ 4.17 ความดำของหมึกพิมพ์สีดำบนกระดาษเคลือบผิวต่างชนิด

การพิจารณาค่าความค่าของหมึกพิมพ์ เป็นปัจจัยสำคัญในการวิเคราะห์คุณภาพงานพิมพ์ด้วยตามนุษย์ที่เห็นชัดที่สุด ผู้บริโภคต้องการให้ภาพที่ได้มีความเปรียบต่างสูง มีสีสด เพราะรู้สึกว่าได้ภาพที่สวยงาม จากรูปที่ 4.17 ความค่าของหมึกพิมพ์จะเพิ่มขึ้นตามปริมาณของแข็งที่เพิ่มขึ้นในสารเคลือบ การผสมดินขาวเป็นสารสีร่วมกับซิลิกาลงในสารเคลือบจะให้ค่าความค่าของสารเคลือบได้ใกล้เคียงหรือสูงกว่าการใช้ซิลิกาเป็นสารสีเพียงชนิดเดียวในสูตรที่มีสัดส่วนของซิลิกาต่อดินขาวเป็น 90:10 ที่ร้อยละของแข็ง 21 และที่มีสัดส่วนของซิลิกาต่อดินขาวเป็น 75:25 50:50 ที่ร้อยละของแข็ง 17 และ 22 ตามลำดับ และนอกจากนั้นที่สัดส่วนของซิลิกาต่อดินขาวเป็น 75:25 ที่ร้อยละของแข็ง 22 จะให้ค่าความค่าสูงกว่าการใช้ซิลิกาเป็นสารสีชนิดเดียวที่ร้อยละของแข็ง 17 ทั้งนี้อาจเป็นเพราะว่าสารเคลือบที่ใช้ซิลิกาเป็นสารสีชนิดเดียวจะผลิตกระดาษอิงค์เจ็ตที่มีความพรุนของชั้นสารเคลือบสูงมีความสามารถในการดูดซับมากเนื่องมาจากสมบัติเฉพาะตัวของซิลิกาที่มีปริมาตรรูพรุนถึง $1.805 \times 10^4 \text{ cc}/\mu\text{m-g}$ และการผสมดินขาวเข้าไปเป็นสารสีร่วมกับซิลิกาจะทำให้สมบัติของชั้นสารเคลือบเปลี่ยนไปคือ ความสามารถในการดูดซับจะลดลงเนื่องจากสมบัติของดินขาวที่มีปริมาตรรูพรุนต่ำกว่าและมีความสามารถในการดูดซับต่ำกว่าถึง 3 เท่า นอกจากนี้ การที่อนุภาคของดินขาวมีขนาดใหญ่ และมีรูปร่างแบนราบเป็นเหลี่ยมต่างจากซิลิกาทำให้การจัดเรียงตัวของอนุภาคสารสีในชั้นสารเคลือบเมื่อแห้งแล้วแตกต่างจากสารเคลือบที่ใช้ซิลิกาเป็นสารสีชนิดเดียว ที่เห็นได้ชัดคือ การที่รูพรุนระหว่างอนุภาคน้อยลงเมื่อสังเกตเฉพาะที่ผิวหน้าด้วย SEM อนุภาคของสารสีในชั้นสารเคลือบมีการจัดเรียงตัวที่หนาแน่นมากขึ้น นี่อาจเป็นเหตุผลอย่างหนึ่งที่ทำให้ค่าความค่าของกระดาษอิงค์เจ็ตที่ใช้ซิลิกาและดินขาวเป็นสารสีร่วมกันจะให้ค่าความค่าสูงกว่าหรือใกล้เคียงกับการใช้ซิลิกาเป็นสารสีเพียงชนิดเดียว

สำหรับค่าความค่าของหมึกพิมพ์ในสูตรที่มีดินขาวเป็นสารสีชนิดเดียวจะสูงมากเนื่องจากสมบัติทางกายภาพของดินขาวคือ มีอนุภาคขนาดใหญ่ รูปร่างแบนราบ มีปริมาตรรูพรุนต่ำและความสามารถในการดูดซับน้อยทำให้ไม่สามารถดูดซึมหมึกพิมพ์เข้าไปในชั้นสารเคลือบได้หมึกพิมพ์จึงกองอยู่ที่ผิวหน้า และแห้งตัวช้ามาก

จุฬาลงกรณ์มหาวิทยาลัย

4.3.2.4 คุณภาพของเส้นและตัวอักษร

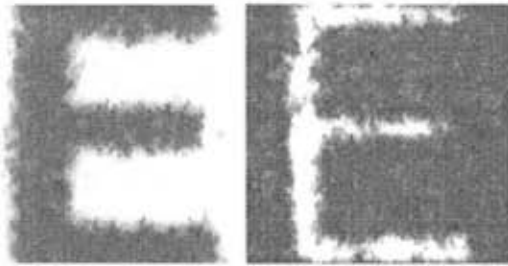
การวิเคราะห์คุณภาพของเส้น (line Quality) นั้นจะพิจารณาจากขนาดของเส้นที่เล็กที่สุดที่สามารถผลิตได้ตาม QEA test target คือ เส้นพอสitif 1/8 พอยท์ และเส้น เนกาทีฟ 1/8 พอยท์ ซึ่งกระดาษเคลือบผิวที่ผลิตขึ้นในสูตรที่มีสัดส่วนของซิลิกาต่อดินขาวเป็น 100:0 90:10 75:25 และ 50:50 พบว่าสามารถผลิตเส้นที่เล็กที่สุดได้ทั้งเส้นพอสitif และเส้นเนกาทีฟ ทั้งตามแนวอนและตามแนวตั้ง สำหรับคุณภาพของเส้นของกระดาษเคลือบผิวที่ผลิตขึ้นในสูตรที่มีสัดส่วนของซิลิกาต่อดินขาวเป็น 0:100 ที่ร้อยละของแข็งเท่ากับ 17 25 และ 30 พบว่าไม่สามารถผลิตเส้นขนาดเล็กสุดเส้นเนกาทีฟ 1/8 พอยท์ ได้ทั้งในแนวตั้งและแนวอน ส่วนในเส้นขนาดเล็กสุดพอสitif 1/8 พอยท์ สามารถผลิตได้แต่ไม่มีความคมชัดทั้งในเส้นแนวตั้งและเส้นแนวอน

ตารางที่ 4.4 คุณภาพของเส้นขนาดเล็กที่สุดของกระดาษอิงก์เจ็ตที่ผลิตได้

ซิลิกา:คาโอลิน	ร้อยละของแข็ง	คุณภาพของเส้นขนาดเล็กที่สุดที่ผลิตได้(พอยท์)				
		C	M	Y	K	ทิศทาง
100:0	17	1/8	1/8	1/8	1/8	พอสitifแนวตั้ง
		1/8	1/8	1/8	1/8	พอสitifแนวอน
		1/8	1/8	1/8*	1/8	เนกาทีฟแนวตั้ง
		1/8	1/8	1/8	1/8	เนกาทีฟแนวอน
90:10	17	1/8	1/8	1/8	1/8	พอสitifแนวตั้ง
		1/8	1/8	1/8	1/8	พอสitifแนวอน
		1/8	1/8*	1/8*	1/8	เนกาทีฟแนวตั้ง
		1/8	1/8	1/8*	1/8	เนกาทีฟแนวอน
90:10	21	1/8	1/8	1/8	1/8	พอสitifแนวตั้ง
		1/8	1/8	1/8	1/8	พอสitifแนวอน
		1/8	1/8*	1/8*	1/8	เนกาทีฟแนวตั้ง
		1/8	1/8	1/8*	1/8	เนกาทีฟแนวอน
75:25	17	1/8	1/8	1/8	1/8	พอสitifแนวตั้ง
		1/8	1/8	1/8	1/8	พอสitifแนวอน
		1/8	1/8*	1/8*	1/8	เนกาทีฟแนวตั้ง

		1/8	1/8	1/8*	1/8	เนกาทีฟแวนออน
75:25	22	1/8	1/8	1/8	1/8	พอลิทีฟแวนดั่ง
		1/8	1/8	1/8	1/8	พอลิทีฟแวนออน
		1/8	1/8	1/8	1/8	เนกาทีฟแวนดั่ง
		1/8	1/8*	1/8*	1/8	เนกาทีฟแวนออน
50:50	17	1/8	1/8	1/8	1/8	พอลิทีฟแวนดั่ง
		1/8	1/8	1/8	1/8	พอลิทีฟแวนออน
		1/8	1/8*	1/8*	1/8	เนกาทีฟแวนดั่ง
		1/8	1/8	1/8*	1/8	เนกาทีฟแวนออน
50:50	22	1/8	1/8	1/8	1/8	พอลิทีฟแวนดั่ง
		1/8	1/8	1/8	1/8	พอลิทีฟแวนออน
		1/8	1/8*	1/8*	1/8	เนกาทีฟแวนดั่ง
		1/8	1/8	1/8*	1/8	เนกาทีฟแวนออน
0:100	17	1/8*	1/8*	1/8*	1/8*	พอลิทีฟแวนดั่ง
		1/8*	1/8*	1/8*	1/8*	พอลิทีฟแวนออน
		1 ¼*	1/4*	1/4*	1/2*	เนกาทีฟแวนดั่ง
		1 ¼*	1/4*	1/4*	1/2*	เนกาทีฟแวนออน
0:100	25	1/8*	1/8*	1/8*	1/8*	พอลิทีฟแวนดั่ง
		1/8*	1/8*	1/8*	1/8*	พอลิทีฟแวนออน
		2*	3/4*	½*	1 ¼*	เนกาทีฟแวนดั่ง
		-	3/4*	½*	1 ¼*	เนกาทีฟแวนออน
0:100	30	1/8*	1/8*	1/8*	1/8*	พอลิทีฟแวนดั่ง
		1/8*	1/8*	1/8*	1/8*	พอลิทีฟแวนออน
		2*	3/4*	½*	1 ¼*	เนกาทีฟแวนดั่ง
		-	3/4*	½*	1 ¼*	เนกาทีฟแวนออน
กระดาษฐาน	-	1/8	1/8*	1/8	1/8*	พอลิทีฟแวนดั่ง
		1/8	1/8	1/8	1/8	พอลิทีฟแวนออน
		1/4*	3/4*	1/2*	1/2*	เนกาทีฟแวนดั่ง
		1/2*	1/2*	1/2*	1/2*	เนกาทีฟแวนออน

* สามารถผลิตเส้นได้แต่ไม่คมชัด



รูปที่ 4.18 ตัวอักษรขนาด 6 พอยท์ ของกระดาษฐานน้ำหนัก 80 แกรม



รูปที่ 4.19 ตัวอักษรขนาด 6 พอยท์ ของกระดาษที่มีสัดส่วนของซิลิกาต่อคินชาวเป็น 100:0 และมีร้อยละของของแข็ง 17

รูปที่ 4.20 ตัวอักษรขนาด 6 พอยท์ ของกระดาษที่มีสัดส่วนของซิลิกาต่อคินชาวเป็น 90:10 และมีร้อยละของของแข็ง 17

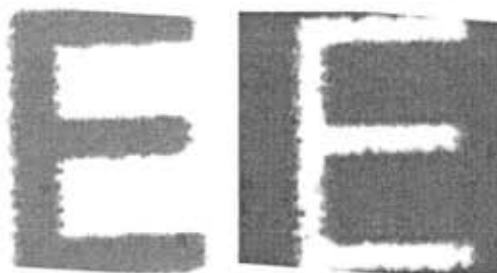


รูปที่ 4.21 ตัวอักษรขนาด 6 พอยท์ ของกระดาษที่มีสัดส่วนของซิลิกาต่อคินชาวเป็น 90:10 และมีร้อยละของของแข็ง 21

รูปที่ 4.22 ตัวอักษรขนาด 6 พอยท์ ของกระดาษที่มีสัดส่วนของซิลิกาต่อคินชาวเป็น 75:25 และมีร้อยละของของแข็ง 17



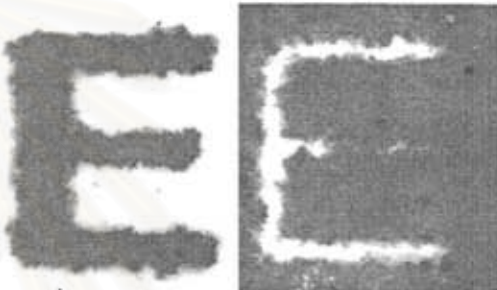
รูปที่ 4.23 ตัวอักษรขนาด 6 พอยท์ ของ
กระดาษที่มีสัดส่วนของซิลิกาต่อดินขาวเป็น
75:25 และมีร้อยละของของแข็ง 22



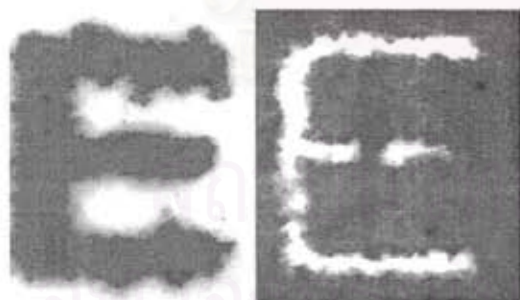
รูปที่ 4.24 ตัวอักษรขนาด 6 พอยท์ ของ
กระดาษที่มีสัดส่วนของซิลิกาต่อดินขาวเป็น
50:50 และมีร้อยละของของแข็ง 17



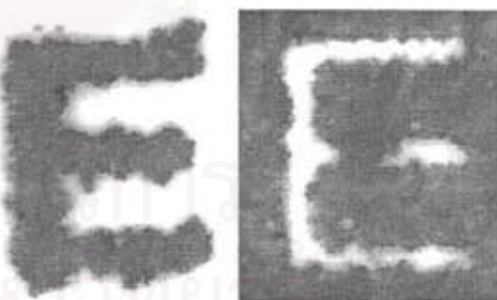
รูปที่ 4.25 ตัวอักษรขนาด 6 พอยท์ ของ
กระดาษที่มีสัดส่วนของซิลิกาต่อดินขาวเป็น
50:50 และมีร้อยละของของแข็ง 22



รูปที่ 4.26 ตัวอักษรขนาด 6 พอยท์ ของ
กระดาษที่มีสัดส่วนของซิลิกาต่อดินขาวเป็น
0:100 และมีร้อยละของของแข็ง 17



รูปที่ 4.27 ตัวอักษรขนาด 6 พอยท์ ของ
กระดาษที่มีสัดส่วนของซิลิกาต่อดินขาวเป็น
0:100 และมีร้อยละของของแข็ง 25

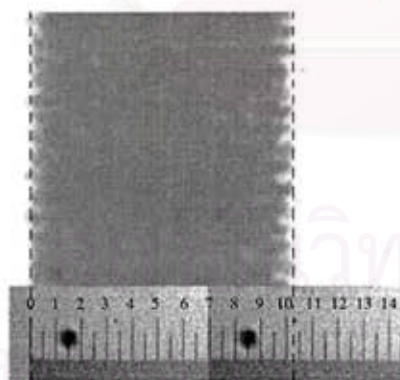


รูปที่ 4.28 ตัวอักษรขนาด 6 พอยท์ ของ
กระดาษที่มีสัดส่วนของซิลิกาต่อดินขาวเป็น
0:100 และมีร้อยละของของแข็ง 30

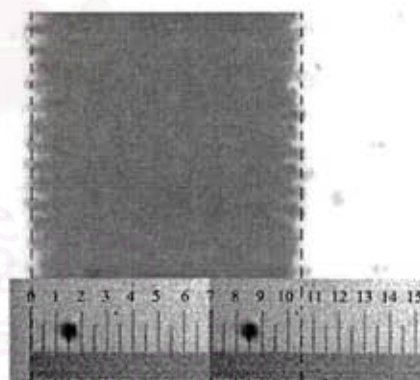
สำหรับการพิจารณาคุณภาพของตัวอักษร ได้พิจารณาคุณภาพตัวอักษรแบบพอ สitif และเนกาทีฟซึ่งมีขนาด 6 8 10 และ 12 พอยท์ โดยดูความคมชัดและขนาดของตัวอักษรที่ผลิต ได้ หลังจากถ่ายภาพตัวอักษรโดยใช้เครื่องถ่ายภาพยี่ห้อ Olympus รุ่น Szh10 กำลังขยาย 4 เท่าจาก รูปที่ 4.19-4.25 พบว่ากระดาษอิงก์เจ็ตที่ผลิตขึ้นจากสูตรสารเคลือบที่มีสัดส่วนของซิลิกาและดิน ขาวเป็น 100:0 90:10 75:25 และ 50:50 สามารถผลิตตัวอักษรขนาดเล็กที่สุด 6 พอยท์ได้ แต่สำหรับ กระดาษอิงก์เจ็ตที่ผลิตขึ้นจากสูตรที่มีสัดส่วนของซิลิกาและดินขาวเป็น 0:100 ผลิตตัวอักษรขนาด เล็กที่สุดไม่ได้ โดยไม่สามารถอ่านได้ด้วยตาเปล่าเนื่องจากเส้นตัวอักษรแบบเนกาทีฟขาดช่วง ส่วน เส้นตัวอักษรแบบพอสitifที่มีลักษณะบวมมาก(รูปที่ 4.26-4.28) สามารถผลิตตัวอักษรขนาด 8 10 และ 12 พอยท์ ได้แต่ไม่คมชัด

4.3.2.5 การซึมเข้าหากันของสีดำและสีเหลือง

บริเวณสำหรับการตรวจสอบการซึมเข้าหากันของสีจะได้รับการถ่ายภาพโดยใช้ เครื่องถ่ายภาพยี่ห้อ Olympus รุ่น Szh10 กำลังขยาย 4X โดยถ่ายบริเวณสีดำที่พิมพ์ข้างพื้นสีเหลือง ความกว้างของเส้นสีดำในต้นฉบับเท่ากับ 1 มิลลิเมตร ซึ่งเมื่อพิมพ์ลงบนกระดาษอิงก์เจ็ต ที่ผลิตขึ้น พบว่า ร้อยละการซึมเข้าหากัน มีค่าต่ำสุดคือเท่ากับ 2 เมื่อมีสัดส่วนของซิลิกาต่อดินขาว เท่ากับ 50:50 ร้อยละของแข็งเท่ากับ 17 (ภาพที่ 4.32)

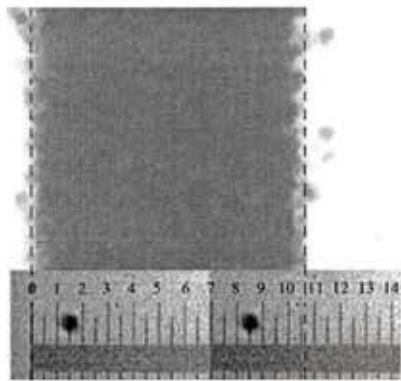


รูปที่ 4.29 ความกว้างของเส้นสีดำ ที่ซึมเข้าไปใน

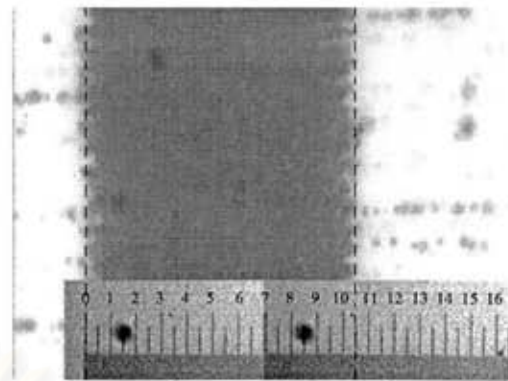


รูปที่ 4.30 ความกว้างของเส้นสีดำ ที่ซึมเข้าไปใน สีเหลือง ของกระดาษที่มีสัดส่วนของซิลิกาต่อดิน สีเหลือง ของกระดาษที่มีสัดส่วนของซิลิกาต่อดิน ขาวเป็น 100:0 ที่ร้อยละของแข็ง 17

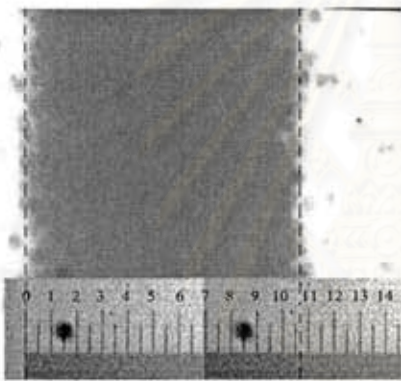
ขาวเป็น 90:10 ที่ร้อยละของแข็ง 17



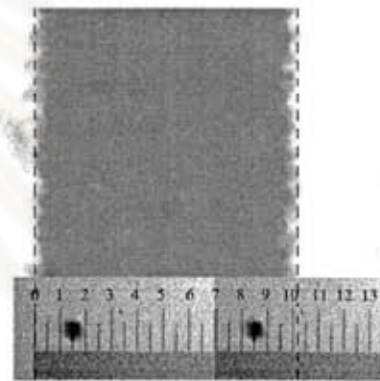
รูปที่ 4.31 ความกว้างของเส้นสีดำ ที่ซึมเข้าไปใน สีเหลือง ของกระดาษที่มีสัดส่วนของซิลิกาต่อดินขาวเป็น 90:0 ที่ร้อยละของแข็ง 21



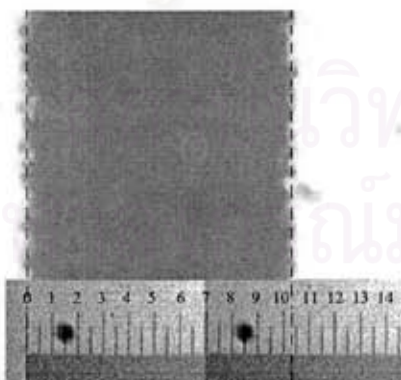
รูปที่ 4.32 ความกว้างของเส้นสีดำ ที่ซึมเข้าไปใน สีเหลือง ของกระดาษที่มีสัดส่วนของซิลิกาต่อดินขาวเป็น 75:25 ที่ร้อยละของแข็ง 17



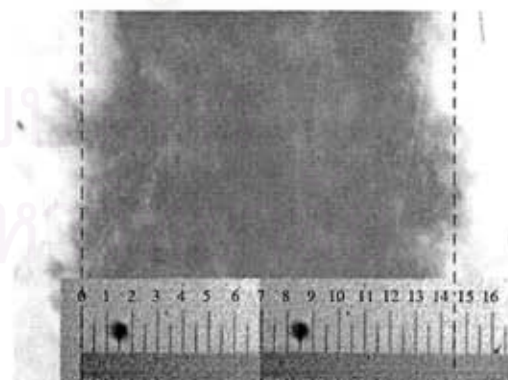
รูปที่ 4.33 ความกว้างของเส้นสีดำ ที่ซึมเข้าไปใน สีเหลือง ของกระดาษที่มีสัดส่วนของซิลิกาต่อดินขาวเป็น 75:25 ที่ร้อยละของแข็ง 22



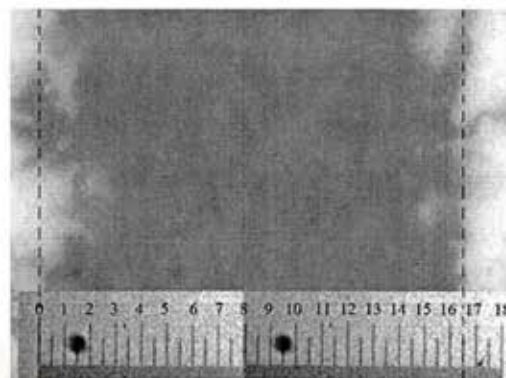
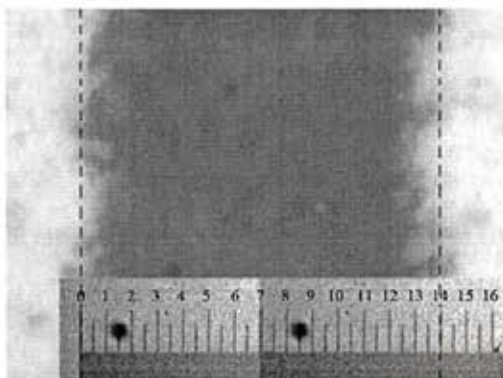
รูปที่ 4.34 ความกว้างของเส้นสีดำ ที่ซึมเข้าไปใน สีเหลือง ของกระดาษที่มีสัดส่วนของซิลิกาต่อดินขาวเป็น 50:50 ที่ร้อยละของแข็ง 17



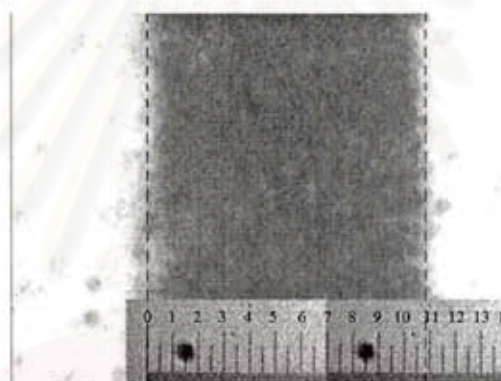
รูปที่ 4.35 ความกว้างของเส้นสีดำ ที่ซึมเข้าไปใน สีเหลือง ของกระดาษที่มีสัดส่วนของซิลิกาต่อดินขาวเป็น 50:50 ที่ร้อยละของแข็ง 22



รูปที่ 4.36 ความกว้างของเส้นสีดำ ที่ซึมเข้าไปใน สีเหลือง ของกระดาษที่มีสัดส่วนของซิลิกาต่อดินขาวเป็น 0:100 ที่ร้อยละของแข็ง 17



รูปที่ 4.37 ความกว้างของเส้นสีดำ ที่ซึมเข้าไปใน รูปที่ 4.38 ความกว้างของเส้นสีดำ ที่ซึมเข้าไปใน
สีเหลือง ของกระดาษที่มีสัดส่วนของซิลิกาต่อดิน สีเหลือง ของกระดาษที่มีสัดส่วนของซิลิกาต่อดิน
ขาวเป็น 0:100 ที่ร้อยละของแข็ง 25 ขาวเป็น 0:100 ที่ร้อยละของแข็ง 30



รูปที่ 4.39 ความกว้างของเส้นสีดำ ที่ซึมเข้าไปในสีเหลืองของ
กระดาษฐานที่มีน้ำหนัก 80 แกรม

สถาบันวิทยบริการ
จุฬาลงกรณ์มหาวิทยาลัย

4.3.3 การวิเคราะห์คุณภาพงานพิมพ์

เมื่อพิจารณาถึงคุณภาพงานพิมพ์ทั้งหมดได้แก่ ค่าความดำของหมึกพิมพ์สี
ดำ คุณภาพของเส้นและตัวอักษร และรอยละการซึมเข้าหากันของหมึกพิมพ์ สามารถอธิบาย
ปรากฏการณ์ที่เกิดขึ้นได้โดยกลไกการดูดซึมหมึกของชั้นสารเคลือบ

สารเคลือบที่ใช้ดินขาวเป็นสารสีชนิดเดียวจะให้คุณภาพงานพิมพ์ที่มีค่า
ความดำสูง และสูงขึ้นเมื่อรอยละของของแข็งสูงขึ้น แต่จะมีคุณภาพของตัวอักษรและเส้นดำและ
รอยละการซึมเข้าหากันของหมึกพิมพ์สูงจนไม่สามารถยอมรับได้ นั่นคือตัวอักษรและเส้นไม่มี
ความคมชัด ไม่สามารถผลิตเส้นขนาดเล็กที่สุดได้ มีการซึมของหมึกพิมพ์สีดำเข้าไปในสีเหลือง
มาก ลักษณะงานพิมพ์ต่าง ๆ ที่เกิดขึ้นนี้ อาจสามารถวิเคราะห์ได้จากการจัดเรียงตัวของอนุภาคดิน
ขาวในชั้นสารเคลือบดังแสดงในรูปที่ 4.40



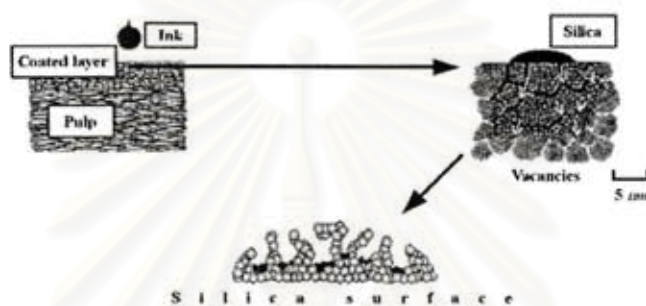
รูปที่ 4.40 การจัดเรียงตัวของอนุภาคดินขาวในชั้นสารเคลือบ (13)

อนุภาคของดินขาวจะมีรูปร่างที่แบนราบทรงแปดเหลี่ยม ตามธรรมชาติแล้ว
อนุภาคของดินขาวจะจัดเรียงตัวขนานไปกับผิวหน้าของกระดาษฐาน รูปรูกระหว่างอนุภาคของดิน
ขาวจะอยู่ภายใต้อนุภาคที่แบนราบที่ซ้อนตัวกันดังแสดงในรูปที่ 4.41 ทำให้ชั้นสารเคลือบไม่
สามารถดูดซึมหมึกพิมพ์ได้ดี หมึกพิมพ์ก็จะกองอยู่ที่ผิวหน้าของชั้นสารเคลือบเกือบทั้งหมด และ
บางส่วนซึมไปตามสารยึดที่หุ้มพื้นผิวของอนุภาคของดินขาว จึงทำให้มีค่าความดำสูง คุณภาพของ
เส้นและตัวอักษรที่ไม่ดีและจากการที่หมึกไม่สามารถซึมลงสู่ผิวหน้าสารเคลือบได้อย่างรวดเร็ว ทำ
ให้หมึกแผ่ออกที่ผิวหน้าของกระดาษ และซึมเข้าหากัน



รูปที่ 4.41 ส่วนตัดขวางของชั้นสารเคลือบดินขาว (13)

สำหรับกระดาษเคลือบผิวที่ผลิตจากสารเคลือบที่มีซิลิกาเป็นสารสีชนิดเดียวจะเห็นว่า ให้คุณภาพงานพิมพ์เป็นที่น่าพอใจคือ มีความคมชัดของเส้นและตัวอักษร สามารถผลิตเส้นและตัวอักษรขนาดเล็กที่สุดได้ มีค่าความดำที่ค่อนข้างสูง เมื่อพิจารณากลไกการดูดซึมหมึกของซิลิกา จากรูปที่ 4.42 จะเห็นว่าชั้นสารเคลือบที่มีซิลิกาเป็นสารสีจะมีโครงข่ายรูพรุนของชั้นสารเคลือบสูง ซึ่งจะมีทั้งรูพรุนภายในอนุภาค และรูพรุนระหว่างอนุภาคของซิลิกา หมึกพิมพ์จะถูกดูดซึมได้อย่างดีและรวดเร็ว ไปตามโครงข่ายรูพรุนทำให้ได้งานพิมพ์ที่มีความคมชัดทั้งของตัวอักษรและเส้น



รูปที่ 4.42 กลไกการดูดซึมหมึกพิมพ์ของซิลิกา (12)

4.4 การออกแบบของผสม (Mixture design)

4.4.1 การผลิตสารเคลือบตามการออกแบบของผสมแบบซิมเพล็กซ์แลททิซ

จากการวิเคราะห์สมบัติและคุณภาพงานพิมพ์ของกระดาษอิงค์เจ็ทที่ผลิตได้พบว่าสูตรของสารเคลือบที่มีสัดส่วนขององค์ประกอบต่างๆคือ ซิลิกา 12.50 กรัม ดินขาว 4.17 กรัม พอลิไวนิลแอลกอฮอล์ 5.33 กรัม ซีเอ็มซี 0.33 กรัม และน้ำ 78.00 กรัม จะให้ค่าความดำของหมึกพิมพ์สีดำบนชั้นสารเคลือบสูงที่สุด สามารถผลิตเส้นขนาดเล็กที่สุด 1/8 พอยท์ได้ชัดเจน และสามารถผลิตตัวอักษรขนาดเล็กที่สุด 6 พอยท์ได้คมชัด สัดส่วนดังกล่าวเป็นเพียงแนวทางเพื่อหาช่วงสัดส่วนของซิลิกา ดินขาวราธิวาส และพอลิไวนิลแอลกอฮอล์ ในการนำไปใช้ในการออกแบบของผสมแบบซิมเพล็กซ์แลททิซ ซึ่งได้เลือกช่วงของปริมาณองค์ประกอบทั้ง 3 เป็นดังตารางที่ 4.5 จากนั้นก็คำนวณน้ำหนักของสัดส่วนตามที่การออกแบบแบบซิมเพล็กซ์แลททิซได้กำหนดดังตารางที่ 4.6

ตารางที่ 4.5 ช่วงน้ำหนักขององค์ประกอบในการออกแบบของผสม

องค์ประกอบ	กรัม
ซิลิกา	7-13
ดินขาวราชีวาส	3-7
พอลิไวเนิลแอลกอฮอล์	4-6
น้ำ	78
ซีเอ็มซี	0.33

ตารางที่ 4.6 สัดส่วนขององค์ประกอบต่างๆของสารเคลือบตามการออกแบบแบบผสมพอลิเอทิลีน

สูตรที่	ซิลิกา (กรัม)	ดินขาว (กรัม)	ทีวีเอ (กรัม)	ซีเอ็มซี (กรัม)	น้ำ (กรัม)	ร้อยละ ของแข็ง	ซิลิกา:ดินขาว	สัดส่วนของ สารยึด สารยึด
1	13	3	4	0.33	78.00	20.67	81.25:18.75	100:25
2	7	7	4	0.33	78.00	19.03	50:50	100:28.57
3	7	3	6	0.33	78.00	17.31	70:30	100:40
4	10	5	4	0.33	78.00	19.86	66.67:33.33	100:26.67
5	10	3	5	0.33	78.00	19.03	76.92: 23.08	100:38.46
6	7	5	5	0.33	78.00	18.18	58.33:41.67	100:41.67
7	9	4.33	4.67	0.33	78.00	19.03	67.50:32.50	100:35.01
8	11	3.67	4.33	0.33	78.00	19.86	74.99:25.01	100:29.54
9	8	5.67	4.33	0.33	78.00	19.03	58.53:41.67	100:31.70
10	8	5.67	5.33	0.33	78.00	19.86	58.53:41.67	100:39.02
*11	13	3	4	0.33	78.00	20.67	81.25:18.75	100:25
*12	7	7	4	0.33	78.00	19.03	50:50	100:28.57
*13	7	3	6	0.33	78.00	17.31	70:30	100:40

* สูตรทำซ้ำเพื่อรวมความผิดพลาดที่อาจเกิดขึ้นจากการทดลองเข้าไปในแบบจำลองด้วย

ตารางที่ 4.7 สมบัติของสารเคลือบที่มีซิลิกาและดินขาวในสัดส่วนต่างๆ

สูตรที่	ความหนืด(cps)	ความเร็วรอบ	%Torque
1	139,000.0	0.2	92.8
2	694.4	40	92.6
3	980.8	20	65.4
4	886.3	20	55.7
5	935.8	20	62.3
6	381.7	40	50.8
7	504.6	40	67.2
8	1,209.0	20	80.7
9	241.4	100	80.5
10	584.1	40	78.1
11	141,000.0	0.2	93.7
12	691.4	40	92.2
13	982.3	20	65.5

หมายเหตุ *วัดด้วยเครื่องวัดความหนืดยี่ห้อ Brookfield Digital Viscometer: รุ่น LVDV-II+ เข็มเบอร์ 31 ที่อุณหภูมิ 26.5 องศาเซลเซียส

ตารางที่ 4.7 แสดงค่าความหนืดของสารเคลือบที่มีสัดส่วนของซิลิกา ดินขาวและพอลิไวนิลแอลกอฮอล์ ในสัดส่วนต่างๆ ตามที่กำหนดในการออกแบบแบบจิมเพล็ก พบว่าสารเคลือบที่มีปริมาณของซิลิกามากที่สุด ให้ค่าความหนืดที่สูงที่สุด และค่าความหนืดจะลดลงตามปริมาณของซิลิกาที่น้อยลงในสูตรอื่นๆ ปริมาณของซิลิกาจึงเป็นปัจจัยสำคัญต่อการเคลือบผิวโดยใช้ชดลวดเคลือบผิว ยิ่งสารเคลือบมีปริมาณของซิลิกาสูง ยิ่งมีผลทำให้เคลือบผิวได้ยากขึ้น

จุฬาลงกรณ์มหาวิทยาลัย

4.4.1.1 การวิเคราะห์คุณภาพงานพิมพ์

1. คุณภาพของเส้นและตัวอักษร

การวิเคราะห์คุณภาพของเส้น นั้นจะพิจารณาจากขนาดของเส้นที่เล็กที่สุดที่สามารถผลิตได้ตาม QEA test target คือ เส้นพอลิทีฟ 1/8 พอยท์ และเส้น เนกาทีฟ 1/8 พอยท์ ซึ่งสามารถแสดงผลหลังการพิมพ์ลงบนกระดาษอิงก์เจ็ตที่ผลิตได้จากสูตรสารเคลือบทั้ง 13 สูตรดังแสดงในตารางที่ 4.8 ตัวเลขที่แสดงในตารางหมายถึงขนาดเส้นที่สามารถผลิตได้ * หมายถึงเส้นที่ผลิตได้ไม่คมชัด

ตารางที่ 4.8 คุณภาพของเส้นขนาดเล็กที่สุดของกระดาษอิงก์เจ็ตที่ผลิตได้

SiO ₂ :Kaolin	สัดส่วนของ สารสีต่อ สารยึด	คุณภาพของเส้นขนาดเล็กที่สุดที่ผลิตได้(พอยท์)				
		C	M	Y	K	ทิศทาง
81.25:18.75 (สูตรที่ 1)	100:25	1/8	1/8	1/8	1/8	พอลิทีฟแนวตั้ง
		1/8	1/8	1/8	1/8	พอลิทีฟแนวนอน
		1/8	1/8	1/8	1/8	เนกาทีฟแนวตั้ง
		1/8	1/8	1/8	1/8	เนกาทีฟแนวนอน
50:50 (สูตรที่ 2)	100:28.57	1/8	1/8	1/8	1/8	พอลิทีฟแนวตั้ง
		1/8	1/8	1/8	1/8	พอลิทีฟแนวนอน
		1/8	1/8	1/8	1/8	เนกาทีฟแนวตั้ง
		1/8	1/8	1/8	1/8	เนกาทีฟแนวนอน
70:30 (สูตรที่ 3)	100:40	1/8	1/8	1/8	1/8*	พอลิทีฟแนวตั้ง
		1/8	1/8	1/8	1/8	พอลิทีฟแนวนอน
		1/8	1/4*	1/8	1/4*	เนกาทีฟแนวตั้ง
		1/8	1/4*	1/8	1/4*	เนกาทีฟแนวนอน
66.67:33.33 (สูตรที่ 4)	100:26.67	1/8	1/8	1/8	1/8	พอลิทีฟแนวตั้ง
		1/8	1/8	1/8	1/8	พอลิทีฟแนวนอน
		1/8	1/8	1/8	1/8	เนกาทีฟแนวตั้ง
		1/8	1/8	1/8	1/8	เนกาทีฟแนวนอน

76.92:23.08 (สูตรที่ 5)	100:38.46	1/8	1/8	1/8	1/8	พอลิทีฟแนวตั้ง
		1/8	1/8	1/8	1/8	พอลิทีฟแนวนอน
		1/8	1/8	1/8	1/8	เนกาทีฟแนวตั้ง
		1/8	1/8	1/8	1/8	เนกาทีฟแนวนอน
58.33:41.67 (สูตรที่ 6)	100:41.67	1/8	1/8	1/8	1/8	พอลิทีฟแนวตั้ง
		1/8	1/8	1/8	1/8	พอลิทีฟแนวนอน
		1/8	1/4*	1/4*	1/4*	เนกาทีฟแนวตั้ง
		1/8	1/8	1/8	1/4*	เนกาทีฟแนวนอน
67.50:32.50 (สูตรที่ 7)	100:35.01	1/8	1/8	1/8	1/8	พอลิทีฟแนวตั้ง
		1/8	1/8	1/8	1/8	พอลิทีฟแนวนอน
		1/8	1/8	1/8	1/8	เนกาทีฟแนวตั้ง
		1/8	1/8	1/8	1/8	เนกาทีฟแนวนอน
74.99:25.01 (สูตรที่ 8)	100:29.54	1/8	1/8	1/8	1/8	พอลิทีฟแนวตั้ง
		1/8	1/8	1/8	1/8	พอลิทีฟแนวนอน
		1/8	1/8	1/8	1/8	เนกาทีฟแนวตั้ง
		1/8	1/8	1/8	1/8	เนกาทีฟแนวนอน
58.53:41.67 (สูตรที่ 9)	100:31.70	1/8	1/8	1/8	1/8	พอลิทีฟแนวตั้ง
		1/8	1/8	1/8	1/8	พอลิทีฟแนวนอน
		1/8	1/8	1/8	1/8	เนกาทีฟแนวตั้ง
		1/8	1/8	1/8	1/8	เนกาทีฟแนวนอน
58.53:41.67 (สูตรที่ 10)	100:39.02	1/8	1/8	1/8	1/8	พอลิทีฟแนวตั้ง
		1/8	1/8	1/8	1/8	พอลิทีฟแนวนอน
		1/8	1/8	1/8	1/4*	เนกาทีฟแนวตั้ง
		1/8	1/8	1/8	1/8	เนกาทีฟแนวนอน
81.25:18.75 (สูตรที่ 11)	100:25	1/8	1/8	1/8	1/8	พอลิทีฟแนวตั้ง
		1/8	1/8	1/8	1/8	พอลิทีฟแนวนอน
		1/8	1/8	1/8	1/8	เนกาทีฟแนวตั้ง
		1/8	1/8	1/8	1/8	เนกาทีฟแนวนอน
50:50 (สูตรที่ 12)	100:28.57	1/8	1/8	1/8	1/8	พอลิทีฟแนวตั้ง
		1/8	1/8	1/8	1/8	พอลิทีฟแนวนอน

		1/8	1/8	1/8	1/8	เนกาทีฟแนวตั้ง
		1/8	1/8	1/8	1/8	เนกาทีฟแนวนอน
70:30 (สูตรที่ 13)	100:40	1/8	1/8	1/8	1/8*	พอลิทีฟแนวตั้ง
		1/8	1/8	1/8	1/8	พอลิทีฟแนวนอน
		1/8	1/4*	1/8	1/4*	เนกาทีฟแนวตั้ง
		1/8	1/4*	1/8	1/4*	เนกาทีฟแนวนอน

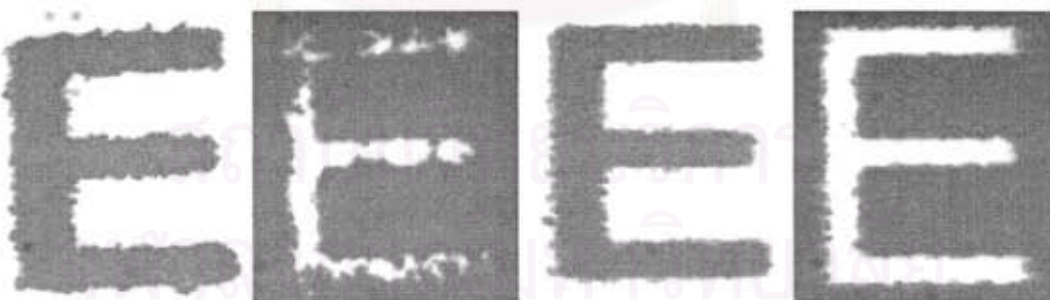
* สามารถผลิตเส้นได้แต่ไม่คมชัด

การวิเคราะห์คุณภาพของตัวอักษร นั้นจะพิจารณาจากขนาดของตัวอักษรที่เล็กที่สุดที่สามารถผลิตได้ตาม QEA test target คือ ตัวอักษรพอลิทีฟ 6 พอยท์ และตัวอักษรเนกาทีฟ 6 พอยท์ ซึ่งสามารถแสดงผลหลังจากการพิมพ์ลงบนกระดาษอิงก์เจ็ตที่ผลิตได้จากสูตรสารเคลือบทั้ง 13 สูตร ได้ดังแสดงในภาพที่ 4.43-4.55



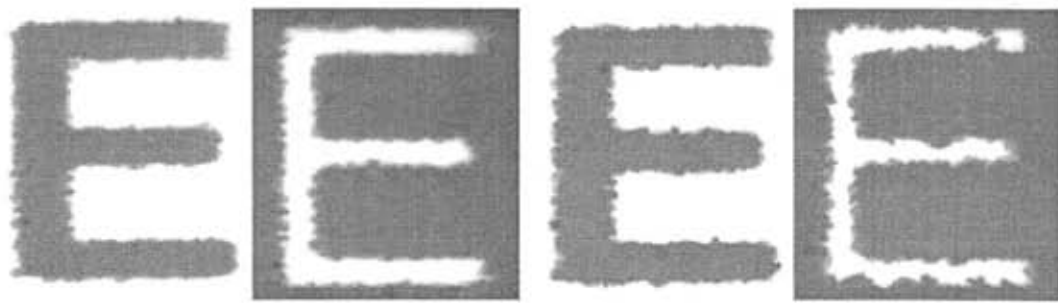
รูปที่ 4.43 ตัวอักษรขนาด 6 พอยท์ ของกระดาษของกระดาษที่ผลิตขึ้นจากสูตรที่ 1

รูปที่ 4.44 ตัวอักษรขนาด 6 พอยท์ ของกระดาษของกระดาษที่ผลิตขึ้นจากสูตรที่ 2



รูปที่ 4.45 ตัวอักษรขนาด 6 พอยท์ ของกระดาษของกระดาษที่ผลิตขึ้นจากสูตรที่ 3

รูปที่ 4.46 ตัวอักษรขนาด 6 พอยท์ ของกระดาษของกระดาษที่ผลิตขึ้นจากสูตรที่ 4



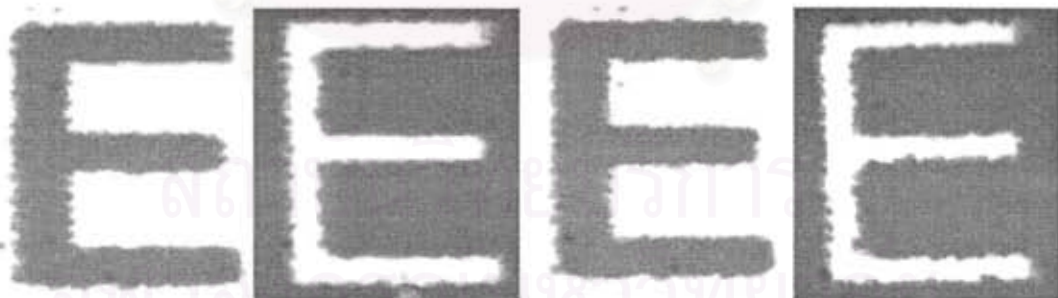
รูปที่ 4.47 ตัวอักษรขนาด 6 พอยท์ ของ
กระดาษของกระดาษที่ผลิตขึ้นจากสูตรที่ 5

รูปที่ 4.48 ตัวอักษรขนาด 6 พอยท์ ของ
กระดาษของกระดาษที่ผลิตขึ้นจากสูตรที่ 6



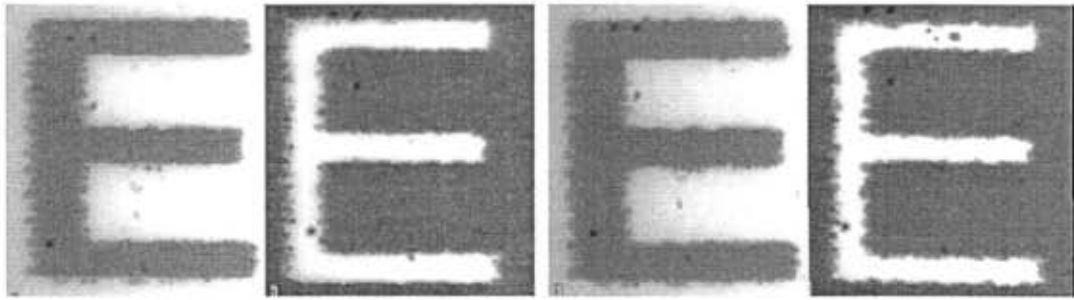
รูปที่ 4.49 ตัวอักษรขนาด 6 พอยท์ ของ
กระดาษของกระดาษที่ผลิตขึ้นจากสูตรที่ 7

รูปที่ 4.50 ตัวอักษรขนาด 6 พอยท์ ของ
กระดาษของกระดาษที่ผลิตขึ้นจากสูตรที่ 8



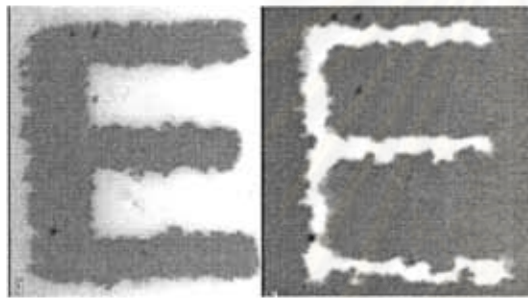
รูปที่ 4.51 ตัวอักษรขนาด 6 พอยท์ ของ
กระดาษของกระดาษที่ผลิตขึ้นจากสูตรที่ 9

รูปที่ 4.52 ตัวอักษรขนาด 6 พอยท์ ของ
กระดาษของกระดาษที่ผลิตขึ้นจากสูตรที่ 10



รูปที่ 4.53 ตัวอักษรขนาด 6 พอยท์ ของ
กระดาษของกระดาษที่ผลิตขึ้นจากสูตรที่ 11

รูปที่ 4.54 ตัวอักษรขนาด 6 พอยท์ ของ
กระดาษของกระดาษที่ผลิตขึ้นจากสูตรที่ 12



รูปที่ 4.55 ตัวอักษรขนาด 6 พอยท์ ของ
กระดาษของกระดาษที่ผลิตขึ้นจากสูตรที่ 13

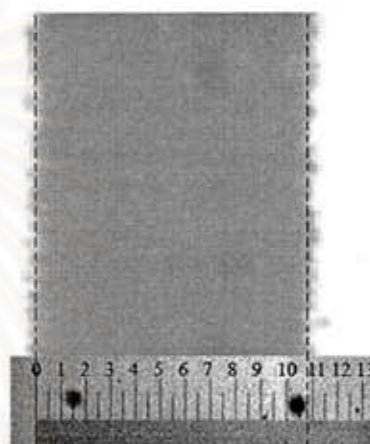
สถาบันวิทยบริการ
จุฬาลงกรณ์มหาวิทยาลัย

2. การซึมเข้าหากันของหมึก

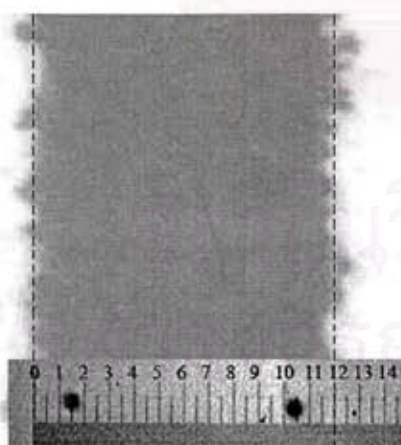
การซึมเข้าหากันของหมึกเกิดขึ้นจากการซึมของหมึกพิมพ์ผ่านรูพรุนในสารเคลือบบนกระดาษไปยังตำแหน่งที่ไม่ต้องการทำให้เกิดการซ้อนทับกันของสีบริเวณรอยต่อของสี 2 สี โดยความสามารถในการซึมของหมึกแต่ละชนิดไม่เท่ากัน หลังจากการพิมพ์ QEA test target ลงบนกระดาษอิงก์เจ็ตที่ผลิตได้จากสูตร สารเคลือบทั้ง 13 สูตร สามารถแสดงผลได้ดังรูป 4.56 - 4.68



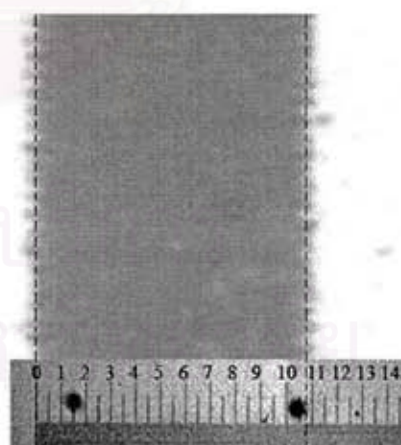
รูปที่ 4.56 ความกว้างของเส้นสีดำ ที่ซึมเข้าไปในสีเหลือง ของกระดาษที่ผลิตขึ้นจากสูตรที่ 1



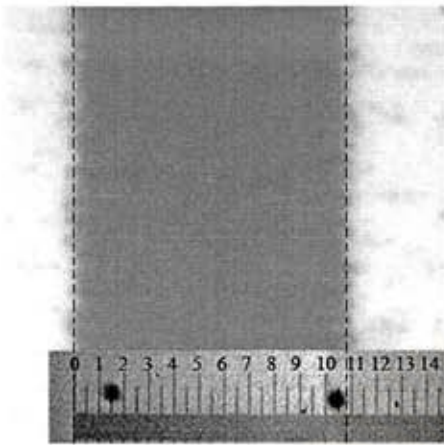
รูปที่ 4.57 ความกว้างของเส้นสีดำ ที่ซึมเข้าไปในสีเหลือง ของกระดาษที่ผลิตขึ้นจากสูตรที่ 2



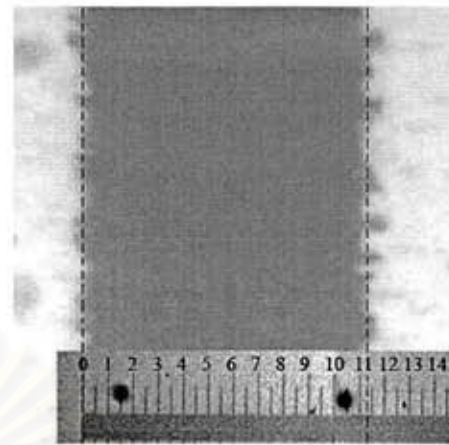
รูปที่ 4.58 ความกว้างของเส้นสีดำ ที่ซึมเข้าไปในสีเหลือง ของกระดาษที่ผลิตขึ้นจากสูตรที่ 3



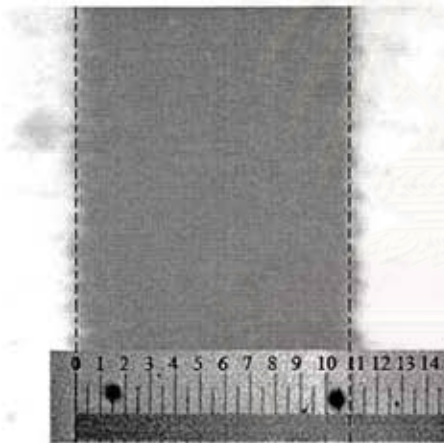
รูปที่ 4.59 ความกว้างของเส้นสีดำ ที่ซึมเข้าไปในสีเหลือง ของกระดาษที่ผลิตขึ้นจากสูตรที่ 4



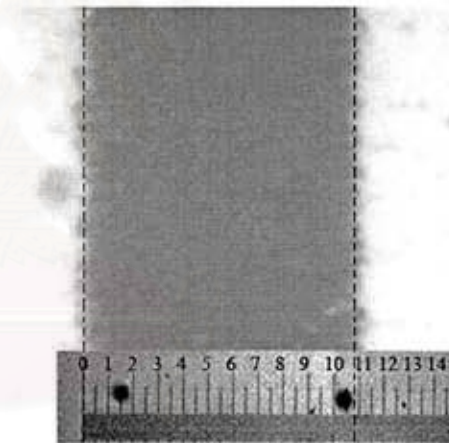
รูปที่ 4.60 ความกว้างของเส้นสีดำ ที่ซึมเข้าไปในสีเหลือง ของกระดาษที่ผลิตขึ้นจากสูตรที่ 5



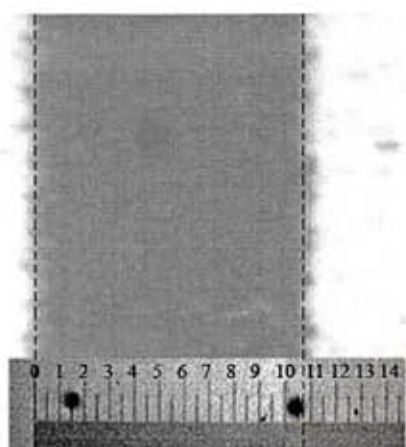
รูปที่ 4.61 ความกว้างของเส้นสีดำ ที่ซึมเข้าไปในสีเหลือง ของกระดาษที่ผลิตขึ้นจากสูตรที่ 6



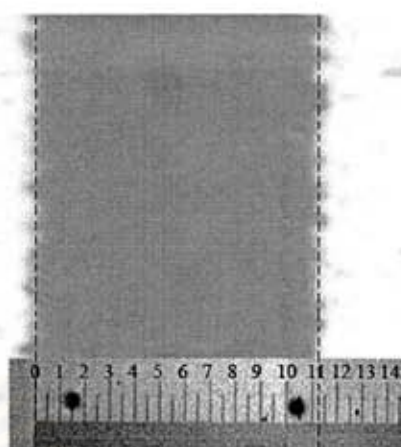
รูปที่ 4.62 ความกว้างของเส้นสีดำ ที่ซึมเข้าไปในสีเหลือง ของกระดาษที่ผลิตขึ้นจากสูตรที่ 7



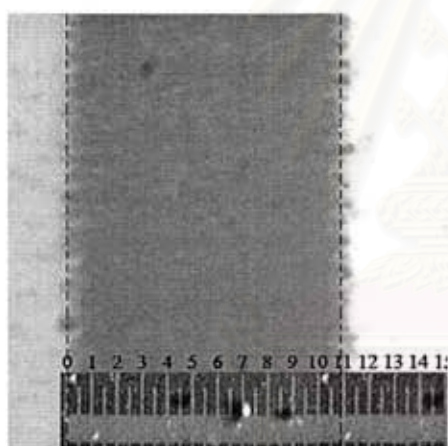
รูปที่ 4.63 ความกว้างของเส้นสีดำ ที่ซึมเข้าไปในสีเหลือง ของกระดาษที่ผลิตขึ้นจากสูตรที่ 8



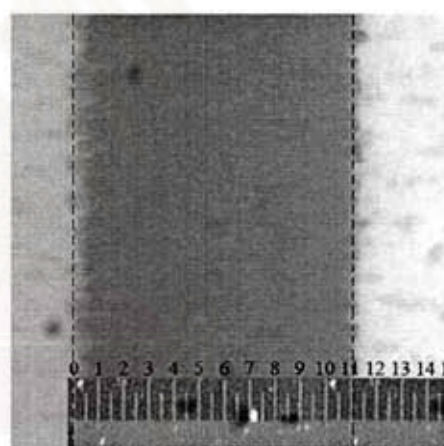
รูปที่ 4.64 ความกว้างของเส้นสีดำ ที่ซึมเข้าไปในสีเหลือง ของกระดาษที่ผลิตขึ้นจากสูตรที่ 9



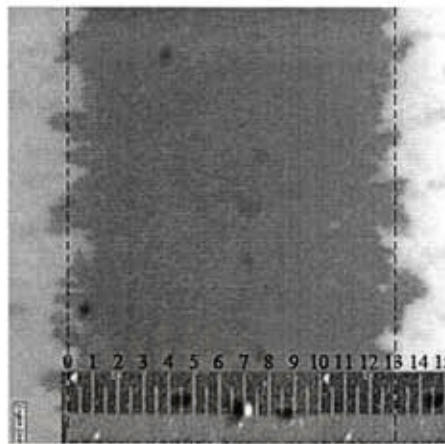
รูปที่ 4.65 ความกว้างของเส้นสีดำ ที่ซึมเข้าไปในสีเหลือง ของกระดาษที่ผลิตขึ้นจากสูตรที่ 10



รูปที่ 4.66 ความกว้างของเส้นสีดำ ที่ซึมเข้าไปในสีเหลือง ของกระดาษที่ผลิตขึ้นจากสูตรที่ 11



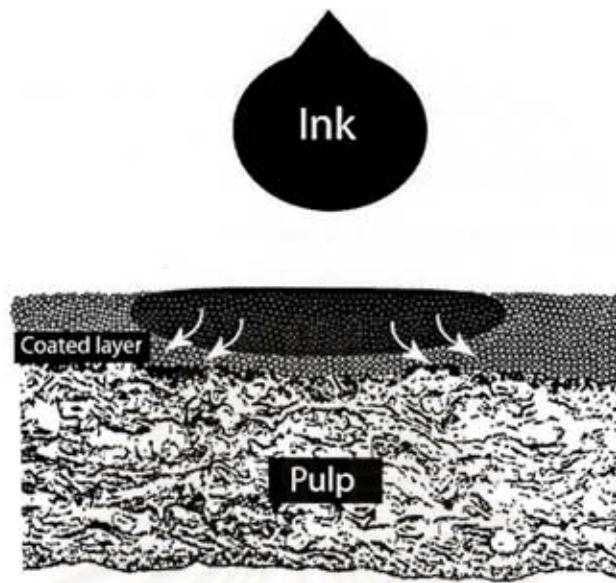
รูปที่ 4.67 ความกว้างของเส้นสีดำ ที่ซึมเข้าไปในสีเหลือง ของกระดาษที่ผลิตขึ้นจากสูตรที่ 12



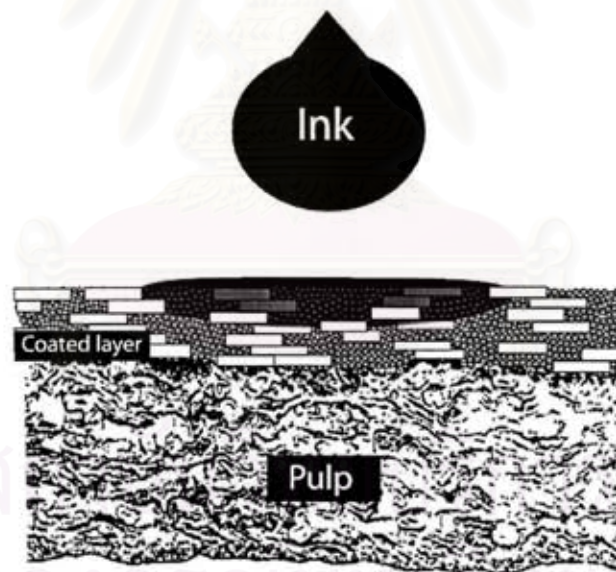
รูปที่ 4.68 ความกว้างของเส้นสีดำ ที่ซึมเข้าไปในสีเหลืองของกระดาษที่
ผลิตขึ้นจากสูตรที่ 13

ผลของคุณภาพของเส้น คุณภาพของตัวอักษร และการซึมเข้าหากันของหมึกจะเห็นว่ามีความโน้มเหมือนกัน คือ ในสูตรที่ 3 6 และ 10 เป็นสูตรของสารเคลือบที่ให้คุณภาพทางงานพิมพ์ที่ต่ำกว่าสูตรอื่นๆคือ ไม่สามารถผลิตเส้นและตัวอักษรขนาดเล็กที่สุดได้ หรือผลิตได้ในบางสีแต่ไม่คมชัด และมีค่าร้อยละของการซึมเข้าหากันของหมึกสูงกว่าสูตรอื่นๆ และเมื่อเปรียบเทียบกันระหว่างสูตรที่ 3 6 และ 10 จะเห็นว่า สูตรที่ 3 จะมีคุณภาพงานพิมพ์ที่ต่ำที่สุด ไม่สามารถผลิตตัวอักษรและเส้นขนาดเล็กที่สุดได้ มีค่าร้อยละของการซึมเข้าหากันของหมึกสูง จากตารางที่ 4.6 จะเห็นว่าสูตรที่ 3 6 และ 10 มีสัดส่วนของสารสีต่อสารยึดสูงกว่าสูตรอื่น ๆคือประมาณ 100:40 แล สูตรที่ 3 มีปริมาณของซิลิกา น้อยกว่าสูตรที่ 6 และ 10

ปรากฏการณ์ที่เกิดขึ้นเหล่านี้อาจเกิดขึ้นเนื่องจาก การที่สารเคลือบมีปริมาณของสารยึดซึ่งคือ พอลิไวนิลอัลกอฮอล์ อยู่ในปริมาณมากเกินไป จะทำให้หมึกพิมพ์จะไหลซึมไปตามพอลิไวนิลอัลกอฮอล์ที่มีอยู่มากตามรูพรุนระหว่างอนุภาคของซิลิกา เนื่องจากหมึกพิมพ์อิงค์เจ็ทซึ่งเป็นหมึกพิมพ์ฐานน้ำที่สามารถเข้ากันได้ดีกับพอลิไวนิลอัลกอฮอล์ ที่มีอยู่ในปริมาณมากในสารเคลือบ และหมึกพิมพ์จะไหลซึมไปยังรูพรุนภายในอนุภาคของซิลิกา ยิ่งมีปริมาณของซิลิกามากการไหลซึมของหมึกพิมพ์ก็จะ เป็นไปได้มากแสดงได้ดังรูปที่ 4.69 แต่การไหลซึมของหมึกพิมพ์จะหยุดลงเมื่อเจอกับอนุภาคของดินขาว ที่มีขนาดแบนใหญ่และไม่มีรูพรุน อนุภาคของดินขาวจะไปดักกั้นหมึกพิมพ์บางส่วนไม่ให้ไหลซึมต่อไปได้ แสดงได้ดังรูปที่ 4.70



รูปที่ 4.69 กลไกการไหลซึมของหมึกพิมพ์ในชั้นสารเคลือบที่มีซิลิกาอยู่มาก



รูปที่ 4.70 กลไกการไหลซึมของหมึกพิมพ์ในชั้นสารเคลือบที่มีซิลิกาและดินขาว

4.4.2 ผลของการออกแบบของผสม

หลังจากที่ได้ผลิตกระดาษอิงค์เจ็ทจากสารเคลือบทั้ง 13 สูตรแล้วนำไปทดสอบสมบัติทางกายภาพของกระดาษอิงค์เจ็ทและทำการพิมพ์และตรวจสอบคุณภาพงานพิมพ์ ซึ่งสมบัติต่าง ๆ และคุณภาพงานพิมพ์ที่นอกเหนือจากคุณภาพของเส้นและตัวอักษรสามารถแสดงได้ดังตารางที่ 4.9 ผลกระทบที่เกิดขึ้นกับสมบัติของกระดาษและคุณภาพงานพิมพ์ จะมาจากปริมาณของซิลิกา ดินขาว และพอลิไวนิลแอลกอฮอล์ที่มีสัดส่วนต่าง ๆ กันในแต่ละสูตร

ตารางที่ 4.9 สมบัติของกระดาษอิงค์เจ็ทที่มีซิลิกา ดินขาวและพอลิไวนิลแอลกอฮอล์ในสัดส่วนต่างๆ

	ความทึบแสง	ความขาวสว่าง	ความขาว	น้ำหนักสารเคลือบ (g/m ²)	ร้อยละการซึมหมึก (%)	ความดำของหมึกพิมพ์			
						C	M	Y	K
สูตรที่ 1	97.75	90.91	106.48	21.3	8	0.899	1.251	0.731	1.397
สูตรที่ 2	97.83	88.97	99.92	18.35	9	0.917	1.277	0.729	1.389
สูตรที่ 3	97.36	93.48	116.11	17.25	20	0.872	1.263	0.763	1.456
สูตรที่ 4	98.10	90.19	101.02	18.65	7	0.946	1.321	0.745	1.509
สูตรที่ 5	97.48	92.12	109.28	17.85	9	0.978	1.329	0.759	1.512
สูตรที่ 6	98.40	91.63	111.19	19.4	13	0.929	1.328	0.764	1.580
สูตรที่ 7	97.38	91.89	109.42	16.1	9	0.959	1.318	0.754	1.524
สูตรที่ 8	97.68	91.40	108.29	19.25	9	0.915	1.280	0.715	1.468
สูตรที่ 9	97.91	90.18	103.96	20.2	6	0.937	1.317	0.743	1.499
สูตรที่ 10	97.78	89.90	102.04	19.0	11.3	0.943	1.309	0.744	1.488
สูตรที่ 11	97.07	92.63	112.43	19.01	9	0.907	1.266	0.721	1.446
สูตรที่ 12	97.63	89.15	101.26	18.04	10	0.910	1.299	0.716	1.437
สูตรที่ 13	96.89	93.95	117.04	19.45	30	0.897	1.233	0.746	1.449

เมื่อนำข้อมูลทั้งหมด ใส่ในโปรแกรม MINITAB โปรแกรมคอมพิวเตอร์ จะทำการวิเคราะห์และคำนวณหาความสัมพันธ์ระหว่างตัวแปรอิสระ ซึ่งคือสัดส่วนของซิลิกา ดินขาวนาธาวิาส และพอลิไวนิลแอลกอฮอล์ และตัวแปรตอบสนองซึ่งคือ ค่าความดำของสีดำ ค่าความ

ทำนายค่าของตัวแปรตอบสนองที่เกิดจากตัวแปรอิสระในสัดส่วนต่างๆ ซึ่งสามารถแสดงในรูปแบบของกราฟ ไตรลิเนียร์ โคออดิเนตได้

4.4.2.1 ความขาวของกระดาษเคลือบผิว

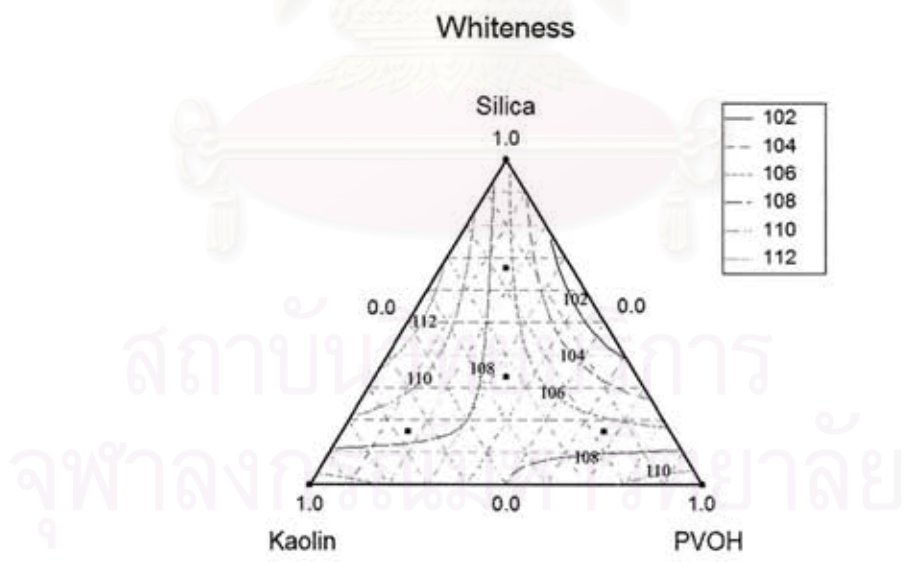
จากการคำนวณข้อมูลของค่าความขาวและสัดส่วนขององค์ประกอบทั้ง 3 ด้วยโปรแกรมคอมพิวเตอร์ MINITAB สามารถสร้างแบบจำลองของค่าความขาวได้คือ

$$\text{ความขาว} = 106.47X_1 + 105.02X_2 + 111.70X_3 + 28.44 X_1X_2 + (-32.84)X_1X_3 + (-1.24)X_2X_3 \quad (4.1)$$

โดยที่ X_1 คือ ซิลิกา X_2 คือ ดินขาว และ X_3 คือ พอลิไวนิลแอลกอฮอล์ ถ้ามีซิลิกา 7 กรัม (คิดเป็นสัดส่วน 0) ดินขาว 5 กรัม (คิดเป็นสัดส่วน 1/2) และพอลิไวนิลแอลกอฮอล์ 5 กรัม (คิดเป็นสัดส่วน 1/2) กระดาษเคลือบผิวที่เคลือบด้วยสูตรนี้จะให้ค่าความขาวดังนี้คือ

$$\begin{aligned} \text{ความขาว} &= 106.47(0) + 105.02(0.5) + 111.70(0.5) + 28.44(0)(0.5) + (-32.84)(0)(0.5) \\ &\quad + (-1.24) (0.5)(0.5) \\ &= 108.05 \end{aligned}$$

จากแบบจำลองของค่าความขาวสามารถแสดงเป็นกราฟ ไตรลิเนียร์ โคออร์ดิเนตได้ดังรูปที่ 4.43



รูปที่ 4.71 กราฟไตรลิเนียร์ โคออดิเนตของค่าความขาว

หากเปรียบเทียบค่าสัมประสิทธิ์ที่ได้จากการคำนวณ กับ ค่าความผิดพลาดมาตรฐาน (Standard error, SE) พบว่าค่าสัมประสิทธิ์ของส่วนผสมในแบบจำลองแบบควอดราติก ($\beta_{12}, \beta_{13}, \beta_{23}$) มีค่าต่ำกว่าค่า SE ของสัมประสิทธิ์มาก บางครั้งผู้ทำการทดลองหาสูตรที่เหมาะสมอาจตัด 3 พจน์นี้ ทิ้งไปเพื่อลดขนาดแบบจำลองลง (14)

ตารางที่ 4.10 ตารางเปรียบเทียบค่าสัมประสิทธิ์ กับ ค่าความผิดพลาดมาตรฐานของค่าความขาว

Term	Coefficient	SE ของสัมประสิทธิ์
X_1	106.47	3.870
X_2	105.02	3.870
X_3	110.70	3.870
X_1X_2	28.44	70.005
X_1X_3	-32.84	70.005
X_2X_3	-1.24	70.005

สถาบันวิทยบริการ
จุฬาลงกรณ์มหาวิทยาลัย

หากเปรียบเทียบค่าสัมประสิทธิ์ที่ได้จากการคำนวณ กับ ค่าความผิดพลาดมาตรฐาน (Standard error, SE) พบว่าค่าสัมประสิทธิ์ของส่วนผสมในแบบจำลองแบบควอดราติกมีค่ามากกว่า $(\beta_1, \beta_2, \beta_3)$ มีค่าใกล้เคียง $(\beta_{12}, \beta_{13}, \beta_{23})$ กับค่า SE ของสัมประสิทธิ์จึงจำเป็นต้องคงทุกพจน์ไว้(14)

ตารางที่ 4.11 ตารางเปรียบเทียบค่าสัมประสิทธิ์ กับ ค่าความผิดพลาดมาตรฐานของค่าความค่า

Term	Coefficient	SE ของสัมประสิทธิ์
X_1	1.4561	0.02469
X_2	1.4424	0.02469
X_3	1.4424	0.02469
X_1X_2	0.4660	0.44664
X_1X_3	-0.2440	0.44664
X_2X_3	0.6540	0.44664

4.4.2.3 ร้อยละของการซึมเข้าหากันของหมึก

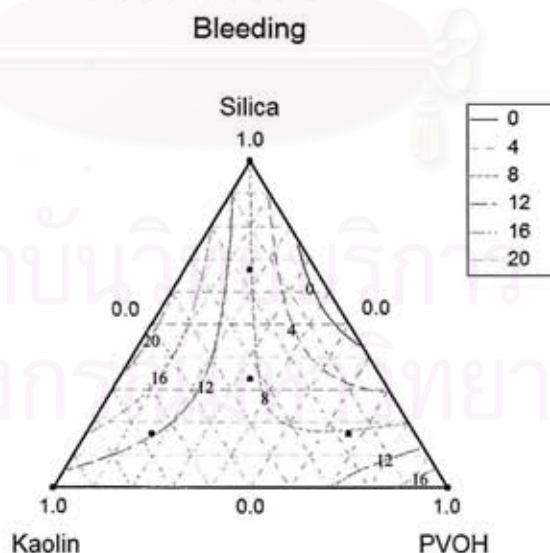
จากการคำนวณข้อมูลของค่าร้อยละของการซึมเข้าหากันของหมึกและสัดส่วนขององค์ประกอบทั้ง 3 ด้วยโปรแกรมคอมพิวเตอร์ MINITAB สามารถสร้างแบบจำลองของค่าความร้อยละการซึมเข้าหากันของหมึกได้คือ

$$\begin{aligned} \text{ร้อยละของการซึมเข้า} &= 8.06 X_1 + 9.83 X_2 + 20.06 X_3 + 48.35 X_1 X_2 + (-61.05) X_1 X_3 \\ \text{หากันของหมึก} &+ (-23.65) X_2 X_3 \end{aligned} \quad (4.3)$$

โดยที่ X_1 คือ ซิลิกา X_2 คือ ดินขาว และ X_3 คือ พอลิไวนิลแอลกอฮอล์ ถ้ามีซิลิกา 13 กรัม (คิดเป็นสัดส่วน 1) ดินขาว 3 กรัม (คิดเป็นสัดส่วน 0) และพอลิไวนิลแอลกอฮอล์ 4 กรัม (คิดเป็นสัดส่วน 0) จะมีค่าร้อยละของการซึมเข้าหากันของหมึกเกิดขึ้นจากสัดส่วนนี้คือ

$$\begin{aligned} \text{ร้อยละของการล้นและ} &= 8.06 (1) + 9.83 (0) + 20.06 (0) + 48.35 (1) (0) + (-61.05)(1)(0) \\ &+ (-23.65) (0)(0) \\ &= 8.06 \end{aligned}$$

จากแบบจำลองของค่าร้อยละของการซึมเข้าหากันของหมึกสามารถแสดงเป็นกราฟไตรลิเนียร์โคออร์ดิเนตได้ดังรูปที่ 4.73



รูปที่ 4.73 กราฟไตรลิเนียร์โคออร์ดิเนตของของการซึมเข้าหากันของหมึก

หากเปรียบเทียบค่าสัมประสิทธิ์ที่ได้จากการคำนวณ กับ ค่าความผิดพลาดมาตรฐาน (Standard error,SE) พบว่าค่าสัมประสิทธิ์ของส่วนผสมในแบบจำลองแบบควอดราติก (β_{13},β_{23}) มีค่าต่ำกว่าค่า SE ของสัมประสิทธิ์มาก บางครั้งผู้ทำการทดลองหาสูตรที่เหมาะสมอาจตัด 2 พจน์นี้ทิ้งไปเพื่อลดขนาดแบบจำลองลง (14)

ตารางที่ 4.12 ตารางเปรียบเทียบค่าสัมประสิทธิ์ กับ ค่าความผิดพลาดมาตรฐานของของการซึมเข้าหากันของหมึก

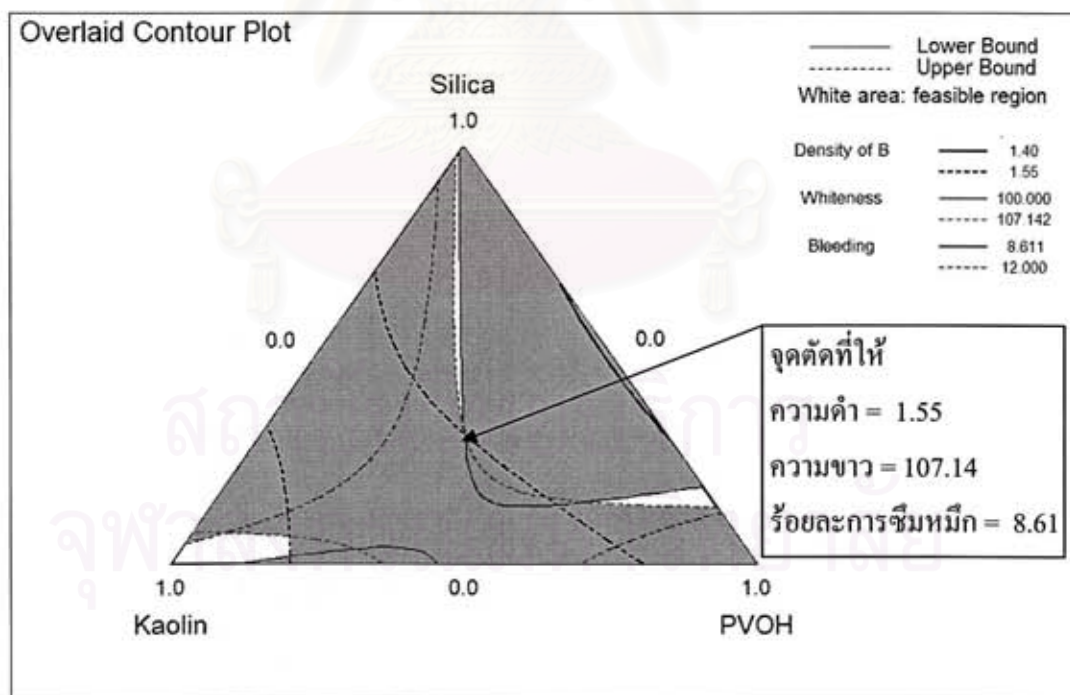
Term	Coefficient	SE ของสัมประสิทธิ์
X_1	8.06	3.186
X_2	9.83	3.186
X_3	20.06	3.186
X_1X_2	48.35	57.630
X_1X_3	-61.05	57.630
X_2X_3	-23.65	57.630

สถาบันวิทยบริการ
จุฬาลงกรณ์มหาวิทยาลัย

4.4.2.4 สูตรของสารเคลือบที่ดีที่สุด

จากแบบจำลองของค่าความขาว ค่าความดำของสีดำ และค่าร้อยละของการซึมของหมึกทั้งหมด 3 แบบจำลอง โปรแกรม MINITABS สามารถคำนวณหาสูตรของสารเคลือบที่ดีที่สุด โดยจะทำการกำหนดค่าความขาว ค่าความดำ และค่าร้อยละของการซึมเข้าหากันของหมึกที่ต้องการ โปรแกรมก็จะคำนวณหาสัดส่วนต่าง ๆ ให้ได้ตามที่กำหนด ซึ่งสูตรที่ดีที่สุด คือ สูตรที่ให้ค่าขาวของผิวหน้ากระดาษสูง ค่าความดำของหมึกพิมพ์สูง และมีค่าร้อยละการซึมของหมึกต่ำ ในเวลาเดียวกัน

สัดส่วนที่ดีที่สุดที่คำนวณได้คือ ซิลิกาจะมีสัดส่วนเท่ากับ 0.3110 ซึ่งคิดเป็นน้ำหนักจริงได้คือ 8.8708 กรัม ดินขาวจะมีสัดส่วนเท่ากับ 0.3435 ซึ่งคิดเป็นน้ำหนักจริงได้คือ 4.3740 กรัม และพอลิไวนิลแอลกอฮอล์จะมีสัดส่วนเท่ากับ 0.3454 ซึ่งคิดเป็นน้ำหนักจริงได้คือ 4.6908 กรัม โดยสัดส่วนต่างๆทั้งหมดนี้จะให้ค่าความดำของสีดำเท่ากับ 1.55 ค่าความขาวของผิวหน้ากระดาษเท่ากับ 107.14 และค่าร้อยละการซึมหมึกเท่ากับ 8.61 ซึ่งสามารถแสดงเป็นกราฟไตรลิเนียร์โคออร์ดิเนตได้ดังรูปที่ 4.74



รูปที่ 4.74 กราฟไตรลิเนียร์โคออร์ดิเนตแสดงจุดตัดของเส้นกราฟของสมบัติต่างๆ สำหรับสูตรสารเคลือบที่ดีที่สุด

4.4.3 การทดสอบแบบจำลอง

จากสัดส่วนที่เหมาะสมที่ได้จากแบบจำลองทางคณิตศาสตร์ซึ่งซิลิกาจะมีน้ำหนัก 8.708 กรัม ดินขาวจะมีน้ำหนัก 4.3740 กรัม และพอลิไวนิลแอลกอฮอล์จะมีน้ำหนัก 4.6908 กรัม จึงได้ทำการผลิตกระดาษเคลือบผิวจากสูตรสารเคลือบที่ดีที่สุดที่ได้คำนวณขึ้นซึ่งให้สมบัติของสารเคลือบตามตารางที่ 4.13 และสมบัติของกระดาษและคุณภาพงานพิมพ์ตามตารางที่ 4.14

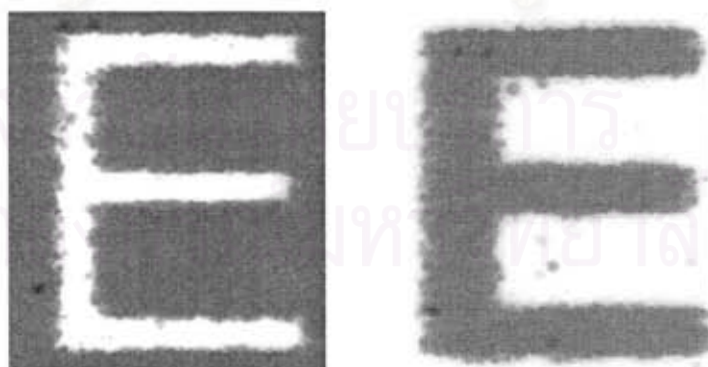
ตารางที่ 4.13 สมบัติของสารเคลือบสำหรับสูตรสารเคลือบที่ดีที่สุด

ความหนืด (cps)	ความเร็วรอบ	%Torque	อุณหภูมิ
1833	1.5	91.5	27.5

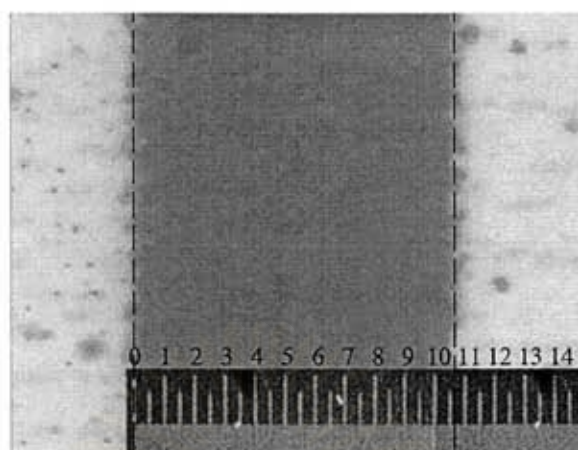
หมายเหตุ *วัดด้วยเครื่องวัดความหนืด Brookfield Digital Viscometer รุ่น LVDV-II+ เข็มเบอร์ 18

ตารางที่ 4.14 เปรียบเทียบค่าที่ได้จากการคำนวณและค่าที่ได้จากการทดลอง

ความขาว		ร้อยละการซึมของหมึก(%)		ความดำของหมึกพิมพ์สีดำ	
จากสมการ	จากการทดลอง	จากสมการ	จากการทดลอง	จากสมการ	จากการทดลอง
107.14	109.99	8.61	6	1.55	1.50



รูปที่ 4.75 ตัวอักษรเนกาทีฟ (ซ้าย) และตัวอักษรพोजิทีฟ (ขวา)
ขนาด 6 พอยท์



รูปที่ 4.86 ความกว้างของเส้นสีดำ ที่ซึมเข้าไปในสีเหลือง



สถาบันวิทยบริการ
จุฬาลงกรณ์มหาวิทยาลัย

บทที่ 5

สรุปผลการวิจัย และข้อเสนอแนะ

5.1 สรุปผลการวิจัย

1. จีลิกาที่ได้จากการสังเคราะห์จากซีเถ้าแกลบ เป็นจีลิกาชนิดอสังฐานมีปริมาตรรูพรุนและพื้นที่ผิวสูง รูปร่างอนุภาคกลม อนุภาคมีขนาดเล็ก และดินขาวนาธาธาธา มีรูปร่างแบนราบ มีพื้นที่ผิวและรูพรุนต่ำ การใช้ดินขาวนาธาธาธาเป็นสารสีร่วมกับจีลิกาที่ได้จากซีเถ้าแกลบในสัดส่วนที่เหมาะสม จะทำให้งานพิมพ์มีคุณภาพเทียบเท่าหรือดีกว่าการใช้จีลิกาเป็นสารสีชนิดเดียว นอกจากนี้การใช้ดินขาวนาธาธาธาเป็นสารสีร่วมกับจีลิกายังทำให้ได้สารเคลือบที่มีค่าความหนืดต่ำ มีร้อยละของของแข็งสูงขึ้น และยังช่วยลดต้นทุนในการผลิต

2. ความสัมพันธ์ระหว่างความดำของหมึกพิมพ์สีดำกับจีลิกาและพอลิไวนิลแอลกอฮอล์สามารถแสดงได้ตามแบบจำลองต่อไปนี้

$$\text{ความดำ} = 1.4561X_1 + 1.4424X_2 + 1.4487X_3 + 0.4660X_1X_2 - 0.2440X_1X_3 + 0.6540X_2X_3$$

ความสัมพันธ์ระหว่างความขาวของกระดาษเคลือบผิวกับจีลิกาและพอลิไวนิลแอลกอฮอล์สามารถแสดงได้ตามแบบจำลองต่อไปนี้

$$\text{ความขาว} = 106.47X_1 + 105.02X_2 + 111.70X_3 + 28.44 X_1X_2 - 32.84X_1X_3 - 1.24X_2X_3$$

ความสัมพันธ์ระหว่างร้อยละการซึมเข้าหากันของหมึกกับจีลิกาและพอลิไวนิลแอลกอฮอล์สามารถแสดงได้ตามแบบจำลองต่อไปนี้

$$\text{ร้อยละของการซึมเข้าหากันของหมึก} = 8.06 X_1 + 9.83 X_2 + 20.06 X_3 + 48.35 X_1X_2 - 61.05 X_1X_3 - 23.65 X_2X_3$$

3. สัดส่วนที่ดีที่สุดที่ให้ค่าความดำของสีดำเท่ากับ 1.55 ความขาวของกระดาษเท่ากับ 107.14 และร้อยละการซึมเข้าหากันของหมึกเท่ากับ 8.16 คือ

จีลิกา	9.22 % โดยน้ำหนัก
ดินขาว	4.54 % โดยน้ำหนัก
พอลิไวนิลแอลกอฮอล์	4.87 % โดยน้ำหนัก

4. แบบจำลองที่ได้จากการออกแบบของผสมแบบชิมเพิล็กแลททิส โดยใช้สมการควอดราติก สามารถใช้ทำนายคุณภาพทางการพิมพ์และสมบัติของกระดาษได้ใกล้เคียงกับคุณภาพทางการพิมพ์และสมบัติของกระดาษที่เกิดจากการทดลอง

5.2 ข้อเสนอแนะ

ในการปรับปรุงสมบัติของสารเคลือบที่มีซิลิกาจากซีเฝ้าแคลบและดินขวานราธิวาสเป็นสารสีร่วมกัน มีพอลิไวนิลอัลกอฮอล์เป็นสารยึดและมีซีเอ็มซีเป็นสารยึดร่วม ควรมีการใส่สารเติมแต่งเพื่อช่วยปรับปรุงสมบัติต่างๆ และการนำดินขวานราธิวาสมาใช้ ควรทำการฟอกสีเพื่อสกัดเอาโลหะออกจากอนุภาค ทำให้ได้อนุภาคที่มีความขาวมากขึ้น เหมาะสมกับการผลิตเป็นสารเคลือบผิวกระดาษพิมพ์อ็องก์เจ็ด

สำหรับงานวิจัยต่อไป ที่มีการใช้การออกแบบส่วนผสมควรมีการแบ่งช่วงระหว่างจุดต่าง ๆ ให้มากขึ้นหรือมีการทำการทดลองซ้ำอย่างน้อยหนึ่งครั้งเพื่อลดความผิดพลาดที่เกิดจากการทดลอง

สถาบันวิทยบริการ
จุฬาลงกรณ์มหาวิทยาลัย

รายการอ้างอิง

1. สุพิน ต่างวิวัฒน์. การผลิตซิลิกาเจลลดความชื้นจากซีเอนาแคลน. รายงานฉบับสมบูรณ์. กรุงเทพมหานคร : สถาบันวิจัยโลหะและวัสดุ จุฬาลงกรณ์มหาวิทยาลัย, 2540.
2. Kirk-Othmer Encyclopedia of Chemical Technology : Amorphous, 3rd ed, New York : John Wiley and Sons, 1982.
3. Casey, J.P., Pulp and paper Chemistry and Chemical Technology, 4. New York Brisbane Toronto Singapore : John Wiley & Sons, 1983.
4. Celanese chemicals. Celvol™ polyvinyl alcohol for ink jet printing paper, 2002.
5. ไสภณ เรืองสำราญ, ปราณีย์ รัตนวลิตโรจน์ และศรีใจล ชุนทน. การสังเคราะห์คาร์บอกซีเมทิลเซลลูโลสจากขานอ้อย. รายงานฉบับสมบูรณ์. กรุงเทพมหานคร : สถาบันวิจัยโลหะและวัสดุ จุฬาลงกรณ์มหาวิทยาลัย, 2541.
6. ศูนย์วิจัยและพัฒนาผลิตภัณฑ์ บริษัทเยื่อสยาม. น้ำยาเคลือบกระดาษอิงก์เจ็ต. บทที่7. เครือปูนซีเมนต์ไทย.
7. Kipphan, H., Handbook of Print Media Technologies and Production Methods. Germany : Springer, 2001.
8. อุทุมพร เวทสุขุม. ผลของอัตราส่วนของซิลิกาต่อคาร์บอกซีเมทิลเซลลูโลสในสารเคลือบผิวกระดาษพิมพ์อิงก์เจ็ตต่อคุณภาพงานพิมพ์. วิทยานิพนธ์ปริญญาโทมหาบัณฑิต วิทยาศาสตร์ทางภาพถ่ายและเทคโนโลยีการพิมพ์ คณะวิทยาศาสตร์ จุฬาลงกรณ์มหาวิทยาลัย, 2547.
9. Chapman, D.M. Coating Structure effects on ink-jet printing quality. Coating Conference 1997 : 73-93.
10. Malla, B.P.and Devisetti, S., Novel Kaolin Pigment for High Solids Ink Jet Coating, PITA Coating Conference 2005 : 1-9.
11. Karathanasis, M. New porous silica pigment in coated paper for ink jet printing[online] Available from:<http://www.stfi.se/document/master/trycklar.htm> [2002,October 17]
12. Nariaki M., Masahiro K. Ink absorption Mechanism of Silica Based Ink Jet Paper Coating, NIP16 2000 : 221-224.
13. Grafton, D.R., The Effect of Clay-Adhesive Interaction on the Structure of Coatings, The Institute of Paper Chemistry 1968 : pp.55-56.
14. Snee, D.R., Developing Blendung Models for Gasoline and Other Mixtures. Technometrics 23, 2 (1981)



ภาคผนวก

สถาบันวิทยบริการ
จุฬาลงกรณ์มหาวิทยาลัย

Regression for Mixtures: Density of Black versus Silica, Kaolin, PVOH

Estimated Regression Coefficients for Density of (component proportions)

Term	Coef	SE Coef	T	P	VIF
Silica	1.4561	0.02469	*	*	1.201
Kaolin	1.4424	0.02469	*	*	1.201
PVOH	1.4487	0.02469	*	*	1.201
Silica*Kaolin	0.4660	0.44664	1.04	0.331	4.114
Silica*PVOH	-0.2440	0.44664	-0.55	0.602	4.114
Kaolin*PVOH	0.6540	0.44664	1.46	0.187	4.114

S = 0.042819 PRESS = 0.082083
 R-Sq = 61.70% R-Sq(pred) = 0.00% R-Sq(adj) = 34.35%

Analysis of Variance for Density of (component proportions)

Source	DF	Seq SS	Adj SS	Adj MS	F	P
Regression	5	0.020679	0.020679	0.004136	2.26	0.159
Linear	2	0.000040	0.000281	0.000140	0.08	0.927
Quadratic	3	0.020639	0.020639	0.006880	3.75	0.068
Residual Error	7	0.012834	0.012834	0.001833		
Lack-of-Fit	1	0.002243	0.002243	0.002243	1.27	0.303
Pure Error	6	0.010591	0.010591	0.001765		
Total	12	0.033513				

Regression for Mixtures: Whiteness versus Silica, Kaolin, PVOH

Estimated Regression Coefficients for Whiteness (component proportions)

Term	Coef	SE Coef	T	P	VIF
Silica	106.47	3.870	*	*	1.201
Kaolin	105.02	3.870	*	*	1.201
PVOH	111.70	3.870	*	*	1.201
Silica*Kaolin	28.44	70.005	0.41	0.697	4.114
Silica*PVOH	-32.84	70.005	-0.47	0.653	4.114
Kaolin*PVOH	-1.24	70.005	-0.02	0.986	4.114

S = 6.7114 PRESS = 2118.4
 R-Sq = 19.62% R-Sq(pred) = 0.00% R-Sq(adj) = 0.00%

Analysis of Variance for Whiteness (component proportions)

Source	DF	Seq SS	Adj SS	Adj MS	F	P
Regression	5	76.94	76.94	15.389	0.34	0.872
Linear	2	64.17	73.94	36.972	0.82	0.478
Quadratic	3	12.77	12.77	4.258	0.09	0.961
Residual Error	7	315.30	315.30	45.043		
Lack-of-Fit	1	59.39	59.39	59.393	1.39	0.283
Pure Error	6	255.91	255.91	42.651		
Total	12	392.24				

Regression for Mixtures: Bleeding versus Silica, Kaolin, PVOH

Estimated Regression Coefficients for Bleeding (component proportions)

Term	Coef	SE Coef	T	P	VIF
Silica	8.06	3.186	*	*	1.201
Kaolin	9.83	3.186	*	*	1.201
PVOH	20.06	3.186	*	*	1.201
Silica*Kaolin	48.35	57.630	0.84	0.429	4.114
Silica*PVOH	-61.05	57.630	-1.06	0.325	4.114
Kaolin*PVOH	-23.65	57.630	-0.41	0.694	4.114

S = 5.5250

PRESS = 578.17

R-Sq = 57.84%

R-Sq(pred) = 0.00%

R-Sq(adj) = 27.72%

Analysis of Variance for Bleeding (component proportions)

Source	DF	Seq SS	Adj SS	Adj MS	F	P
Regression	5	293.112	293.112	58.622	1.92	0.209
Linear	2	222.870	251.842	125.921	4.13	0.066
Quadratic	3	70.242	70.242	23.414	0.77	0.548
Residual Error	7	213.679	213.679	30.526		
Lack-of-Fit	1	4.152	4.152	4.152	0.12	0.742
Pure Error	6	209.527	209.527	34.921		
Total	12	506.791				

สถาบันวิทยบริการ
จุฬาลงกรณ์มหาวิทยาลัย

ประวัติผู้เขียนวิทยานิพนธ์

นายอนันต์ เขมพานิชย์กุล เกิดวันที่ 19 มีนาคม 2524 จังหวัดสตูล สำเร็จการศึกษา
ระดับปริญญาบัณฑิตจากภาควิชาเทคโนโลยีการพิมพ์ คณะครุศาสตร์อุตสาหกรรม มหาวิทยาลัย
เทคโนโลยีพระจอมเกล้าธนบุรี 2544 และเข้าศึกษาในระดับปริญญาโทสาขาเทคโนโลยี
ทางภาพ ภาควิชาวิทยาศาสตร์ทางภาพถ่ายและเทคโนโลยีทางการพิมพ์คณะวิทยาศาสตร์
จุฬาลงกรณ์มหาวิทยาลัย ปีการศึกษา 2546



สถาบันวิทยบริการ
จุฬาลงกรณ์มหาวิทยาลัย